

# **ЭНДОГЕННЫЕ РУДНЫЕ ФОРМАЦИИ ЮГО-ОСЕТИИ И АБХАЗИИ**

**«МЕЦНИЕРЕБА»  
1976**

საქართველოს სსრ მდგრადირიბათა აკადემია  
გეოლოგიური ინსტიტუტი  
შრომები, ახალი სერია, ნავმ. 51

АКАДЕМИЯ НАУК ГРУЗИНСКОЙ ССР  
ГЕОЛОГИЧЕСКИЙ ИНСТИТУТ  
Труды, новая серия, вып. 51

სამხრეთ თურქია და ევროპის ეროვნების  
მარცველი ვორაციები

**ЭНДОГЕННЫЕ РУДНЫЕ ФОРМАЦИИ  
ЮГО-ОСЕТИИ И АБХАЗИИ**

გვ. 1976 გვ. 1976 „მდგრადირიბა“  
010030060  
1976

ИЗДАТЕЛЬСТВО «МДГИРЕБА»  
ТБИЛИСИ  
1976

55(47.922)

Э 644

В работе рассматриваются вопросы геологического строения (стратиграфия, тектоника, магматизм, история геологического развития) Юго-Осетии и Абхазии. Дана характеристика серноколчеданной, медно-пирротиновой, свинцово-цинковой, баритовой, железо-марганцевой и ртутно-мышьяковой рудных формаций. Все они, за исключением серноколчеданной формации, рассматриваются как стадиальные образования единого довольно длительного этапа рудообразования. В пределах территории Юго-Осетии проведено металлогеническое районирование с выделением Эрцойско-Джеджорского и Дзагинско-Чорчанского рудных районов с рудными полями (Квайсинским, Чордским, Эрцойско-Сохтинским, Рапо-Мугутским, Дзагинским, Чорчанским и Карзманско-Теделетским). Составлены металлогенические схемы на геотектонической основе, отображающие закономерности распределения оруденения с выделением прогнозных площадей для ведения дальнейших поисково-разведочных работ.

Редактор Г.М. Заридзе

Э 20803  
М 607 (03)-76

15-76

с Издательство  
"Мецниереба",  
1976

УДК 553.21 (479.225)

В.Р.НАДИРАДЗЕ, Б.А.АЛИБЕГАШВИЛИ,  
Х.А.ТЕДИАШВИЛИ

УСЛОВИЯ ФОРМИРОВАНИЯ И ЗАКОНОМЕРНОСТИ  
РАЗМЕЩЕНИЯ РУДНЫХ МЕСТОРОЖДЕНИЙ ЮГО -  
ОСЕТИИ (ГРУЗИНСКАЯ ССР)

Введение

Территория Юго-Осетии изобилует эндогенными месторождениями и рудопроявлениями, привлекающими внимание исследователей еще с прошлого столетия.

В результате проведенных в советское время довольно обширных геолого-поисковых и разведочных работ выявлен ряд месторождений полиметаллов, барита, талька, которые осваиваются промышленностью.

По геологии Юго-Осетии и встречающихся отдельных месторождений накоплен большой фактический материал. Что же касается работ по условиям формирования и закономерности размещения эндогенных рудных формаций, отвечающих современным требованиям, то их просто нет. Поэтому отдел полезных ископаемых Геологического института АН ГССР в период 1969-1973 гг. по предварительно составленному тематическому плану провел исследования района.

Были изучены все месторождения и рудопроявления, в частности задокументированы наиболее важные горные выработки и скважины; осуществлены исследования околоврудных изменений пород; обработаны каменные и рудные материалы с целью изучения минералогии и стадийности рудообразования.

## ГЕОЛОГИЧЕСКОЕ СТРОЕНИЕ

В геологическом строении Юго-Осетии принимают участие кристаллические породы Дэибульского выступа Грузинской глыбы, обнажающиеся в юго-западной части района, глинисто-песчанистые отложения лейаса и вулканогенные образования средней юры, развитые в бассейнах рр. Джеджоры, Квирилы и Пацы, верхнеюрские песчано-карбонатные отложения, спорадически встречающиеся в районе Квайсинского месторождения, меловые – преимущественно карбонатные отложения, развитые главным образом в Местиа-Тицентской зоне и палеоген-неогеновые образования, занимающие в основном низменные области Юго-Осетии.

### Стратиграфия

#### Лейас

Лейасовые отложения в исследованном районе обнажаются в основном в пределах Гагрско-Джавской зоны и Грузинской глыбы. В первой из них они представлены чередованием черных глинистых сланцев и слюдистых песчаников, среди которых встречаются линзообразные тела темно-серых мелкозернистых известняков. Они обнажаются в сводах Цедисско-Ахсарджинской и Чордско-Сохтинской антиклиналей. По данным П.Д. Гамкрелидзе (1956), О.И. Шириашвили (1965), Ш.А. Адамия (1968) и др. лейасовые образования Гагрско-Джавской зоны, по фауне аммонитов, отнесены к верхнему лейасу. В пределах Грузинской глыбы лейасовые отложения фаунистически не датируются. И.С. Вашакидзе (1955), Г.П. Лобжанидзе (1965), О.И. Шириашвили (1971) и др. условно относят к ним песчано-глинисто-карбонатные образования Окибиско-Хреитской и Дэибульской зон, считая их синхронными с лейасовыми образованиями западной части Дэибульского выступа Грузинской глыбы.

#### Байос

В Гагрско-Джавской зоне байосские отложения, слагающие большую часть Часавальско-Рибисской кордильеры, обнажаются в ущелье р. Джеджора и на склоне хребта Кецеби, в районе кур. Джава, а также в пределах Хреитской зоны. Характеристика байосских отложений приведена в основном по работам А.И. Джанелидзе (1928), Г.С. Дзоценидзе (1948) и И.Р. Каходзе (1947), П.Д. Гамкрелидзе, М.Н. Джапаридзе и др. (1958), П.Д. Гамкрелидзе, В.Р. Надирадзе и др. (1972). По данным этих авторов вы-

деляются снизу вверх 5 горизонтов:

**I горизонт** спилитов или авгит-альбитовых порфиритов непосредственно налегает на лейасовую глинисто-песчанистую свиту. В нижней части этого горизонта встречаются маломощные (2–3 м) прослои и линзы туфобрекций авгит-альбитовых порфиритов, а в верхней части – грубослоистые туфобрекции спилитов с характерной шаровой отдельностью. В них местами наблюдаются маломощные (3–4 м) слои мелкозернистых туфопесчаников. Мощность горизонта 270–350 м.

**II горизонт** роговообманково-плагиоклазовых порфиритов объединяет две подсвиты:

а) подсвиту собственно роговообманково-плагиоклазовых, мандельштейновых порфиритов с характерной шаровой отдельностью; в верхней части содержится несколько пластов туфопесчаников. Мощность 200–250 м.

б) подсвита туфобрекций, содержащую материал нижележащих горизонтов. В подсвите появляются редкие пласти плагиоклазовых порфиритов и пелитовых туфов. Эта подсвита сечется дайками альбитофирами и плагиоклазовых порфиритов. Мощность подсвиты 600–650 м.

Породы второй подсвиты развиты в районе с. Часавали, на северном склоне хребта Дагверула-Сырх-Леберта и в других местах.

**III горизонт** плагиоклазовых порфиритов. Он развит на северном склоне г. Сырх-Леберта, в районе между с. Часавали и участком Скатыком. Здесь мы наблюдаем чередование плагиоклазовых порфиритов с туфобрекциями и пластами туфопесчаников. В туфобрекциях, наряду с обломками плагиоклазовых порфиритов, часто попадаются обломки роговообманково-лабрадоровых порфиритов. Горизонт сечется многочисленными дайками альбитофирами.

**IV горизонт** авгит-андезиновых порфиритов. Этот горизонт залегает стратиграфически выше горизонта плагиоклазовых порфиритов. Выходы авгит-андезиновых порфиритов, чередующихся с соответствующими пирокластолитами, наблюдаются только на участке Верхняя Квайса. Мощность более 200 м.

**V горизонт** авгит-лабрадоровых порфиритов. В этом горизонте лабрадоровые порфириты слагают маломощные пласти (10–15 м) и переслаиваются с туфопесчаниками и доминирующими здесь туфами. В большом количестве встречаются туфогенные кластолиты – туфопесчаники, состоящие из первичного туфового и терригенного материала. Туфогенные песчаники приобретают важное значение в верхней части V горизонта; они характеризуются свежестью и состоят из угловатых обломков плагиоклаза, пироксена, порфиритов и основной массы. Терригенный материал

представлены зернами кварца и других минералов и играет подчиненную роль. Мощность нижней части горизонта, где превалируют авгит-лабрадоровые порфириты, составляет 80–100 м. Мощность верхней части 200 м. Суммарная мощность всей порфиритовой свиты примерно 2800 м.

На Грузинской глыбе байосские отложения аналогичны отложениям Часавальско-Рибисской кордильеры.

### Верхняя юра

По данным Т.А. Пайчадзе (1970), келловейские терригенные отложения, представленные глинистыми песчаниками и песчанистыми глинами, трансгрессивно, часто с заметным угловым несогласием залегают на различных горизонтах порфиритовой свиты байоса, а также на отложениях верхнелейасовой песчано-сланцевой свиты. В низах келловея всюду выделяются конгломераты, большей частью мелкогалечные, мощность их от 1 до 10 м. Мощность всего келловея – от 40 до 80 м. Много растительных остатков и сферических септириевых конкреций, содержащих остатки аммонитов и двустворчатых.

Келловейские отложения (15–20 м) постепенно переходят в карбонатные песчаники и песчанистые известняки, фаунистически датируемые нижним оксфордом. За ними непрерывно следуют слои карбонатных отложений, состоящие в основном из массивных коралловых известняков. По простирации массивные известняки сменяются приифовыми отложениями (до 90 м) – брекчиеидными и песчанистыми известняками, мергелями. На участке г. Диргина – с. Кемульта массивные известняки замещены одновозрастными красноцветными аркозово-граувакковыми гравелитами и песчаниками с линзами коралловых известняков. Возраст и граница этих отложений установлены Н.С. Бендукидзе (1961, 1962, 1964).

Кимериджские отложения согласно сменяют верхнеоксфордские, которые представлены в основном мергелями, мергелистичными тонкослоистыми известняками. Часто встречаются краснобурые и зеленоватые мергели, глины, гравелиты и песчаники. В ряде разрезов северной части района в низах развиты массивные коралловые известняки. Мощность кимериджских отложений достигает 200 м.

Отложения титонского возраста, согласно переходящие в кимериджские слои, имеются лишь в синклинальной складке, называемой Рибисской. Они представлены мергелями, карбонатными песчаниками, тонкослоистыми известняками и толстослоистыми оолитовыми известняками. Мощность до 900 м.

Далее следует свита филишевых отложений верхней юры, в которой И.Д. Чечелашили и др. (1972) выделяют:

1. Подсвиту аргиллитов и песчаников келловей-оксфорда (80–100 м). Песчаники представлены тонкоплойчатыми (0,15–0,20 м) светло-серыми, среднезернистыми малокарбонатными разновидностями плагиоклазово-кварцевого состава, пачками (0,3–0,5 м) темно-серых сланцеватых аргиллитов.

2. Подсвиту темных мергелей и аргиллитов (200–250 м) с прослойями обломочных известняков (кассарская свита лузитана), в которой мергели представлены темно-серыми толстослоистыми (0,7–2 м) сланцеватыми породами, аргиллиты – толстыми (до 2–2,5 м), часто алевритистыми карбонатными пачками, а известняки – рассланцованными песчанистыми, иногда органогенно-обломочными разновидностями.

3. Подсвиту кластических известняков (свита думацхо, кимеридж; 200–220 м), представленная темно-серыми толстослоистыми (0,6–1,5 м) обломочными оолитовыми и песчанистыми разновидностями, изредка чередующимися с сланцеватыми мергелями и аргиллитами.

4. Подсвита толстослоистых темных известняков (нижняя известняковая свита титона; 300–350 м), представленная преимущественно глинистыми разновидностями, часто содержащими конкреции пирита.

### Мел

Меловые отложения в исследованном районе распространены довольно широко. Полный их разрез наблюдается в Часавальско-Рибисской кордильере и начинается валанжинскими образованиями, непосредственно налегающими на верхнеюрские известняки и представленными серыми слоистыми литографическими известняками. Мощность до 25 м. За ними согласно следуют готерив-барремские темно-серые слоистые плотные известняки с кремнистыми конкрециями и изредка с внутриплактовыми брекчиями верхнеюрских известняков. Мощность пачки 20–30 м.

Апт представлен зеленовато-серыми мергелистичными известняками и мергелями, включающими обломки лузитанских массивных известняков (до 10 м).

Пестроцветная свита альб-сеномана (до 10 м) сложена разноцветными сланцеватыми глинистыми мергелями, карбонатными глинами, окремненными пестроцветными известняками и известковыми туфогенными песчаниками.

Свиту согласно продолжают красные и розовые известняки с кремниевыми конкрециями турона. Мощность до 10 м.

**Верхняя часть пестроцветной свиты** представлена чередованием роговато-красных и белых тонко- и среднеслоистых известняков и желтовато-зеленоватых тонко- и среднеслоистых литографических известняков. Общая мощность свиты 60–80 м.

Разрез верхнего мела завершают породы датского яруса, представленные темно-серыми известняками, песчанистыми известняками и мергелями. Мощность 10–30 м.

По данным М.С. Эристави (1952), А.Л. Цагарели (1954), Г.Д. Чечелашвили, Э.В. Варсимишвили и др. (1972), нижнемеловые отложения состоят из карбонатной, переходной и терригенной свит, в которых выделяются несколько подсвит.

**Карбонатная свита.** Подсвита черных мергелей представлена почти черными толстыми (0,5–0,7 м) сланцеватыми пачками, среди чередующимися с толстослоистыми (0,4–0,5 м) глинистыми и песчанистыми известняками. Мощность 250–300 м. Подсвита серых известняков и мергелей (верхнеизвестняковая свита – верхний валанжин), состоящая в основном из среднеслоистых (0,3–0,4 м) серых глинистых и песчанистых известняков и толстых (0,7–1,0 м), реже тонких (0,15–0,20 м) пачек рассланцованных мергелей с редкими прослойями карбонатных песчаников и аргиллитов. Мощность 100–200 м.

**Переходная свита** (готерив) представлена чередованием карбонатных песчаников и аргиллитов с прослойями известняков и мергелей. Мощность 100–200 м.

**Терригенная свита.** Подсвита аргиллитов и плагиоклазово-варцевых песчаников, где аргиллиты представлены в виде сланцеватых темно-серых карбонатных или слабо карбонатных толстых (0,8–3,0 м) пачек, а песчаники тонкослоистыми серыми (0,05–0,2 м) плагиоклазово-варцевыми, часто карбонатными, редко слюдистыми разновидностями. Мощность 180–250 м. Подсвита толстослоистых аркозово-варцевых песчаников с редкими прослойями аргиллитов; песчаники представлены темно-серыми толстослоистыми (1,8–2 м) аркозово-варцевыми разновидностями, а аргиллиты – темно-серыми тонкими (0,01–0,1 м) пачками. Мощность 100–120 м. Подсвита аргиллитов и тонкослоистых аркозово-варцевых песчаников, где аргиллиты представлены черными сланцеватыми толстыми (до 3 м) пачками, а песчаники темно-серые – тонкослоистыми, в основном аркозово-варцевыми разновидностями. Мощность 120–150 м. Подсвита аргиллитов и слюдистых плагиоклазово-варцевых карбонатных песчаников; аргиллиты представлены темно-серыми, зеленоватыми или пестроцветными чистыми (до 7 м) пачками, а песчаники – серыми тонкослоистыми (0,1–0,2 м) слюдистыми плагиоклазово-варцевыми карбонатными разновидностями. В верхних горизонтах подсвиты встре-

чаются тонкие прослои карбонатных пород – песчанистых известняков и мергелей, а также вулканогены – туфы, андезин-рого-обманковых порфиритов. Мощность 400–450 м. Возраст этой подсвиты по стратиграфическому положению и микрофауне определяется как апт-альбский. В верхах альба почти повсеместно наблюдаются вулканогены, достигающие иногда мощности 100 м.

В верхнемеловых отложениях флиша выделены следующие свиты и горизонты:

Горизонт полимиктовых песчаников (свита укугмарти – сеноман), представленный в основном кластолитами (песчаниками и гравелитами в чередовании с алевролитами, гравелитами, мелкообломочными брекчиями, брекчия-конгломератами, иногда с прослойями вулканогенов).

Ананурский горизонт (верхний сеноман-турон), представленный в основном чередованием более или менее окремненных и карбонатизированных аргиллитов и алевролитов, образующих полосчатую толщу (мощность горизонта 1,5–60 м).

Горизонт красных известняков (свита маргалитис-клед-турон) представлен красными исключительно тонкозернистыми фораминиферовыми, аподетритовыми, иногда глинистыми и песчанистыми известняками, песчаниками, гравелитами, редко вулканогенами (мощность от 3 до 30 м).

Горизонт светлых известняков (свита эшмакис-хеви – коньик-сантон) представлен тонкозернистыми органогенными биморфно-детритусовыми, шламовыми известняками (мощность от 30 до 180 м).

Свита джорчи (кампан) представлена в основном песчанистыми, глинистыми, кластическими и в меньшем количестве органогенными известняками и чередующимися с ними тонкими прослойями пелитолитов и мергелей (мощностью до 25 м).

Орбитоидная свита (маастрихт) представлена гравелитами, брекчия-конгломератами, а местами глыбовыми брекчиями с прослойями песчанистых, кластических и органогенных известняков (мощность 40 м).

### Эоцен

По данным Ф.Д. Майсадзе (1970), эоценовые отложения района представлены двумя свитами: нормально-осадочными (10–180 м) и глыбовыми брекчиями (50–250 м).

Первая развита в основном в центральной части района – в окрестностях с. Цедиси, Цхмери, Фасраго, Кемульта и в гребневой части хребта Валь-хех, где она с конгломератами в основании перекрывает верхнемеловые и более древние отложения.

Свита представлена главным образом песчаниками и известняками. В ее составе преобладают (около 80–70%) хорошо сцементированные средне- и крупноперистые, слоистые, иногда рассланцованные песчаники со значительным содержанием карбонатного материала, выступающего в роли цемента. Известняки играют подчиненную роль и представлены песчанистыми и пелитоморфными разновидностями, с преобладанием первых.

Свита глыбовых брекчий в исследованном районе, как правило, развита севернее нормально-осадочных образований вдоль надвига флишевых отложений. Большая ее часть переотложенная, остальная часть вулканогенно-осадочного происхождения.

В глыбовых брекчиях встречаются разной величины обломки и глыбы верхнеюрских рифовых известняков, вулканогенных пород байоса, меловых известняков, флишевых отложений и средненеоценовых нормально-осадочных пород (мергелей, глинистых сланцев), развитых в северной части распространения среднего эоцена, перекрытой ныне надвинутым на нее флишем.

Переотложенная часть глыбовых брекчий в основном сложена верхнеюрскими рифовыми известняками и породами байосской порfirитовой свиты. Глыбы известняков обычно больших размеров, иногда достигают нескольких тысяч кубических метров. Переотложенный материал меловых известняков и флишевых образований играет подчиненную роль. В сравнительно большом количестве они встречаются в западной части района (по р. Гомрула), обладая при этом довольно большими размерами (до 15 м в длину). Среди глыбовых брекчий местами присутствуют отдельные прослои мергелей и глинистых сланцев.

Около села Верхняя Кемульта обнажаются флишоидные отложения мощностью до 10–12 м, представленные олигомиктовыми песчаниками и мергелями. Песчаники в основном карбонатные и более уплотненные диагенезированные, чем песчаники ранее описанной нормально-осадочной свиты. Мергели сильно рассланцованны. К западу и востоку от флишоидных отложений обнажаются глыбовые брекчии, обнаруживающие разную степень окатанности.

Вулканогены в глыбовых брекчиях представлены вулканитами (эффузивами) и их кластолитами, с резким преобладанием вторых. Они обычно развиты вдоль линии надвига флишевых отложений.

Вулканокластолиты представлены агломератовыми туфами и туффитами, а эфузивы – авгит-лабрадоровыми и авгит-биотитовыми порфиритами и оливиновыми базальтами. Эфузивы обнаружены лишь в двух местах около с. Замтарети и в ущелье правого притока р. Джеджора, близ с. Лесора. В первом случае обнаруживаются лавовые брекчии авгит-лабрадоровых и авгит-биотитовых порфиритов. Здесь в лавах в виде включений присутствуют

обломки верхнеюрских рифовых известников. В другом случае наблюдается покров оливинового базальта (5–8 м), постепенно переходящий кверху в лавовую брекцию.

## Олигоцен

Олигоценовые и более молодые отложения наблюдаются лишь на Грузинской глыбе. Здесь развиты все характерные для района осадки. Самые молодые желтовато-серые, толстослоистые песчаники, мергели и ярозитовые глины майкопской свиты (олигоцен–нижний миоцен). Они хорошо фиксируются в районах с. Мугути, Раро и Котанго. Мощность 10 м.

Тарханский горизонт (до 35 м) представлен карбонатными песчаниками, карбонатными и песчанистыми глинами.

Чокракский горизонт (до 100 м) сложен песчаниками, темно-серыми глинами и конгломератами с преобладанием известково-песчанистых глин.

Караганский горизонт (до 50 м) представлен карбонатными песчаниками, мелкозернистыми песчаниками, глинистыми песчаниками и песчанистыми глинами.

Конкский горизонт сложен глинистыми песчаниками, мергелистыми глинами и мелкогалечными конгломератами, а также известковыми песчаниками с прослоями мергелей и известняков.

Сарматские отложения, согласно продолжающие конкские, представлены песчано-глинистыми отложениями, иногда мергелями (нижний сармат; мощность до 1,5 м), тонкослоистыми песчаниками, песчанистыми глинами и микроконгломератами (средний сармат; мощность до 200–220 м), конгломератами с прослоями и линзами грубозернистых песчаников, голубоватыми песчанистыми глинами мощностью до 50–60 м (нацхорская свита – верхний сармат).

Верхнесарматские отложения (до 700 м) постепенно переходят в душетскую свиту (плиоцен), сложенную разнообразно отсортированными конгломератами с прослоями различно окаменелых глин и грубозернистых песчаников.

## Магматические образования

Интузивные и жильные породы района могут быть объединены в две группы: одну – представленную гранитоидами, гипабиссальными гранодиоритами (жильные кварцевые и бескварцевые плагиофиры) и другую – спилитовыми и жильными диабазовыми порфиритами и диабазами.

Небольшое штокобразное тело гранодиоритов было описа-

по сотрудниками КИМСа Т.Н. Гиашвили, Г.Р. Чхартишвили, В.В. Надирашвили, А.М. Хабибовым в 1984 году у северного подножья г. Хихата. Залогия в порфиритах свиты байоса оно вытянуто вдоль Хихатинского разлома в субширотном направлении, на 1,2 км при ширине 0,4–0,6 км. Определение аргонового возраста аплита из гранодиорита г. Хихата (Рубинштейн и др., 1971) дало цифру  $48 \pm 3$  млн. лет.

Кварцевые и бескварцевые альбитофирсы в районе пользуются сравнительно широким развитием. Они образуют жилы (дайки) мощностью от долей метров до 30–40 метров, приуроченные в большинстве случаев к разрывным нарушениям субширотного, реже меридионального простирания (Скатыком-Варажкомский, Хихатский и др. разломы). Максимальное количество их наблюдается в узлах осложнения продольных складок поперечными (район месторождения Скатыком) или разрывными нарушениями (район месторождения Хардисар).

Кварцевые альбитофирсы описаны А.А. Флоренским и Г.П. Барсановым (1936) из бассейна р. Лопанисцкали, выше с. Гвиргвили, образующие ряд даек в порfirитовой серии.

На геологическом разрезе Цона-Сырх-Леберта (рис. 1), заимствованном у Г.С. Дзоценидзе (1948), кругопадающая дайка альбитофиров сечет изоклинально сжатые складки, поставленные на голову.

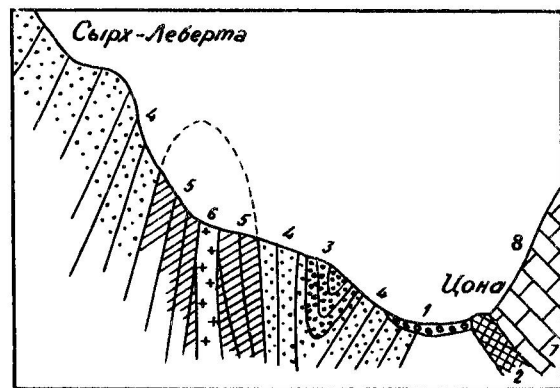


Рис. 1. Геологический разрез Цона-Сырх-Леберта (по Г.С. Дзоценидзе).

1 – алевиолит, 2 – роговообманковые порфирииты, 3 – туфобрекции авгито-лабрадоровых порфириитов, 4 – свита плагиоклиновых порфириитов, 5 – спилитовые лавовые брекции, 6 – дайка альбитофира, 7 – глины келловейя, 8 – известники лукитина.

В районе месторождения Хардисар зафиксированы два сравнительно крупных штокобразных тела альбитофира, секущих порфиритовую свиту байоса. Они приурочены к месту сопряжения Жирдана-хоя Эрцойской антиклинали с Виль-хойской и Ири-Варажкомской синклиналями. Оба тела имеют изометрические формы и вытянуты в субширотном направлении на 1,0–1,5 км, при ширине 0,6–0,8 км. Границы их неровные, извилистые, со значительным количеством апофиз в виде мелких, протяженностью до 10 м круто падающих жил, секущих эфузивную свиту.

Две маломощные (3–5 м) дайки альбитофира встречены по р. Натенура, в 2 км на юго-запад от Квайсинского месторождения и у с. Цона. Породы макроскопически плотные, светло-серые, иногда с фиолетовым или розоватым оттенком, с фенокристаллами плагиоклаза альбит-олигоклазового ряда. Структура порфиритовая, основная масса андезитовая, содержащая мелкие зерна кварца, реже листочки хлорита, кристаллы альбита. В целом порода свежая, иногда проявляется кальцитизация.

Виль-хойское тело кварцевого альбитофира Г.С. Дзоценидзе рассматривает как покров. В настоящее время установлено, что оно является секущим. Порода светло-серая с вкраплениками кварца и альбита. В шлифе аморфный базис не наблюдается, структура микрограммитовая.

По Г.С. Дзоценидзе, кварцпорфиры и альбитофирсы, образующие дайки в среднеюрских порфириатах, по химическому составу подобны кварцпорфирам из нижнелейасовых образований. Он их относит к дакитам, липарито-дакитам и трахидацитам с вторичной альбитизацией плагиоклаза и считает их жильной фацией батских гранитоидов. Однако приуроченность даек и штокобразных тел других пород к региональным разрывным нарушениям, секущим под острым углом складчатые структуры батского возраста, позволяет нам согласиться с мнением Г.А. Твалчрелидзе о их принадлежности к постскладчатым образованиям киммерийского цикла, охватывающего верхнюю юру и нижний мел.

Диабазы флишевых толщ Главного хребта Большого Кавказа по химико-минералогическому составу вполне аналогичны диабазам вулканогенной толщи, а от соответствующих порфириотов отличаются лишь структурно. Среди диабазов отчетливо выделяются два основных типа: альбитовый (спилитовый) и лабрадоровый, представляющие силловую фацию среднеюрских эфузивов; спилитовые диабазы соответствуют спилитовым порфириятам и вместе с ними являются ранними образованиями, а лабрадоровые диабазы

и лабрадоровые порфириты – более поздними. Часто наблюдаемая уралитизация лабрадоровых (и иногда спилитовых) диабазов связана с их дайковой формой залегания и, по-видимому, вызвана влиянием постмагматических растворов, связанных с молодыми инт-

ручинами. Диабазы и диабазовые порфиры в вулканогенной свите играют резко подчиненную роль, и встречаются в виде силлов или сокущих тел.



### Тектоника

Тектоника исследованного района сложная. Она нами описывается по данным П.Д. Гамкрелидзе (1972), О.И. Шириашвили (1970), И.С. Варакидзе (1970).

Район исследования охватывает складчатую систему Южного склона Большого Кавказа и Грузинскую глыбу; между ними выделяется Рачинско-Осетинская шовная зона — сильно сжатая синклиналь, сложенная молассами неогена (рис. 2).

В пределах изученной территории складчатая система Южного склона представлена Центральной частью Месхетско-Тианетской флишевой зоны и восточной частью Гагрско-Джавской зоны (Часавальско-Рибисская кордильера). Первая из них включает в себя Шовско-Пасанаурскую и Жинвальско-Гомборскую подзоны.

Шовско-Пасанаурская подзона подразделяется на Рокскую, Пасанаурсскую и Уцерско-Павлеурскую тектонические чешуи. Они

Рис. 2. Тектоническая карта Юго-Осетии.

А. Складчатая система Южного склона Большого Кавказа (1, 2, 3): 1-2 — Месхетско-Тианетская флишевая зона, 1 — Шовско-Пасанаурская подзона: а) Рокская чешуя, в) Пасанаурская чешуя, с) Уцерско-Павлеурская чешуя; 2 — Жинвальско-Гомборская подзона: а) Садзегурско-Шавшетильская чешуя, в) Жинвальско-Пховельская чешуя, с) Циркольско-Русянская чешуя; 3 — Гагрско-Джавская зона — Часавальско-Рибисская кордильера. Б. Грузинская глыба (4, 5, 6): 4 — Окрибско-Хреитская зона (восточная часть), 5 — Зона Дзирульского поднятия (восточная часть), 6 — Мухранско-Тифлонская подзона Восточной молассовой зоны: а) Сурамско-Джавская моноклиналь, в) прогиб Тифлонской долины, с) Северо-Карталинский дислокационный борт; 7 — Рачинско-Осетинская шовная зона, 8 — антиклинали линейных складок, 9 — линии чешуй, 10 — линии надвигов, 11 — взбросы и сбросы, 12 — покровы молодых метasedиментовых пород.

Сложены породами карбонатного и терригенного флиша верхней юры—нижнего мела. Чешуи отделяются друг от друга надвигами, отличающимися интенсивной микроскладчатостью, брекчированием, повышенной трещиноватостью, будиажем (рис. 3). В пределах каждой чешуи И.С. Вашакидзе (1970) выделяет несколько крупных антиклиналей и синклиналей, которые погружаются в юго-восточном направлении.

Жинвальско-Гомборскую подзону П.Д. Гамкрелидзе разделяет на Садзегурско-Шавхветильский и Жинвальско-Пховельский параавтахтоны и Циркльско-Русианский шаръяж. Первый надвинут на второй с амплитудой перемещения 10–12 км. Он сложен флишевыми отложениями мела и палеогена. Породы интенсивно смяты и опрокинуты на юг. В строении Жинвальско-Пховельского параавтахтона принимают участие отложения нижнего и верхнего мела и верхнего эоцена; горизонтальная амплитуда надвига 10–12 км. Садзегурско-Шавхветильская чешуя сложена лейасовыми глинистыми сланцами и вулканогенными образованиями, верхнеюрскими коралловыми известняками, нижнемеловыми карбонатными образованиями, верхне-эоценовыми глинисто-песчанистыми отложениями и миоплиоценовыми образованиями. Амплитуда перекрытия 12–15 км.

Вся Жинвальско-Гомборская подзона перекрывается Уцерско-Павлеурским шаръяжем регионального распространения с горизонтальной амплитудой около 20 км. П.Д. Гамкрелидзе считает, что если восстановить все чешуи Жинвальско-Гомборской подзоны в первоначальном положении, то общая их ширина составит около 80–100 км; перекрытая всеми шаръяжами полоса — около 50–60 км.

Шаръяжи сформировались в доакчагыльское время.

Из всех складчатых движений орогенетических faz — батской, андийской, австрийской, субгерцинской, ларамиской, триалетской, штирийской и атической — формировавших Жинвальско-Гомборскую подзону наиболее важной была триалетская.

Тагрско-Джавскую зону (Часавали-Рибисскую кордильеру) с севера ограничивает линия надвига, которая до последнего времени считалась поверхностным выражением глубинного разлома. Исследования П.Д. Гамкрелидзе (1970) позволили заключить, что глубинный разлом находится несколько севернее линии надвига и в настоящее время перекрыт надвинутым с севера флишем.

С юга зону оконтуривает Рачинско-Осетинская шовная зона. В строении зоны принимают участие все породы известные в районе. Они интенсивно дислоцированы и среди них можно выделить следующие крупные антиклинали — Оисскую, Цедисско-Ахса-рджинскую, Чордско-Сохтинскую и синклинали — Сханарско-Нада-

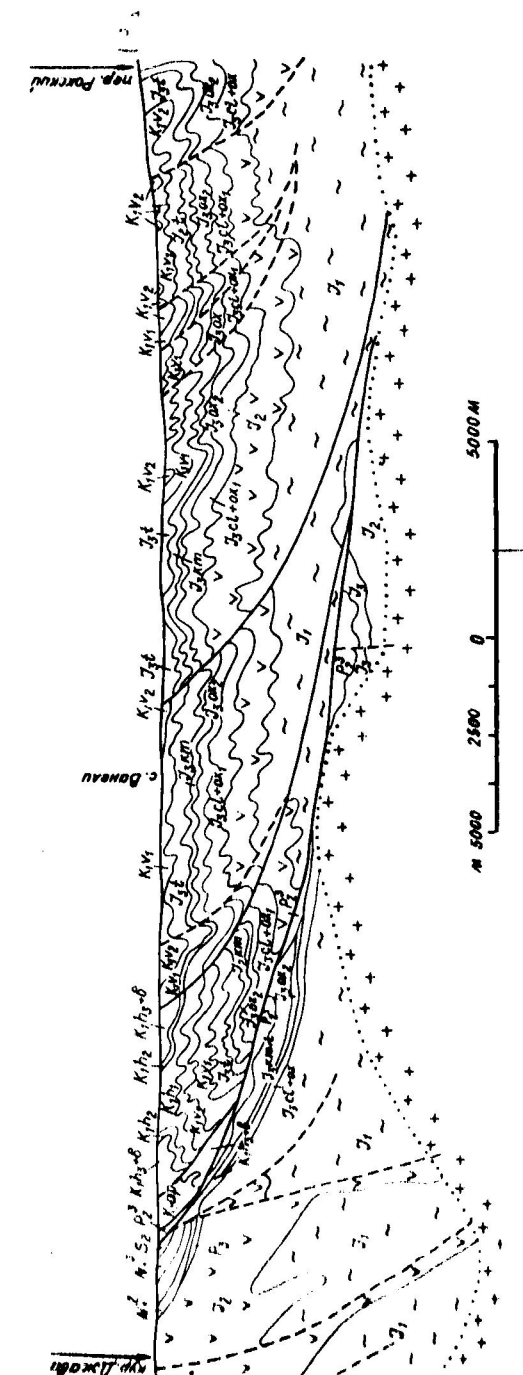


Рис. 3. Схематический геологический разрез по линии Джава-Ванели-Рока (по И.С. Вашакидзе и Н.С. Элердашвили).

рбасовскую и Рибисскую.

Опская антиклиналь расположена в западной части района. Складка опрокинута на юг. В строении ее принимают участие сланцы лейаса и вулканогенные байоса.

Следующая Целисско-Ахарджинская антиклиналь сложена теми же породами и частично верхнеюрскими рифогенными отложениями. Особенность складки — ее кручение в западной части (р. Сирх-Леберта и Велуанта), опрокинутой на север, а в восточной части — на юг.

В ядре Чордско-Сохтинской антиклинали, более сложного строения, обнажаются глинисто-песчанистые отложения лейаса, а на крыльях — вулканогенные образования байоса и частично трансгрессивно перекрывающие их верхнеюрские образования. В восточной части антиклиналь опрокинута на юг, а в западной части — на север. По левобережью р. Кошельта-дон антиклиналь осложнена многочисленными разрывами в северном крыле, а в районе с. Раро перекрывается Уцерско-Павлеурским шарьяжем флиша Местийско-Тианетской зоны.

Сханарско-Надарбазевская синклиналь — это совокупность нескольких синклиналей, которые в допалеогеновое время были едины, а затем в результате весьма сложных тектонических движений были разобщены. Синклиналь сложена массивными рифогенными известняками, меловыми карбонатными и эоценовыми отложениями.

Рибисская синклиналь сложена верхнеюрскими известняками, песчаниками, мергелями и эоценовыми известняками. Южное крыло синклинали осложнено многочисленными пликативными и лизьюнктивными нарушениями регионального характера. В восточном направлении синклиналь перекрыта Уцерско-Павлеурским шарьяжем; к западу — несколько приподнята.

Обе синклинали в результате сложных тектонических движений приобрели как бы мозаичное строение.

По П.Д. Гамкелидзе, "после средней юры этот район и скрытая в настоящее время под шарьяжем большая часть Гагрско-Джавской зоны представляли периодически выступающую кордильеру, где наряду со складчатыми движениями были широко развиты и разрывные нарушения". Нарушения зафиксированы на южном склоне водораздела Укивлета-Клебодзали.

Особенно интересно Часавальское нарушение, проходящее по левому склону р. Джеджора. Северное его крыло сложено вулканогенными образованиями байоса и непосредственно налегающими на них молассовыми известняками, а южное крыло — только верхнеюрскими массивными известняками. Причем, северное крыло нарушения по положению байоса приподнято, а по положе-

нию мела и верхней юры — опущено. Это можно объяснить тем, что возникший до мела взброс с приподнятым северным крылом после мелового времени претерпел оживление, но уже с переменным знаком — по той же линии приподнимается южное крыло и, таким образом, получается взбросо-сбросовое нарушение. Вероятно, перед мелом в северном приподнятом крыле первоначального сброса верхнеюрские известняки на этом участке успели полностью размыться. Вертикальная амплитуда взброса составляет около 400 м, а сброса по верхнемеловым известнякам — около 150 м.

Для металлогенеза района важнейшими являются Квайсинские разломы (южный и северный), которые детально будут описаны ниже.

Севернее Квайсинского месторождения вблизи с. Надарбазели фиксируется продольный разлом с приподнятым южным крылом и с амплитудой вертикального перемещения до 400 м. Здесь же фиксирован и микрошарьяж — верхнеюрские известняки по волнистой поверхности залегают над отложениями эоцена.

В районе хребта Валь-хех до Эрцойской котловины установлен продольный взброс (Валь-хехский) доэоценового возраста, где сложенное байосскими отложениями северное крыло приподнято на несколько сотен метров.

На северном склоне Дагверула-Сирх-Леберта (у с. Чорли и Пкори) установлены нарушения взбросо-надвигового характера с перемещением масс с юга на север. Здесь байос и лейас лежат на отложениях эоцена и олигоцена.

Большое количество продольных нарушений устанавливается в восточной части Рибисской синклинали. Остается впечатление будто они являются восточным продолжением вышеописанных взбросов, однако по движению блоков они совершенно противоположного характера.

Между описанными выше разноориентированными перемещениями в пространстве помещается Квайсинская полоса с попечными разломами Валь-хеха и Надарбаз. Эти разломы фиксируются и в западной части района, где с одной стороны наблюдаются стык верхнеюрских известняков с байосом, а с другой стороны — лейаса того же крыла с байосом. Эти нарушения испытывают оживление в до- и послеверхнеюрские периоды.

Вблизи с. Засетикау можно наблюдать, как благодаря попечному сбросу грубобломочные отложения верхнего эоцена восточного крыла соприкасаются с верхнеюрскими, меловыми и эоценовыми отложениями западного крыла. Вертикальная амплитуда сброса превышает 500 м.

Разрывные нарушения субширотного простирания с крутым

северным подчином наблюдаются в байосской порфиритовой свите в районе Цагинского и Тедолетского рудоуправлений.

В Гагрско-Джавской зоне выделяются: 1) ранне- и среднеюрский этаж; 2) позднеюрский-раннепалеогеновый этаж, подразделяющийся на позднеюрский, меловой и раннепалеогеновый подэтажи; 3) позднеоцен-олигоценовый этаж.

Между Грузинской глыбой и Гагрско-Джавской зоной расположена полоса шириной до 4 км и глубиной в несколько км. Она заполнена в основном неогеновыми и частично олигценовыми и нижнемиоценовыми молассовыми осадками. Редко обнажаются и осадки гипсоносных известняков тарханского горизонта. Средний миоцен представлен мало мощными отложениями чокрака и мощными (до 500 м) конгломератами верхнего сармата. Суммарная мощность третичных отложений 800 м. Эта полоса представляет собой синклиналь с крутыми, слегка опрокинутыми на юг крыльями. В восточном направлении она продолжается по линии надвига Уцеро-Павлеурского шарьяжа и тянется под шарьяжем и далее на восток. В западном направлении зона выходит за пределы района исследования и непосредственно увязывается с Шкмерской синклиналью.

#### История геологического развития

По П.Д. Гамкрелидзе, в Юго-Осетии, в альпийском орогеническом цикле в лейасе устанавливается преобладание нисходящих движений, поэтому вся территория находилась под водой, причем большая, северная часть представляла геосинклиналь Южного склона Большого Кавказа, где (включая и Окрибско-Хреитскую зону) отлагались осадки, давшие впоследствии аспидную формацию со слабым проявлением инициального вулканизма. Южная часть располагалась в области Закавказской плиты (Грузинской глыбы) с маломощной известковистой формацией (красные известняки), сопровождавшейся кислым вулканизмом (нижние туффиты).

В конце лейаса проявляется фаза складчатости (донецкая), вызвавшая в области Грузинской глыбы несогласное залегание байоса на ранней юре, а в пределах геосинклиналей – регрессию моря – обмеление.

В начале байосского века происходят нисходящие движения геосинклинали, сопровождающиеся подводными излияниями, с накапливанием вулканогенных образований порфиритовой формации громадной мощности. Она развита на большей части территории Юго-Осетии, включая Хреитскую зону и широкую полосу, перекрытую шарьяжем флиша. В батскую эпоху проявляется складчатость,

начавшаяся в Окрибско-Хреитской зоне еще в конце байоса и выковавшая в области Грузинской глыбы и в Окрибско-Хреитской зоне региональную регрессию моря, а в области геосинклинали Южного склона – заложение, по крайней мере, двух глубинных разломов флишевого бассейна с появлением кордильер Гагрско-Джавской зоны, сформировавшейся как самостоятельная в средней юре. В батскую fazu формировалаась Рачинско-Осетинская шовная зона, и с этого времени в смежных зонах устанавливаются различные геотектонические режимы – Южная Окрибско-Хреитская зона выходит из области геосинклинального погружения, теряя присущую ей до этого лабильность.

В начале верхней юры вновь восстанавливаются нисходящие движения и все приподнятые районы полностью или частично покрываются водой; в северной части геосинклинальной области наступает новая флишевая стадия развития с накоплением мощных образований флиша верхней юры и мела, а на юге – в пределах Гагрско-Джавской зоны с геосинклинальным режимом, накапливаются в основном рифогенные коралловые известняки, а флишевые осадки появляются значительно позднее – в аlte. Окрибско-Хреитская зона и часть Грузинской глыбы в это время находились под лагунным морем с гипсоносными отложениями пестроцветной свиты.

В конце верхней юры – в кимеридже проявляются новые тектонические движения – андийская фаза складчатости, наиболее интенсивная в Гагрско-Джавской и Окрибско-Хреитской зонах. Часавальско-Рибисская кордильера одновременно с общим поднятием и слабой складчатостью претерпела раздробление и здесь зародилось большинство нарушений Квайсинского рудного поля. Андийская фаза относительно слабо проявилась в Местийско-Тианетской зоне, где возникли отдельные кордильеры и увеличились существующие области размыва (регрессия моря), вследствие чего флишевые осадки верхней юры сменяются известняковыми брекчиями (свита думацхо).

В нижнем мелу – в валанжинскую эпоху, наступает новый период опускания, сопровождающийся трангрессией моря, хорошо выраженной в Часавальско-Рибисской кордильере, Окрибско-Хреитской зоне и Дэибульском массиве. В флишевой зоне в это время продолжается общее погружение и накопление мощных, в начале карбонатных, а затем терригенных флишевых отложений, продолжающееся до проявления австрийской (предсеноманской) фазы складчатости. В альбскую эпоху наблюдается здесь слабое проявление вулканизма с накоплением туфогенных пород. Продолжающаяся в постдне готериве-барреме и постдне погружение карбонатного флиша торригенным указывает на расширение суши, питавшей

**флишевый бассейн с севера из области Главного хребта Большого Кавказа.**

Перед сеноманом происходят относительно слабые тектонические движения, сопровождающиеся регрессивными осадками — прослойями грубо-зернистых песчаников и мелкогалечных конгломератов, особенно хорошо развитых в бассейне р. Меджуда.

В сеномане начинается новое опускание и трансгрессия моря, в результате которой во флишевом бассейне образовалась укугартская свита с мощными в основании крупногалечными конгломератами и глыбами рифовых известняков, туфобрекчий, гранитоидов — продуктов размыва пород Гагрско-Джавской зоны, где в это время отлагались кварц-аркозовые песчаники.

Незначительные тектонические движения, вызвавшие во флишевом бассейне трансгрессивное залегание в туронских отложениях, наблюдаются и перед туроном.

Более чувствительны предмаастрихтские складчатые движения — субгерцинская фаза, устанавливаемая в Жинвальско-Гомборской подзоне, где трансгрессивный маастрихт сложен грубообломочным материалом — весьма крупными глыбами верхнеюрских известняков, туфобрекчиями байоса и породами кристаллического субстрата Гагрско-Джавской зоны.

До палеогена в целом происходило общее опускание и миграция оси максимального погружения с севера в сторону южной части Местийско-Тианетской зоны, где происходит накопление карбонатных отложений.

Северная часть Местийско-Тианетской зоны к моменту наступления палеоцена уже была превращена в сушу движениями ларамийской орофазы, одной из главных фаз на территории Грузии.

С наступлением палеоцена совпадают нисходящие движения в региональном масштабе — трансгрессия налеоцена; в флишевом бассейне продолжается миграция геосинклинального трога на юг и в сторону Жинвальско-Гомборской подзоны, четко оформляющееся, как самостоятельный в течение палеогена, остальные части территории Юго-Осетии покрываются неглубоким, но открытым трансгрессивным морем, захватывающим пенепленизированную сушу (в некоторых районах трансгрессия наступает значительно позже — в среднем эоцене). Часто в основании палеоценовых отложений залегают мощные конгломераты с переотложенными глыбами мезозойских пород, перекрывающие разные отложения мела, а в южных районах развиты маломощные карбонатные песчаники, мергели, нуммулитовые известняки.

В конце среднего эоцена появляются тектонические движения Триалетской фазы, особенно интенсивные, как отмечалось,

в Жинвальско-Гомборской подзоне, претерпевшей идиопсивную дислокацию, фиксирующую стирьи складки и разломы (глубинные), особенно Уцерско-Павлеурского шарьяжа. Эта фаза обуславливает разобщение Жинвальско-Гомборской подзоны от Шовско-Пасаираурской.

В это время территория подзоны и восточные части смежной Часавальско-Рибисской кордильеры интенсивно размывались, приобретая очень сложный, сильно расчлененный скалистый рельеф, особенно в местах развития верхнеюрских флишевых известняков, не успевших пенепленизироваться в течение первой половины верхнего эоцена, на что указывает прибрежно-ингрессивный характер верхнеэоценовых грубообломочных осадков — "дикого флиша", обязанного своим происхождением обвально-оползневым явлениям, связанным с верхнеэоценовой трансгрессией — ингрессией моря (гранитоидные глыбы "дикого флиша", по П.Д. Гамкрелидзе, сносились с островов верхнеэоценового бассейна, а не с Дзирульского массива). Южная часть Гагрско-Джавской зоны и смежные части Грузинской глыбы в это время были покрыты нормальными осадками.

Перед олигоценом, благодаря пиринейской фазе складчатости, вызвавшей развитие ранее существовавших складок и возобновление большинства нарушений, происходит регрессия моря с наступлением орогенетической стадии развития геосинклинали Южного склона Большого Кавказа. Эта инверсия более четко проявляется в олигоцене, когда начали формироваться краевые прогибы, представляющие собой арену накопления мощных молассовых отложений.

Олигоценовые нисходящие движения почти полностью охватывают всю Грузинскую глыбу, частично Жинвальско-Гомборскую подзону и Гагрско-Джавскую зону; развивается и Рачинско-Осетинская шовная зона.

В нижнем миоцене, в связи с штирийской орофазой происходит общая регрессия моря (длившаяся до тарханского века включительно), быстро сменяющаяся новой чокракской трансгрессией.

Общее интенсивное воздымание Главного хребта Большого Кавказа осуществляется в верхнем миоцене и связано с аттической фазой одновременным углублением краевых прогибов, постепенно преобразующихся в межгорные прогибы, в результате слияния которых (Большекавказского и Триалетского) Грузинская глыба формируется в межгорную впадину. Воздымание сопровождалось интенсивной складчатостью, размыванием и образованием миоценовой (верхней) грубой молассы, заполнившей и Рачинско-Осетинскую шовную зону.

ГЕОЛОГИЧЕСКАЯ СХЕМА

Б. 1-2	Г. А. А. А. Б. А.											
<b>КРИСТАЛЛИЧЕСКИЙ СУБСТРАТ</b>												
Госиник, карбонатные и туфогенные образования юрского состава												
РАННЕ - И СРЕДНЕЙОРСКИЙ СТРУКТУРНЫЙ ЭТАЖ												
Мощная терригенная ассоциация фации со супесью, промыванием, выщелачиванием												
Редкеския моря, океана												
Полноводные вулканогенные спайлы - порфиритовые обраэования												
Пергесия моря												
Заложение зонны появления кораллов												
ПОДСИНЕВОРСКИЙ - РАННЕАЛЕЙДОНОВЫЙ ЭТАЖ												
Отложение гетеротроптических спайлов												
Аланская (каммеры) (Б. Ледах)												
Регресия моря												
Слабая, склончатость												
Радиоактивность зонны												
Геостратиграфическое зонирование												
Слабые тектонические движения												
Слайды южной - южнокавказской пастбищиков												
Медленное эпиконтинентальное отложение известняков и мергелий												
Отложение мелководных песчаников и гумулюстических известняков												
Иртышский разлом												
ПОЗДНЕЭЦЕЙ - ОИНДИЧЕСКИЙ ЭТАЖ												
Образование нормальных скаплов												
Дополнительное размывание прибрежных скаплов												
Нагромождение моря с обработанным "плотом" фантастических скаплов												
Образование гипса - песчанистых скаплов												
Образование гипса - песчанистых скаплов												
Нагромождение моря с обработанным "плотом" фантастических скаплов												
Аттическая (Б. Ачи-ацой)												
Накопление маловодных глинистых песчаников, глин												
Образование множества с прослоями глинистыми, реже карбонатными отложениями												
Осаджение грубообломочных морей												
Дополнительное проникновение искр												
Позднекавказская												
Образование континентальных, иррегулярных скаплов												

Окончательное формирование всех шарьяжей связано с продактигильскими интенсивными тектоническими движениями (акчагильские конгломераты с большим угловым несогласием перекрывают отложения, слагающие шаряж).

Благодаря верхнеплиоценовым и нижнечетвертичным тектоническим движениям происходит дальнейшее воздымание всего Большого Кавказа, сопровождающееся дополнительной складчатостью и слабой активностью эфузивного вулканизма.

Приведенные данные по истории геологического развития района сведены в приложенную схему.

## РУДНЫЕ ФОРМАЦИИ

Описание месторождений и рудопроявлений Юго-Осетии производится по рудным формациям, под которыми нами понимается группа рудных образований, объединенных общностью минерального состава, морфологических особенностей и геологических условий образования.

В рудной формации на основании вещественного и минералогического состава выделяются субформации (минералогические типы). В результате детального изучения эндогенных рудных месторождений и рудопроявлений Юго-Осетии установлены следующие рудные формации: 1) медно-пирротиновая, подразделяющаяся на цирит-пирротиновую и халькопирит-сфалеритовую субформации; 2) свинцово-цинковая - низкотемпературная; 3) барит-полиметаллическая; 4) барит-кальцитовая; 5) железо-марганцевая - низкотемпературная; 6) кварцево-рутутьно-мышьяковая. Все эти формации соответствуют отдельным стадиям единого верхнетретичного процесса рудоотложения.

Отдельно рассматривается тальк-серпентинитовая формация, симанная с становлением интрузивных пород верхнего палеозоя.

### Медно-пирротиновая формация

Рассматриваемая формация, выделенная нами как самостоятельная, подразделяется на цирит-пирротиновую и халькопирит-сфалеритовую субформации (минералогические типы). Эта формация характеризуется высоким температурным градиентом формирования, проявлено только в нижнем структурном этаже, связана с региональным разломом южной периферии Гагрско-Джавской зоны, тяготеющим к северному борту Рачинско-Осетинской швейной зоны. К ним относятся рудопроявления Раро, Мугута, Валих, Меписадоми, Верхний Тедолети и др. Здесь наибольшего проявления заслуживает Рарское рудопроявление, генезис которого

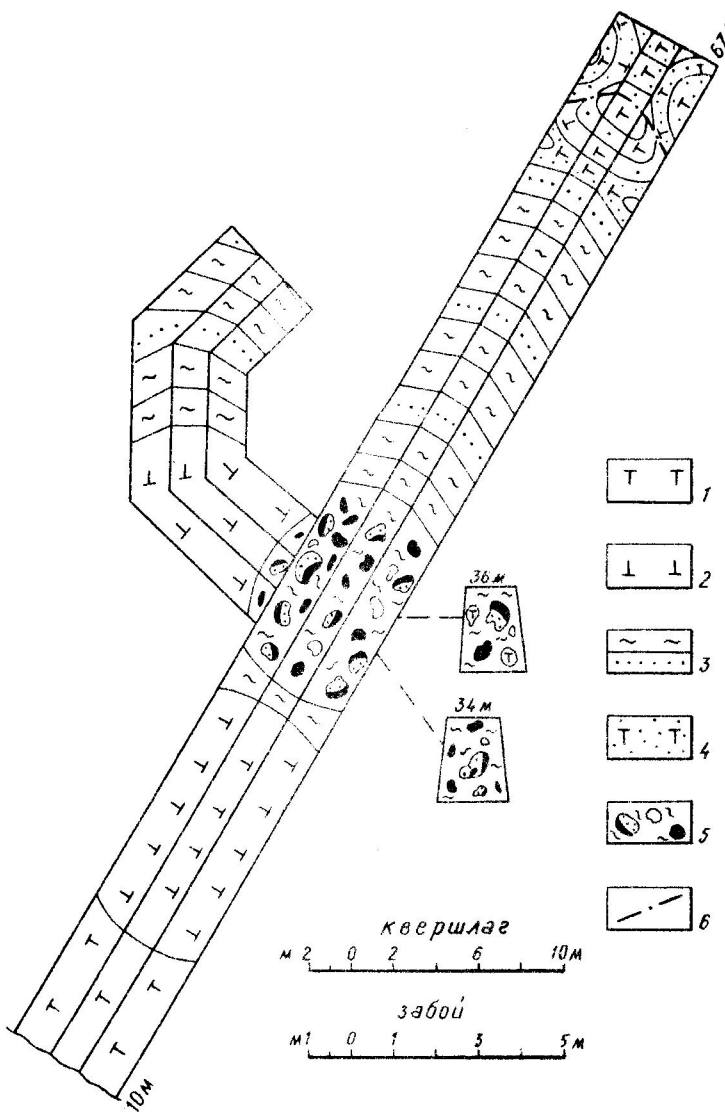


Рис. 4. Развертка квершлага № 1 (по И.Н. Ситковскому).

1 — туфобрекчии, 2 — туфоконгломераты, 3 — глинистые сланцы с прослойми песчаников, 4 — туфопесчаники расланцованные, 5 — глыбы туфопесчаников с рудой, 6 — тектонические трещины.

до настоящего времени осталось дискуссионным. Рудообразование, представленное пирит-пирротиновой субформацией, приурочено к сводовой части антиклинальной складки субширотного простирания, сложенной байосскими вулканогенами и глинисто-сланцево-песчанистыми отложениями лейаса. Северное крыло этой складки в районе рудообразования Раро перекрыто флишевым надвигом, который к востоку от него перекрывает миоценовую грабен-синклиналь шовной зоны, а порfirитовая выступает лишь в виде узких вытянутых вдоль нее окон, образуя клинообразный блок, зажатый между флишевым надвигом с севера и шовной зоной с юга. Породы порfirитовой свиты сильно перемяты и разбиты многочисленными крутопадающими трещинами преимущественно субширотного простирания. Рудоносная зона вытянута вдоль надвига на протяжении 300–400 метров при ширине 100–200 метров. Оруденение представлено главным образом катаклизитами, сложенными глыбами округлой или угловатой формы массивной медно-пирротиновой руды пирит-пирротин-халькопиритового состава. Реже встречаются относительно мелкие катаклизиты существенно халькопирит-сфалеритового состава. Наблюдаются глыбы слабо орудененных порfirитов, известковых песчаников и песчанико-глинистых сланцев. На их поверхности видны разно направленные системы борозд скольжения, обычно залеченные кальцитом, пропитанным окислами меди и железа.

Размер рудных тел колеблется в широких пределах, достигая в диаметре 1–1,5 м и более; в одном случае глыба прослеживалась штолней почти на 10 м (рис. 4). Они приурочены к разрывным нарушениям, распределяясь беспорядочно в темной глинистой массе, в которой отмечаются мелкие гнездообразные скопления брекчированной полиметаллической руды. Мелкие рудные брекчии, по сообщению В.И. Чанишвили, наблюдаются в туфобрекчиях средней юры близ с. Котанто.

О происхождении катаклизитов существуют две точки зрения: И.Н. Ситковский считает, что они образовались путем избирательного метасоматического замещения глыб известняков и известковистых песчаников, заключенных в среднеюрских туфогенных породах, а И.Р. Каходзе и К.Л. Габуния считают, что обломки оторвались от залегающего на глубине рудного тела, перекрытого и выволоченного в верхние горизонты.

Кроме описанных катаклизитов во вмещающих породах наблюдаются тонкие (мощностью от долей см до 3–4 см) прожилки оолитового сфалерита, галенита, халькопирита, реже мельникит-пирита, кальцита, а также примеси гидроокислов железа и окислов меди, обычно приуроченных к трещинам отдельности или напластований. 90% всех рудных катаклизитов локализованы в

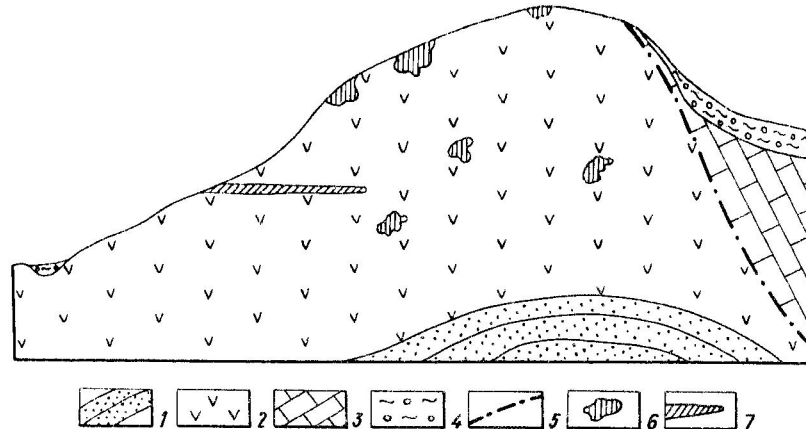


Рис. 5. Рудопроявление Мугута, схематический разрез.

1 - глинистые сланцы, лейас, 2 - туфобрекчии, байос, 3 - известняки - мел, 4 - делювий, 5 - линия надвига, 6 - рудные глыбы - "катализиты", 7 - сульфидизированная зона.

туфогенных породах байоса, не обнаруживающих гидротермально-го изменения в контакте рудных тел (Хабалов, 1968).

Медно-пирротиновое оруденение с. Мугута приурочено к той же надвиговой зоне и во многом напоминает рудопроявление Раро. Здесь рудные блоки катаклазитов, размером до 1 куб. м и более, спорадически разбросаны в грубообломочных туфобрекчиях средней юры (рис. 5), оставляя впечатление эксплозированных вулканом из залегающего на глубине месторождения совместно с глыбово-обломочным материалом вулканогенных пород, что требует дальнейшего изучения.

Проведение структурно-поисковых скважин по 2-3 поперечным профилям Раро-Мугутской рудной зоны, возможно, внесет ясность в вопрос ее генезиса и перспективности.

Спектральным анализом в мономинеральных фракциях медно-пирротиновой формации установлены: никель (следы), кобальт (0,0n-0,n%), медь (0,0n-0n%), свинец (0n-1%), цинк (0n-1%), серебро (0,00n%), висмут (0,00n-0n%), кадмий (0n%), олово (следы), галлий (следы). В рудовмещающих гидротермально измененных породах установлены никель - 0,000n%, кобальт - 0,00n-0,000n%, галлий - 0,000n%, мышьяк - 0,0n-0,00n%: медь - 0n-

0,00n%, цинк - 0,0n-0,00n%, свинец - 0,00n-0,000n%.

С целью определения соотношений изотопов серы в пирите, пирротине и галените месторождений Раро и Квайса, были проведены масс-спектрометрические исследования мономинеральных фракций (табл. 1).

Для изученной серы характерен разброс изотопных отношений; но сравнению с эталонным образцом она обогащена тяжелыми изотопами. Исключение составляет сера галенита: тут отмечается облегчение изотопного состава серы, хотя и близкого к эталону. Из-за малого количества определений делать какие-либо генетические заключения по соотношению изотопов серы не представляется возможным.

Таблица 1

№ образца	Минерал	$S^{34\%}$	$S^{32\%}/S^{34\%}$
88	Пирротин	0,052	22,208
92	Пирротин	0,488	22,112
98	Пирротин	0,346	22,143
91	Пирит	0,483	22,124
99	Пирит	0,335	22,146
192	Галенит	0,018	22,223

Рудопроявление Валь-хех залегает в вулканогенах байоса, перекрытых песчано-глинистыми и карбонатными отложениями верхней юры и кварцево-слюдистыми песчаниками эоцена, слагающими Валь-хехскую синклиналь, севернее которой фиксируется Жирдана-хех-Эрцойская антиклиналь. Рудопроявление приурочено к крутыму (60-70°) близширотному Вальхехскому сбросу с наложением на ЮЗ 200-210°. Полоса разлома сложена интенсивно расщепленными аргиллитизировано-хлоритизованными образованиями, протягивающимися с перерывами почти на 5-6 км.

Скважинами пересечены две тектонические зоны с вкрашенными и прожилково-вкрашенными свинцово-цинковыми оруденениями. Видимая мощность первой 1,7 м с содержанием свинца - 0,55% и цинка - 5,9%.

В верхних горизонтах штолни 43 (рис. 6) вскрыта зона разлома с редкими разобщенными лигнитами мощностью 10 см, массивной свинцово-цинковой рудой и лаволитою крупными (протяженностью 0,5-12,0 м и мощностью 0,2-2,0 м) концентрическими телами с редкой вкрашенностью бирита, галенита, сфалерита.

Для изучения зоны ниже штолни 43 задана скважина 203, в которой в интервале 234,0 - 258,0 м пробурена зона разлома,

представлены рассланцованными аргиллитизированных-хлоритизированными породами с массивной пиритовой рудой.

Описание других рудопроявлений данной формации, из-за их идентичности и незначительных размеров, не приводится.

### Свинцово-цинковая низкотемпературная формация

Оруденения свинцово-цинковой формации являются ведущими для изученного района. К нему относится промышленное месторождение Квайса и ряд мелких рудопроявлений (Эрдо, Хихата).

Месторождение Квайса. Район месторождения сложен песчано-глинистыми отложениями лейаса, авгит-плагиоклазовыми порфиритами и их пирокластолитами, спилитами и плагиоклазовыми порфиритами байоса, рифовыми известняками верхней юры, слоистыми известняками мела, органогенно-детритовыми известняками и известковистыми аркозовыми песчаниками палеогена (рис. 7). Все эти отложения линейно вытянуты вдоль Цедиси-Ахсарджинской антиклинали, шарнир которой на участке месторождения полого, под углом 15–20°, погружается в северо-восточном направлении. Рудоконтролирующие структуры на месторождении ограничиваются Северным и Южным разломами, между которыми П.Д. Гамкрелидзе (1950) выделяет тектонический клин; по длине его максимально погружена в центральной части.

По данным И.Р. Каходзе (1951), из упомянутых двух разломов, ограничивающих тектонический клин, главный – южный с амплитудой перемещения порядка двух сотен метров. Движение по южному разлому вбросового характера. Клин, зажатый между двумя разломами, следует рассматривать как оторванную часть северного крыла, относительное перемещение которого было меньшим. Он сложен образованиями байоса, юры, мела и палеогена. Южный разлом падает на север под углом 80–90°, а Северный на юг под углом 70–80°.

По М.Н. Джапаридзе (1962), вдоль Квайсинских разломов устанавливаются вбросо-сдвиговые перемещения разной амплитуды. Блок пород, расположенный к югу от Южного разлома, перемещен, примерно, на 580 м, причем вбросовая составляющая равна 500 м, а сдвиговая – 290 м (на запад). Что касается блока пород, прилегающего с севера к северному нарушению, то он перемещен на 470 м при вертикальной амплитуде 400 м (Гамкрелидзе, 1950) и горизонтальной составляющей (на запад) 230 м (Харашвили, Джапаридзе и др., 1963). Выделены три участка: Нижняя Квайса на западе, Верхняя Квайса в центральной части и Надарблизи на востоке.

Оруденение локализуется как в Северном, так и в Южном

разломах и в порфиритах буджногорногосадочной свиты байоса, а также в известняках верхней юры.

Рудные тела, развитые в байосе, выработаны или трудно доступны для осмотра.

Как отмечает Т.В. Иванишкий (1963), главное рудное тело Квайсинского месторождения представляет собой блокнюю жилу, в которой с северной стороны примыкает безрудная гидротермальная измененная зона, четко ограниченная от жилы тектоническими плоскостями (рис. 8). В некоторых случаях она сменяется рядом параллельных рудных прожилок; иногда наблюдается выклинивание руды до безрудного проводника. Во многих местах южная призальбандовая часть рудного тела представлена брекчирированной полосой, сменяющейся к югу вкрапленной убогой рудой.

На контакте с массивными известняками рудное тело частично сменяется безрудной зоной, тогда как разлом без перерыва прослеживается в массивных известняках, а гипсометрически выше – в слоистых известняках.

Безрудная зона, сопутствующая жиле, представлена сильно рассланцованными и рассланцованными хлоритизированными, карбонатизированными и серicitизированными породами, а в удале-

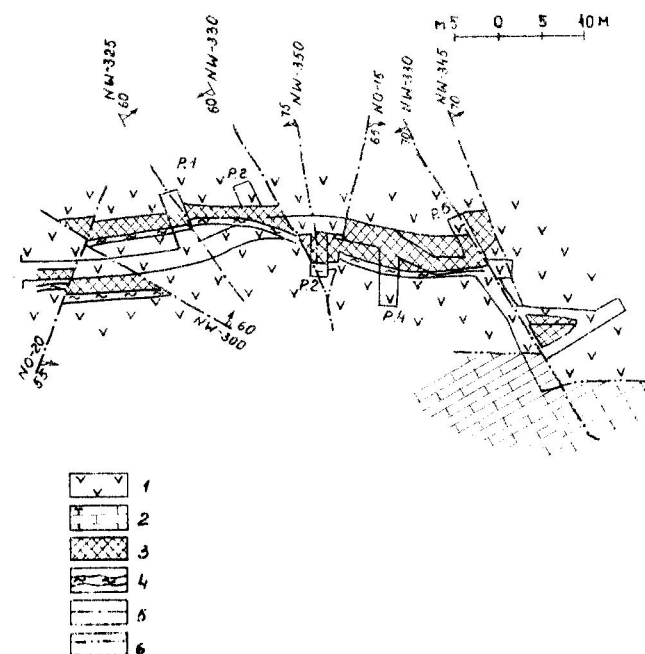


Рис. 8. Погоризонтный план штольни № 12 (по Т.В. Иванишкому).

1 - породы порфиритовой свиты, 2 - лужитанские известняки, 3 - рудные тела, 4 - рассланцованные изменения порфириты, гипнита, 5 - пострудные нарушения, 6 - линия южного разлома.

ний от жилы — постепенно смениются полиминеральными породами байоса.

Четкая разграничичность оруденения на бесструктурную и рудную зоны, разнотрещинность прожилок кальцита, наличие в южном залежи полосы брекчированной руды, многочисленные продольные тектонические плоскости с размазанной рудой, указывают на сильные движения, имевшие место в процессе минерализации и пострудную стадию.

В распределении оруденения наблюдается локализация богатой руды в плотных породах байоса, что, видимо, объясняется различными физическими свойствами последних. Оруденелые известняки в основном развиты на Надарбазевском участке (штоля "Капитальная"), где происходит сближение Северного и Южного разломов. Нами задокументированы квершлаги и рассечки, проходящие внутри основного рудного столба и составлен погоризонтный план (рис. 9) с характерными разрезами (рис. 10, 11).

Разрез по квершлагу штолни "Капитальная" начинается вблизи Северного разлома; породы представлены сильно измененными окварцованными цеолитизированными туфобрекциями. Затем следует тектоническая зона мощностью до 1 м. С юга к ней примыкают сильно песчанистые органогенно-детритовые известняки и известковистые аркозовые песчаники с плохо сохранившейся микрофауной.

Далее на юг развиты известняки, в которых в шлифе фиксируется сероватая пелитоморфная масса с обилием микрофорами-нифер. Порой фораминиферами сложена вся масса породы, карбонат образует лишь цемент. Скорлупы расположены ориентированно, камеры которых выполнены опалом. Определение форами-нифер в шлифах произведено в Государственном музее Грузии Т.М. Кутателадзе, по мнению которой описанные породы принадлежат к палеоцен-нижнему эоцену. К аналогичному выводу пришли и М.Ф. Хучуа; она отмечает, что литологический тип описанных пород характерен для палеоцен-эоценовых осадков Грузии. В описанных известняках встречаются вкрапленники пирита и прожилки барита. Южнее — породы аналогичного характера, но отличаются возрастанием размера вкрапленников пирита и гумификаций. Далее следуют верхнеюрские известняки.

В квершлагах № 11 и 15 фиксируется синклинальная складка, которая погружается на СВ  $80^{\circ}$ ,  $\angle 25^{\circ}$ . В квершлагах под палеоцен-нижним эоценом наблюдается базальная формация, трансгрессивно залегающая на верхнеюрских известняках. Она представлена обломками известняков, по всей вероятности, меловыми.

Рудный столб прослежен на глубину 90 м мощностью в несколько м. Простижение субширотное. Склонение восточное крутое. Содержание цинка и свинца повышенено. Западнее рудного столба в известняках, вдоль Южного Квайсинского

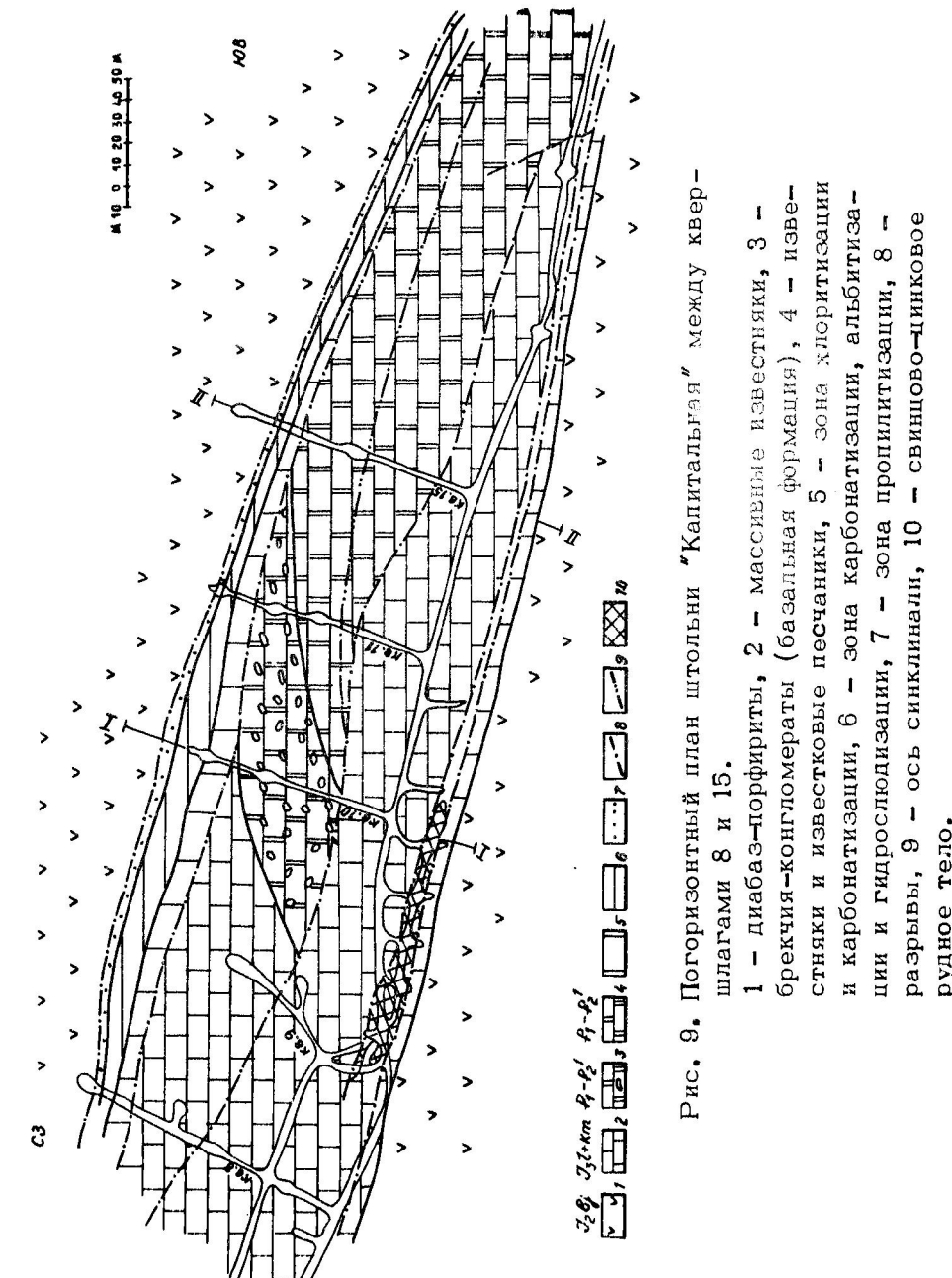


Рис. 9. Погоризонтный план штолни "Капитальная" между квершлагами 8 и 15.  
1 — диабаз-порфириты, 2 — массивные известняки, 3 — брекчия-конгломераты (базальная формация), 4 — известняки и известковые песчаники, 5 — зона хлоритизации и карбонатизации, 6 — зона карбонатизации, альбитизация и гидрослюдизация, 7 — зона пропилитизации, 8 — разрывы, 9 — ось синклиналии, 10 — рудное тело.

Рис. 10. Разрез 1-1. 1 - диабаз  
— порфиры, 2 — массивные извес-  
тияки, 3 — слоистые известняки,  
4 — известковые песчаники.  
5 — зона хлоритизации и карбона-  
тизации, 6 — зона карбонатизации,  
альбитизации и пропилитизации,  
7 — зона пропилитизации, 8 — свин-  
цово-цинковое рудное тело,  
9 — разрывы.

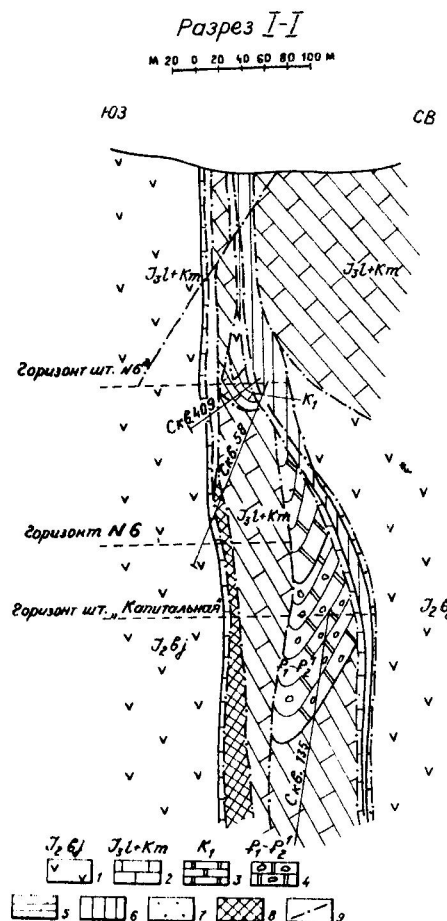


Рис. 11. Разрез II-II. Условные знаки см. на рис. 10.

разлома, наблюдается повышенная рудоносность субширотной со-  
ни, представленная гидротермально измененными известняками с  
линзами, гнездами и жилами с богатой свинцово-цинковой рудой.  
Характерно, что раздробленные участки силошного сфалерита за-  
полнены пиритом, галенитом и сфалеритом поздней генерации.

Мощность линз 0,6–4 м. Содержание свинца и цинка повышенено.

По структурным условиям формирования в пределах рудного поля можно выделить три типа рудных столбов (Джапаридзе, 1965).

1. Рудные жилы и зоны в внутрипластовых трещинах открыты в порфиритовой свите байоса.

2. Метасоматические залежи — линзы, гнезда, приуроченные к внутриформационным системам трещин в рифовых известняках.

3. Рудные "будины" в зонах смятия и развалыцевания вдоль контактов рудовмещающих пород в пределах Южного Квайсинского разлома (рис. 12).

Положение рудных столбов первой группы определяется ин-  
тервалами приоткрывания трещин в местах изгибов при сдвиговых  
перемещениях их стенок. Такие рудные столбы характерны для Верхней и Нижней Квайсы. Для последней типичны также обогащенные рудные участки второго типа, приуроченные к местам  
разветвления трещин. Рудные столбы третьей группы встречаются на участке Надарбазеви; они приурочены к местам раскрытий ран-  
них трещин или межпластовых контактов, в участках сочленения  
их с относительно крупными смещениями.

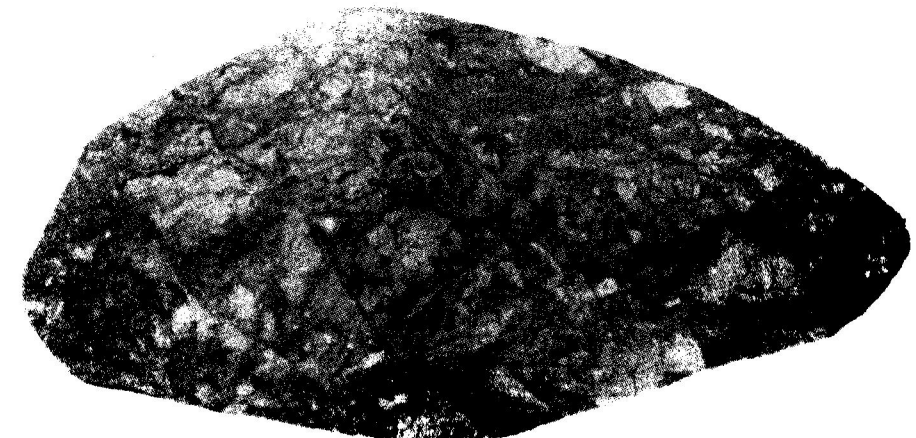


Рис. 12. Лицедиевидный рудный тектонит. Силошной сфалерит по раздробленным участкам залечен пиритом, галенитом, сфалеритом поздней генерации.

Штуф 1/2 натур. величины.

С целью детальной характеристики околоворудных зон составлены геологические разрезы вкрест проекции рудной зоны по квершилагам 10 и 8. Были изучены также разрезы по скважинам. Ниже приводится описание нескольких характерных разрезов.

Разрез 1 — штолня "Капитальная", рассечка около квершилага 10 с юга на север. Этот разрез вскрывает порфиритовую свиту байоса, Южный разлом, оруденелую зону и массивные известняки верхней юры (рис. 13).

В порфиритовой свите байоса по минеральным парагенезисам выделяются следующие зоны (нулевая, неизмененная зона не наблюдается):

1. Зона хлоритизации представлена в основном хлоритизированным порфиритом, в состав которого входят плагиоклаз, пироксен, местами амфибол, основная масса — хлоритизированное стекло с микролитами плагиоклаза, магнетит, сфен, иногда присутствует кальцит.

Плагиоклаз серicitизирован, хлоритизирован, карбонатизирован. Сохранены редкие свежие его реликты. Пироксен также частично хлоритизирован и незначительно карбонатизирован.

Кроме упомянутых минералов попадаются единичные зерна кварца, цеолита, пирита. Мощность зоны ~1,5 м.

2. Зона гидрослюдизации представлена в основном гидрослюдой. Плагиоклаз местами сохранен. Происходит почти полное замещение пироксена и амфибала гидрослюдой (в основном минералами глауконитовой группы — сколлитом и селадонитом, определенные В.Д. Гуниава и Г.В. Гигиадзе (1969), и хлоритом. Основная масса полностью замещена гидрослюдой и хлоритом. Развивается также пирит. В виде жилок и отдельных скоплений присутствуют цеолит (десмин), кальцит и пренит.

Минеральный состав: плагиоклаз, амфибол, хлорит, гидрослюда, эпидот, кварц, лимонит, цеолит, пирит, сфен, лейкоксен. Мощность 3,5 м.

3. Зона монтмориллонитизации представлена в основном полностью замещенным монтмориллонитом, а также минералами глауконитовой группы, образованными вследствие замещения плагиоклаза и цветных минералов.

Минеральный состав: монтмориллонит, хлорит, кварц, кальцит, каолинит, пирит. Мощность 0,6 м.

4. Зона адуляризации — карбонатизации характеризуется полным замещением первичных минералов адуляром, карбонатом, монтмориллонитом, а также лейкоксеном.

Минеральная ассоциация: адуляр, монтмориллонит, карбонат, пирит, галенит, лейкоксен. Мощность 1 м.

На рисунке 14 приводятся результаты рентгеновских термических анализов этих зон, в таблице 2 — минеральный состав об-

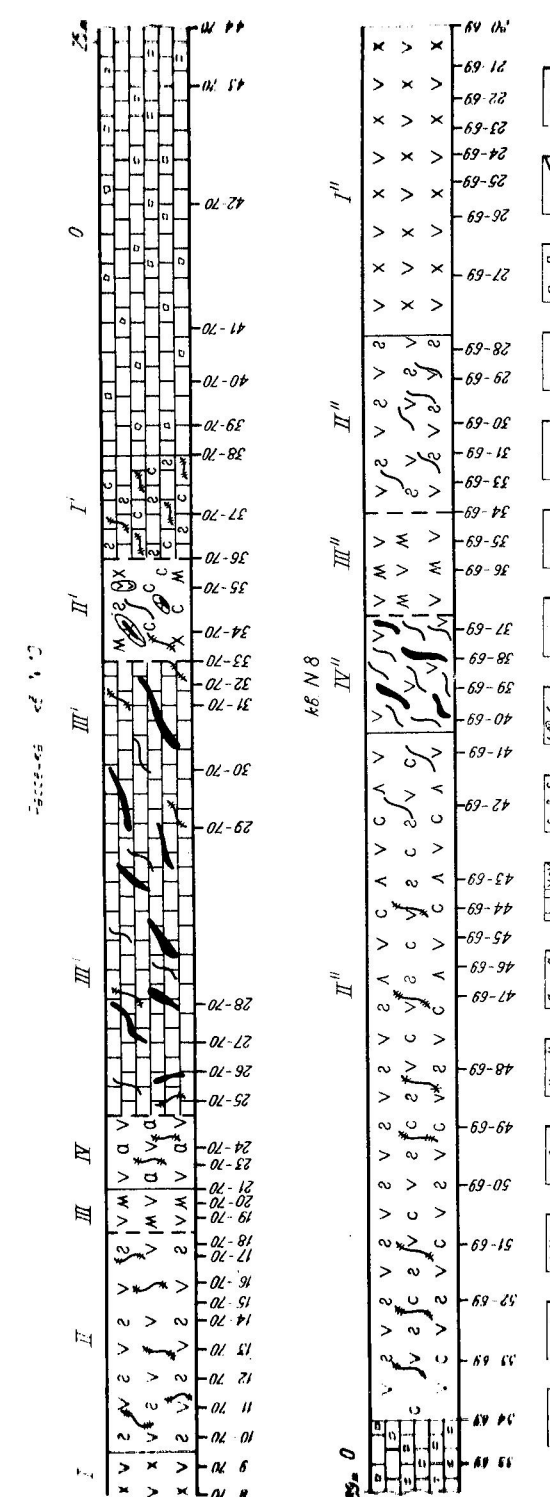
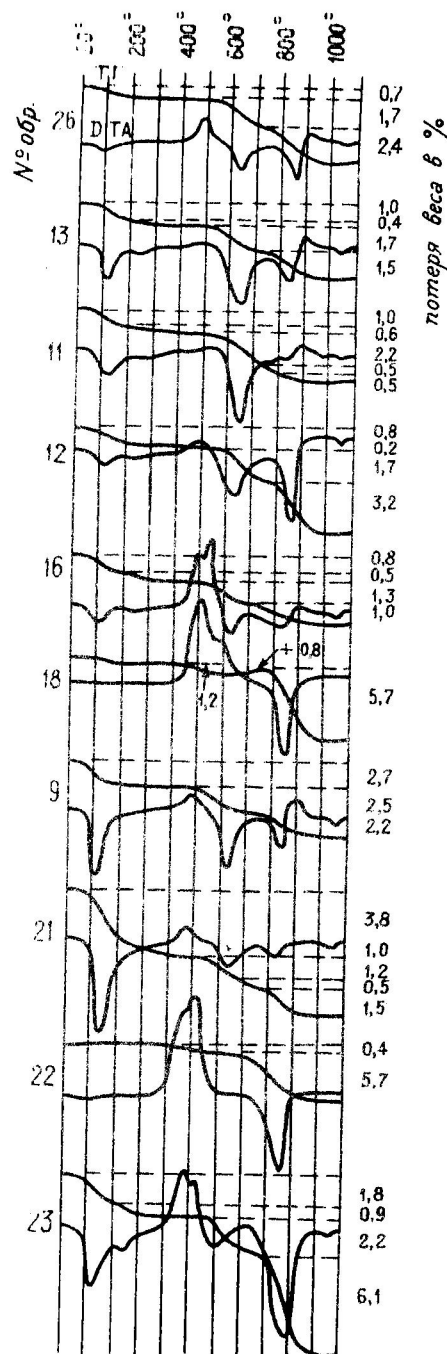


Рис. 13. Разрез по рассечке у квершилагов 8 и 10.

1 — известняки верхней юры, 2 — порфиритовая свита байоса, 3 — зона хлоритизации, 4 — зона гидрослюдизации, 5 — зона монтмориллонитизации, 6 — зона адуляризации, 7 — зона сульфидной минерализации и карбонатизации, 8 — зона гидрослюдизации и карбонатизации, 9 — зона разлома с обломками порфирита и оруденелого известняка, 10 — прожилки кальцита, 11 — прожилки пренита, 12 — прожилки кальцита, 13 — жилки кварца, 14 — метакристаллы кварца, 15 — линия разлома, 16 — место взятия образцов (первая цифра — номер образца, вторая — год).



образцов, определенный по кривым ДТА, ИГ и ТГ.

К северу от описанных зон наблюдаются верхнеюрские измененные известняки, переходящие в свежие известняки. В них можно выделить следующие зоны изменения:

0 - Зона свежих верхнеюрских известняков представлена органогенными безрудными известняками с многочисленными взаимопересекающимися прожилками крупно- и среднекристаллического кальцита с метакристаллами. Местами в этой зоне наблюдаются гнезда и участки оглиниенных, каолинизированных и гидрослюдизированных пород. Минеральный состав: карбонат, кварц. Мощность 60 м.

I<sup>1</sup> - Зона карбонатизации и гидрослюдизации представлена сильно перекристаллизованным кальцитом, многочисленными мелкими прожилками лимонита и других рудных минералов. Встречаются также прожилки сколита с мелкими зернами рудных минералов. Эта зона имеет полосчатую текстуру.

Минеральный состав образцов из Квайсинского месторождения, определенный по кривым ДТА ИГ и ТГ (вес. %)

Таблица 2

№ образца	Магнетитово-железистый хлор	Гидрослюд	Монтмориллонит	Кальцит	Активолит	Сульфиды	Цеолит (десмин)	Эннелот
26	17	-	-	4	2-3	+	-	
13	13	10	-	1	2-3	+	2	
11	15	10	-	1	1-2	+	1	
12	12	7-8	-	7	2-3	+	1-2	2-3
16	10	7-8	-	2	2-3	++	2	
18	-	-	-	12	-	+++	-	
9	15	-	12	4	2-3	+	-	
21	10	-	20	2	2-3	+	-	
22	10	-	-	8	-	+++	-	
23	-	-	10	14	2-3	++	4	

Примечание: + - возможен везувиан.

Для фракций 0,001 мм, выделенных из образцов 9 и 11, был выполнен рентгеновский анализ. На дифрактограммах зарегистрированы серии бахром-

Рис. 14. Результаты рентгеновских и термических анализов пород из измененных зон.

ных отражений хлорита ( $d_{001} = 14,24 \text{ \AA}$ ), в обр. 11 кроме того установлена гидрослюдя (отражение  $10 \text{ \AA}$  и  $3,33 \text{ \AA}$ ). Обработка образцов глицинерином не изменила дифракционную картину обр. 11, а на дифрактограмме обр. 9 были зарегистрированы дополнительные отражения  $15,7 \text{ \AA}$  и  $8 \text{ \AA}$ , принадлежащие, вероятно, смешанному минералу типа хлорит-монтмориллонит<sup>x)</sup>.

Минеральный состав: карбонат (кальцит), сколит, рудный минерал. Мощность 2 м.

II<sup>1</sup> - Зона разлома представлена измененными оглинившимися породами. В глинистой массе разлома, представленной в основном каолинитом, сколитом, лимонитом, имеются обломки развалцованных, сильно перекристаллизованных оруденелых известняков и хлоритизированных и карбонатизированных вулканогенных пород. Мощность 1,5 м.

III<sup>1</sup> - Зона сульфидной минерализации продолжается до южного разлома и представлена галенит-сфалеритовой, почти сплошной рудой, сопровождающейся прожилками кальцита, выделениями халцедона и метакристаллами кварца. Участками видны также мелкие зерна сколита и налеты лимонита. Мощность 6 м.

Разрез II - штолня "Капитальная", квершлаг № 8 с севера на юг. Вдоль квершлага обнажаются порfirитовая свита байоса, северный разлом и органогенные известняки верхней юры (рис. 13).

I" - Зона хлоритизации. Породы в этой зоне подверглись в основном хлоритизации, серицитизации и пелитизации. Цветные минералы - пироксен и амфибол - частично замещены хлоритом. Встречаются также зерна рудных минералов. Участками появляются карбонат, цеолит, сfen, местами замещенный лейкоксеном.

II" - Зона гидрослюдизации характеризуется следующим минеральным составом: плагиоклаз, гидрослюда, серицит, карбонат, хлорит, пирит, сfen, лейкоксен. Происходит полное исчезновение цветных минералов. Плагиоклаз местами замещен гидрослюдой и серицитом. Имеются также карбонатизированные участки.

III" - Зона монтмориллонитизации и лимонитизации представлена сильно оглинизованными пелитизированными и монтмориллонитизированными массами. Первичная структура полностью стерта. Минеральный состав: монтмориллонит, каолинит, гидрослюда, лимонит. Мощность ~ 2 м.

IV" - Зона сульфидной минерализации. Здесь происходит

почти полное замещение первичных минералов. Сульфиды, в основном, свинца и цинка сопровождаются халцедоном и кальцитом. Мощность ~ 2 м. За этой зоной следуют вышеописанные зоны лимонитизации, гидрослюдизации и карбонитизации.

II" - Зона гидрослюдизации и карбонитизации характеризуется зеленоватым цветом и сланцевато-перетертой текстурой. Минеральный состав: гидрослюда, хлорит, карбонат, халцедон, сколит, встречающиеся в виде прожилков с кокардовыми выделениями, а также в виде налетов. Местами наблюдаются замещения только сколитом. Мощность ~ 10 м.

Описанные зоны изменения в байосских порfirитах характерны для гидрослюдизации. Определенная вертикальная зональность в распределении гидротермальных на месторождении не замечается.

В рудовмещающих массивных известняках верхней юры, а также в пределах рудных тел, были установлены метакристаллы кварца, указывающие на широкое развитие метасоматических процессов. С целью изучения поведения главнейших пордообразующих компонентов, слагающих метасоматические зоны, были проведены химические анализы слабоизмененных, заметно и интенсивно измененных пород. Результаты (в весовых процентах) пересчитывались по методу Н.И. Наковника (1958), а для сравнения - по методу Г.Ф. Барта (1955). Полученные данные сведены в таблицы 3, 4 и 5, а результаты пересчета приведены на рисунках 15, 16, 17. Устанавливается, что околоврудные метасоматиты на изученном месторождении характеризуются гидротермальной гидрослюдизацией, характерной для низкотемпературных месторождений. Они получили особенно широкое развитие в основном в пределах квайсинских разломов.

Для характеристики физико-механических свойств рудовмещающих пород Квайсинского месторождения были отобраны пробы. Результаты экспериментов приведены в таблице 6.

Рудопроявление Эрцо, приуроченное к раздробленным морголям и известнякам лузитана, представлено субпараллельными стоячими из густой вкрапленности полиметаллов. Основное рудное тело прослежено по простианию на 1 км и по падению на 140 м, мощность 1-16 м (средняя мощность 2,65 м). Оно меридионального простиания с падением на восток под углом 40-60°. Оруденение с обоих зальбандов ограничено тектоническими плоскостями с тектонической и гидротермальной глинкой.

На горизонте шт. № 30 рудное тело смещается разрывом, надющим на ЮВ 165-170°,  $\angle 70^\circ$  с амплитудой 11 м. Среднее содержание свинца 2,89%, цинка - 3,92%. Второе тело не имеет выхода на дневную поверхность. Оно зафиксировано на горизонте штольни 30 между разрывами, надящими на СЗ 310°,  $\angle 65^\circ$ .

x) Термические исследования выполнены Б.К. Касатовым, рентгеновские - Ю.С. Дьяконовым, в отделе минералогических методов исследования ВСЕГЕИ.

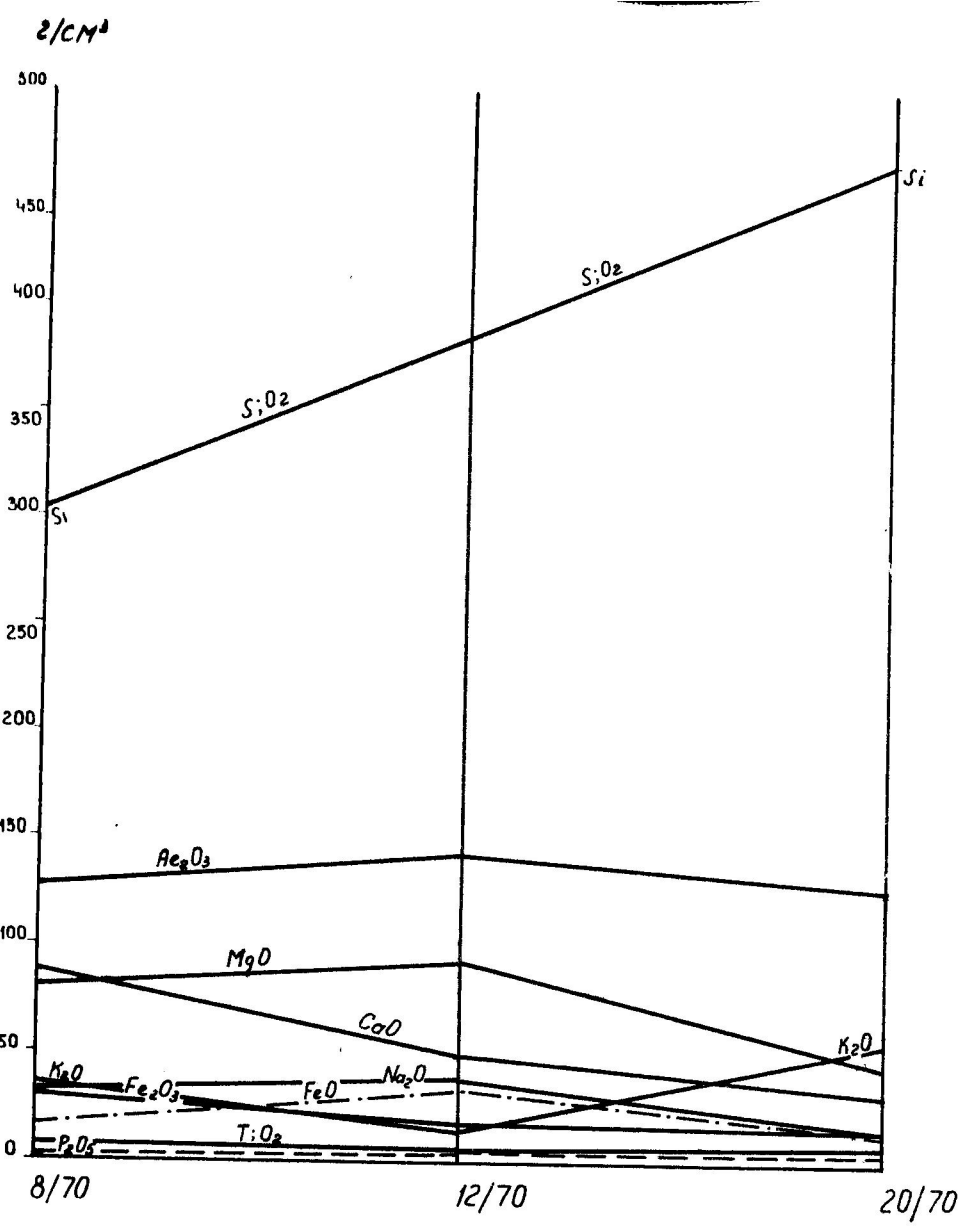


Рис. 15. График изменения содержаний ведущих компонентов по методу Н.И. Наковника.

8/70 – слабоизмененный диабаз-порфирит, 12/70 – измененный диабаз-порфирит, 20/70 – метасоматит.

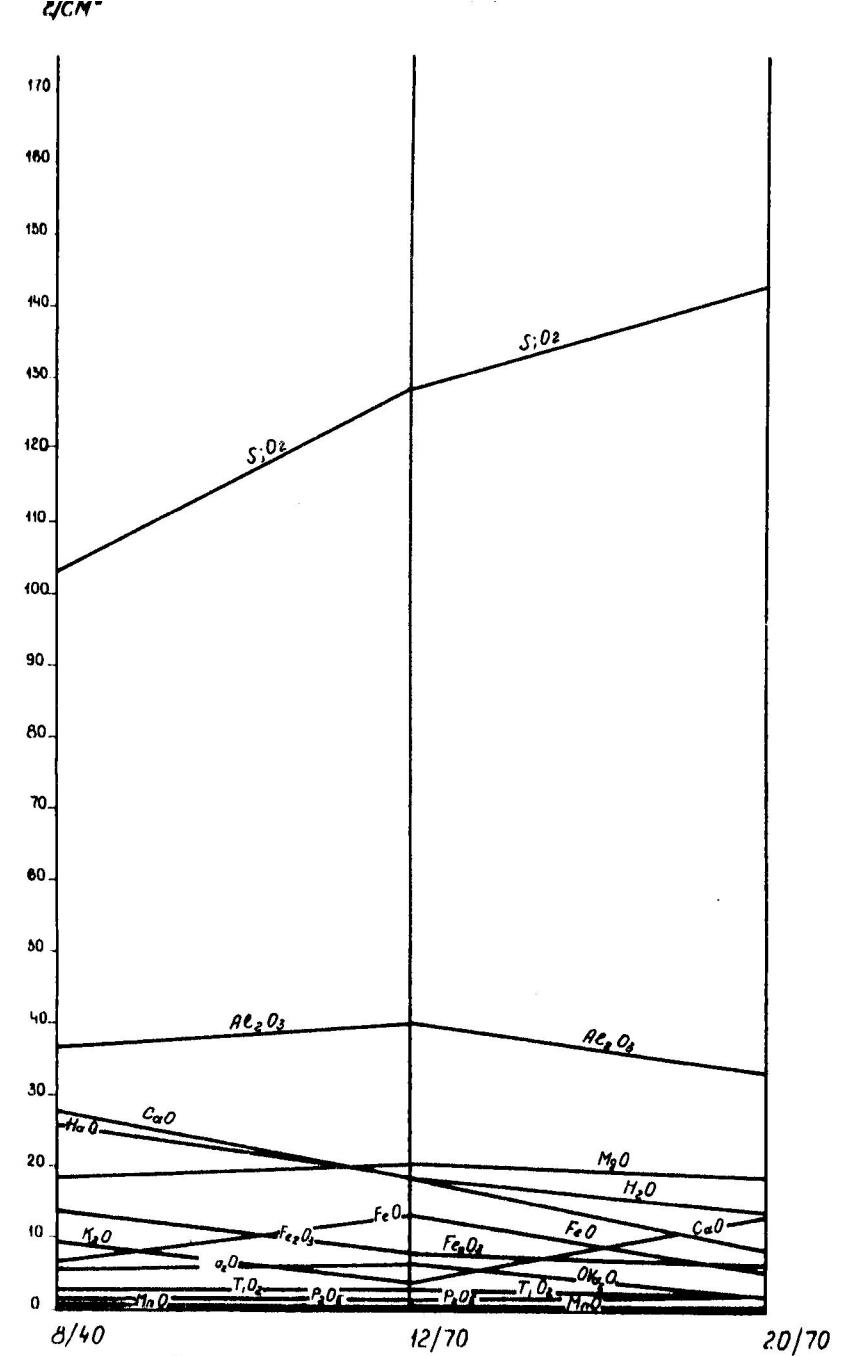


Рис. 16. График изменения содержаний ведущих компонентов по методу Т. Барта.

8/40 – слабоизмененный диабаз, 12/70 – измененный диабаз, 20/70 – метасоматит.

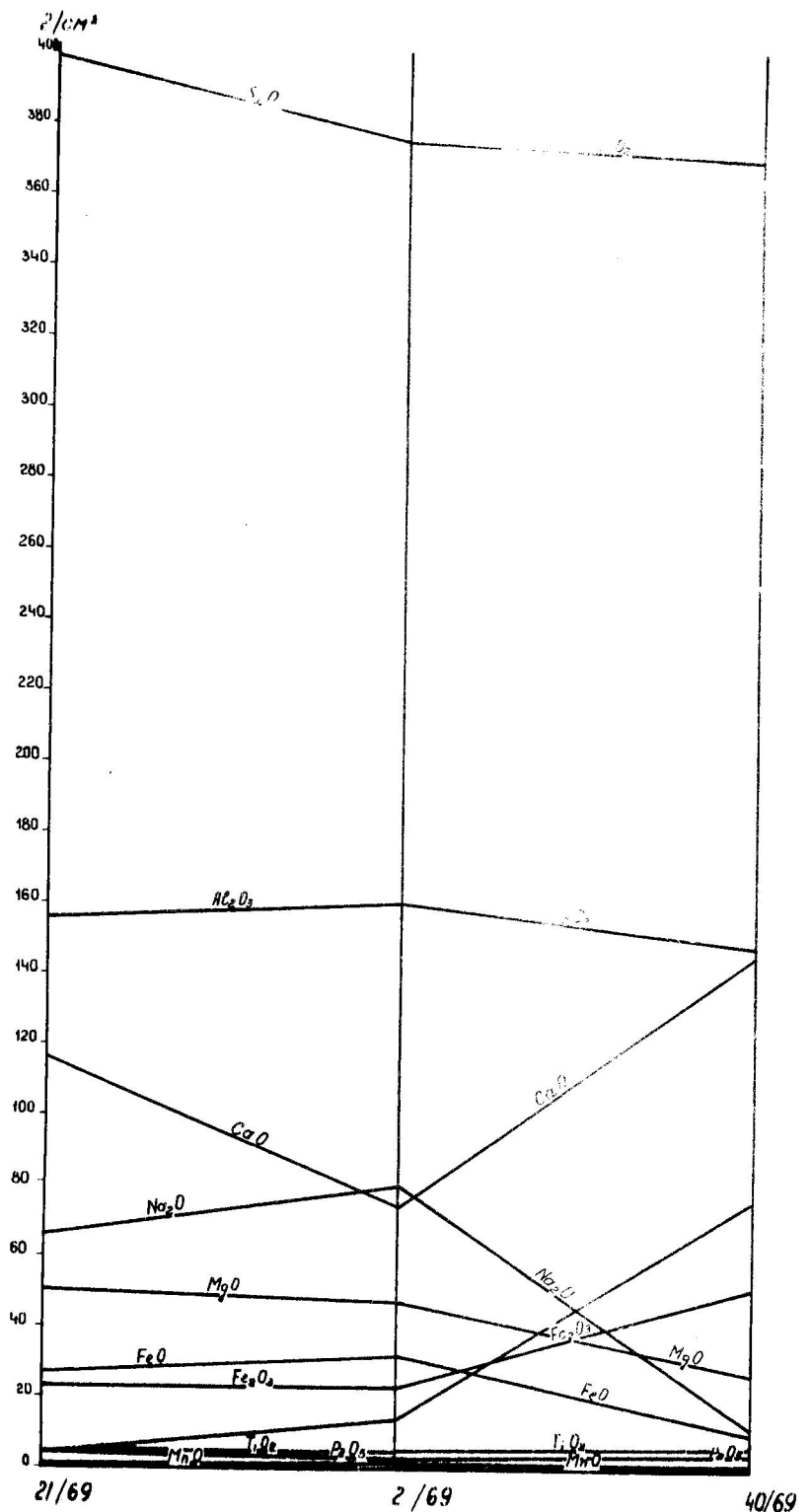


Рис. 17. График изменения содержания ведущих компонентов по методу Т. Барта.

21/69 — свежий диабаз-порфирит, 28/69 — пропилитизированный диабаз-порфирит, 40/69 — сколит-карбонатный

Изменение химического состава диабаз-порфирита в 12/70 с 21/69  
метасоматоза (по Наковнику)

Оксиды	Вес. %			Объемный вес, г/100 см³			Изменение содержания по сравнению с исходной породой		
	1	2	3	1	2	3	1	2	3
SiO₂	39,50	48,32	58,58	103,35	128,53	142,93	+25,18	+39,58	+24,3
TiO₂	1,06	0,98	1,01	2,77	26,0	2,46	-0,17	-0,31	-6,1
Al₂O₃	14,12	15,09	13,68	36,85	40,13	33,37	+3,28	-3,48	+8,1
Fe₂O₃	5,22	3,03	2,68	13,62	8,06	6,53	-5,56	-7,09	-40,3
FeO	2,58	4,98	2,16	6,73	13,24	5,27	6,51	-1,46	+96,7
MgO	6,21	0,11	0,08	0,55	0,29	0,19	-0,26	-0,36	-47,2
P₂O₅	7,08	7,73	3,74	18,48	20,56	18,86	+2,08	+0,38	+11,2
NdO	16,72	5,86	3,58	27,70	15,58	8,73	-12,12	-18,97	-43,7
CaO	2,13	2,43	0,85	5,55	6,46	2,07	+0,91	-3,48	+16,4
N₂O	3,66	1,51	5,43	9,55	4,02	13,25	-5,53	+3,70	-57,9
K₂O	9,93	6,95	5,70	25,91	18,91	13,90	-7,43	-12,01	-28,6
П.п.	0,54	0,63	0,86	1,41	1,67	2,10	+0,26	0,69	+18,4

Порода 1 (8/70) — слабоизмененный диабаз-порфирит, 2 (12/70) — заметно изме-  
ненный диабаз-порфирит, 3 (20/70) — метасоматит.

Объемный вес: 1 — 2,61; 2 — 2,66; 3 — 2,44.

Перечет анализа диабаза - порфирита по методу Барта

Образец № 1	Образец № 2					Образец № 3				
	Атомн. коля.	Атомн. вес.	Множе- ство-	К-коэф.- кислород-	Вес. %	Атомн. коля.	Атомн. вес.	К-коэф.- кислород-	Вес. %	Атомн. коля.
SiO <sub>2</sub>	39,90	65,9	24,7	2	14,18	303,8	48,32	80,4	38,3	2
TiO <sub>2</sub>	1,06	0,14	0,52	28	0,98	12	2	24	5	1,01
Al <sub>2</sub> O <sub>3</sub>	14,12	27,6	10,3	1,5	41,4	127	15,08	295	12,2	442,5
Fe <sub>2</sub> O <sub>3</sub>	5,22	6,8	24,7	1,5	98	30	9,03	38	1,58	1,5
MnO	3,38	36	1,38	1	36	16	4,98	70	2,91	1
P <sub>2</sub> O <sub>5</sub>	0,21	3	0,11	1	3	0,11	0,04	1	0	0,04
N <sub>2</sub> O	0,54	8	0,2	4,5	20	3	0,63	9	0,33	2,5
CaO	7,08	17,5	6,54	1	175	80	7,73	191	7,92	1
FeO	10,72	19,1	7,14	1	181	88	5,86	104	4,3	104
Na <sub>2</sub> O	2,13	6,8	2,54	0,5	34	31	2,43	78	5,2	39
K <sub>2</sub> O	3,66	7,7	2,83	0,5	38	35	1,51	32	1,3	0,5
MgO	9,33	11,00	41,15	1	1100	508	4,95	777	30,2	1
Σ <sub>元素</sub>	109,17	26,73	99,88		345,6	12,28	96,80	2410	98,78	3346
										1149
										38,89
										22,59
										19,06
										3733
										12,7

1-Пегматитовая амфиболитка 1600 : 0,402, фернита: K<sub>2</sub>Si<sub>3</sub>Na<sub>3</sub>Al<sub>2</sub>Ca<sub>8</sub>Al<sub>2</sub>Mg<sub>2</sub>O<sub>3</sub>(Fe<sub>2</sub>O<sub>3</sub>+FeO)Al<sub>2</sub>Si<sub>4</sub>O<sub>10</sub>(Fe<sub>2</sub>O<sub>3</sub>+FeO)Al<sub>2</sub>Si<sub>4</sub>O<sub>10</sub>(Fe<sub>2</sub>O<sub>3</sub>+FeO)Al<sub>2</sub>Si<sub>4</sub>O<sub>10</sub>(Fe<sub>2</sub>O<sub>3</sub>+FeO)
2-Непротонный амфиболитка 1600 : 0,479, фернита: K<sub>2</sub>Si<sub>3</sub>Na<sub>3</sub>Al<sub>2</sub>Ca<sub>8</sub>Al<sub>2</sub>Mg<sub>2</sub>O<sub>3</sub>(Fe<sub>2</sub>O<sub>3</sub>+FeO)Al<sub>2</sub>Si<sub>4</sub>O<sub>10</sub>(Fe<sub>2</sub>O<sub>3</sub>+FeO)Al<sub>2</sub>Si<sub>4</sub>O<sub>10</sub>(Fe<sub>2</sub>O<sub>3</sub>+FeO)Al<sub>2</sub>Si<sub>4</sub>O<sub>10</sub>(Fe<sub>2</sub>O<sub>3</sub>+FeO)
3-дигранитовый миократика 1600 : 0,478, фернита: K<sub>2</sub>Si<sub>3</sub>Na<sub>3</sub>Al<sub>2</sub>Ca<sub>8</sub>Al<sub>2</sub>Mg<sub>2</sub>O<sub>3</sub>(Fe<sub>2</sub>O<sub>3</sub>+FeO)Al<sub>2</sub>Si<sub>4</sub>O<sub>10</sub>(Fe<sub>2</sub>O<sub>3</sub>+FeO)Al<sub>2</sub>Si<sub>4</sub>O<sub>10</sub>(Fe<sub>2</sub>O<sub>3</sub>+FeO)
Литиевос.

K = 29  
Ca = 37  
Ti = 3  
Al = 16,2  
F = 2  
P = 46  
Mg = 79  
Si = 79  
P = C

Цинковос.

K = 15  
Si = 9  
Al = 16,2  
P = 2  
Mg = 36  
Ca = 36  
Al = 36  
F = 54  
P = 36  
Mg = 36

Перечет анализа диабаза - порфирита по методу Барта

Таблица 5

Образец	Образец № 21					Образец № 28					Образец № 40				
	Вес. %	Атомн. коля.	Атомн. коля.	Множе- ство-	Колич. электр. ионов	Вес. %	Атомн. коля.	Множе- ство-	Атомн. коля.	Вес. %	Атомн. коля.	Множе- ство-	Атомн. коля.	Множе- ство-	Атомн. коля.
SiO <sub>2</sub>	46,04	788	36,49	2	1598	399	46,10	768	32,18	2	1536	375	3,98	633	21,24
Al <sub>2</sub> O <sub>3</sub>	6,66	10	0,45	2	20	5	0,96	11	0,45	2	22	5	0,81	10	0,38
Al <sub>2</sub> O <sub>3</sub>	15,97	31,2	14,24	1,5	468	156	16,72	328	13,74	1,5	492	160	12,95	253	8,49
Fe <sub>2</sub> O <sub>3</sub>	3,73	6	2,10	1,5	69	23	3,84	48	2,01	1,5	72	23	7,06	8,8	2,95
FeO	3,97	55	2,5	1	55	27	4,80	67	2,80	1	67	32	1,34	18	1,5
MnO	0,10	1	0,04	1	1	0,5	0,17	3	0,12	1	1	0,16	3	0,1	1
P <sub>2</sub> O <sub>5</sub>	0,36	5	0,36	2,5	20	4	0,58	8	0,33	2,5	20	3	0,64	8	0,28
CaO	4,05	86	4,52	1	99	50	3,96	97	5,04	1	97	47	1,90	47	1,6
CaO	13,26	232	10,59	1	232	116	8,66	153	6,41	1	153	74	13,95	248	8,3
SiO <sub>2</sub>	4,13	13,2	6,0	0,5	66	66	5,17	164	6,87	0,5	82	80	0,62	20	0,6
K <sub>2</sub> O	5	0,30	0,5	4	4	3,36	28	1,21	0,5	145	14	0,11	130	4,3	0,5
Σ <sub>元素</sub>	4,66	455	22,27	1	488	244	0,41	710	29,75	1	710	352	13,88	1522	51,0
C <sub>2</sub> H <sub>5</sub>	26,41	21,50	99,86		3120	1094,5	6,43	2386	100,91		32,68	1166	92,98	2880	98,77

21 - Первоводный микожитель 1600 : 3120 = 0,5

формула: K<sub>4</sub>Na<sub>6</sub>Mg<sub>5</sub>P<sub>4</sub>Mn<sub>0</sub>(Fe<sup>2+</sup>+Fe<sup>3+</sup>)<sub>5</sub>Al<sub>15,6</sub>Ti<sub>5</sub>Si<sub>39,9</sub>(H<sub>13</sub>Si<sub>3</sub><sup>+</sup>OH<sub>244</sub>)

28 - Первоводный микожитель 1600 : 3268 = 0,489

формула: K<sub>4</sub>Na<sub>8</sub>Ca<sub>7,4</sub>Mg<sub>3</sub>P<sub>3</sub>Mn<sub>1</sub>(Fe<sup>2+</sup>+Fe<sup>3+</sup>)<sub>5</sub>Al<sub>16,0</sub>Ti<sub>5</sub>Si<sub>37,5</sub>(H<sub>12</sub>Si<sub>3</sub><sup>+</sup>OH<sub>35,0</sub>)

40 - Первоводный микожитель 1600 : 3530 = 0,5

формула: K<sub>7,6</sub>Na<sub>11</sub>Ca<sub>14,5</sub>Mg<sub>27</sub>Mn<sub>10</sub>P<sub>4</sub>(Fe<sup>2+</sup>+Fe<sup>3+</sup>)<sub>6,1</sub>Al<sub>14,8</sub>Ti<sub>5</sub>Si<sub>37,0</sub>(H<sub>7,10</sub><sup>+</sup>OH<sub>59,0</sub>)Л. выносK = 10  
Na = 1,4  
Mg = 0,5  
Ca = 42  
Si = 24Al = 4  
OH = 23  
Mn = 9,5Fe+Fe<sup>2+</sup> = 5  
Al = 4  
OH = 646  
Al = 8Si = 29  
Mg = 23  
Al = 8

Таблица II

**Физико-механические свойства  
и химический состав  
окисляющих пород**

№ образца	Название породы	Объемн. вес, г/см <sup>3</sup>	Эффект. пористо- стей, %	E 10 <sup>5</sup> кг/см <sup>2</sup>	G 10 <sup>5</sup> кг/см <sup>2</sup>	ε
1	Порфирит карбонатизированный	2,44	6,85	3,18	1,26	0,31
8	Порфирит	2,58	1,44	3,13	1,18	0,37
9	Известняк органогенный	2,52	14,37	1,49	0,50	0,22
12	Порфирит хлоритизированный	2,57	4,73	3,05	2,11	0,27
17	Порфирит карбонатизированный	2,53	3,19	3,54	1,78	0,26
20	Диабаз-порфирит карбонатизированный	2,54	3,58	2,73	0,51	0,13
34	Известник	2,93	2,10	-	-	-
45	Известняк хлоритизированный	2,37	4,31	3,49	0,92	0,36
50	Порфирит сколитизированный	2,52	4,31	3,58	1,29	0,07
74	Известник органогенный	2,56	3,73	4,44	1,80	0,20
79	То же	2,56	1,05	-	-	-
86	"	3,17	8,34	5,65	2,23	0,22
87	"	2,61	3,24	4,75	2,15	0,13
88	"	2,40	0,89	2,40	0,94	0,24
91	"	2,54	1,98	-	-	-
93	"	2,44	3,81	3,30	1,20	0,38
94	Известняк органогенный окварцованный	2,41	5,11	5,32	2,67	0,15
96	То же	2,56	1,13	3,79	1,46	0,38
98	"	2,63	0,69	3,41	1,61	0,32
99	"	2,61	1,04	-	-	-
102	"	2,52	0,93	6,02	2,50	0,18
108	"	2,64	1,82	7,01	3,02	0,42
114	Известняк	2,62	0,96	-	-	-
116	То же	2,63	1,10	-	-	-
121	"	2,58	0,84	-	-	-
125	"	2,57	1,20	-	-	-
128	"	2,53	0,68	-	-	-
130	"	2,50	1,05	-	-	-
K-15	Известняк карбонатизированный	3,17	8,34	6,09	2,51	0,24
B-1	Кварцевый порфирит	2,58	1,68	6,50	2,60	0,37
B-2	То же	2,62	0,81	5,08	2,22	0,28

и ЮВ 165–170°, ↘ 70°. Третье тело вскрыто скважиной № 36 в глинисто-песчанистых отложениях келловей-оксфорда.

Околорудное изменение проявлено довольно слабо и выражено лишь в перекристаллизации карбоната с последующим его окиснением.

Проведенные исследования трещинной тектоники данного участка позволили О.Н. Мачавариани (1972) заключить, что свинцово-цинковое оруденение Эрцойского рудного поля пространственно приурочено к трещинам скальвания, сопряженным с Эрцо-Кемультинской антиклиналью и Алхашендской синклиналью; с трещинами кливажа осевой плоскости, сопряженными с Эрцо-Кемультинской антиклиналью, а также наложенными на складчатость трещинами скальвания, сопряженными с разрывными нарушениями.

По минеральному составу рудопроявление представляет зону окисления свинцово-цинковых руд, в которых, по данным Н.В. Нижарадзе (1962), рудообразующими являются галенит, сфалерит, пирит, мельниковит-марказит, марказит, халькопирит, гематит, кальцит, анкерит, сидерит, халцедон, кварц; вторичные – церуссит, смитсонит, англезит, лимонит, гетит, гидрогетит, лепидокрокит.

Морфо-структурные особенности рудных тел, минеральный состав и околорудные изменения дают основание считать, что оруденение близповерхностное–низкотемпературное.

**Рудопроявление Хихата.** Оруденение приурочено к центральной части Тельнари-Рибисской синклинали, сложенной верхнеюрскими известняками. По А.М. Хабалову (1968), на участке рудопроявления установлены две разновозрастные группы нарушения: сопряженные со складчатостью и постскладчатые. К первой он относит субпараллельные разрывные нарушения, перпендикулярные оси складки, с азимутом простирания 200–210° и падением на СЗ под углом 60–65°. Породы вмещающие разрывные нарушения, сильно доломитизированы и содержат вкрапленность средне и крупнокристаллического сфалерита, реже пирита и галенита.

Самое крупное постскладчатое нарушение – Хихатинский разлом, простирающийся на юго-восток с падением на ЮЗ под углом 70–80°.

Рудные тела представляют собой минерализованные участки зон брекчирования перекристаллизованных, окварцованных и кальцитизированных известняков с густой вкрапленностью и прожилками галенита, сфалерита, пирита и кальцита. Содержание свинца – 0,5–4%, цинка 0,04–0,4%, меди – десятые доли процента.

В западной части рудопроявления, на склоне г. Хихата обнажаются интенсивно окремненные известняки с вкрапленниками галенита, кристаллы которого размером от 0,3 × 0,3 до 1,5 × 1,5 см и более. Редко присутствуют и пирит, сфалерит, халькопирит.

**Рудопроявление Сохта.** В гидротермально измененных песчаниках лейаса, в северном крыле Сохта-Лесевской антиклинали встречаются маломощные (0,1 м) кальцитовые жилы с свинцово-цинковым оруденением, развитые в осевой плоскости трещин кливажа (Мачавариани, 1972). Первичные минералы представлены сфалеритом, галенитом, пиритом, халькопиритом, арагонитом, кальцитом и кварцем; церуссит представлен в качестве вторичного минерала.

В рудовмещающих породах свинцово-цинковой формации установлены марганец – 0–1%, никель – 0,001–0,0001%, кобальт – 0,001–0,0001%, медь – 0,01–0,001%, молибден – 0,001–0,0001%,

свинец –  $0,000\text{p}\%$ , цинк –  $0,0\text{p}\%$ , галлий –  $0,000\text{p}-0,000\text{p}\%$ , скандий –  $0,00\text{p}\%$ , ванадий –  $0,0\text{p}-0,00\text{p}\%$ . По трем спектральным пробам (45/70, 48/70, 1/73) из палеогеновых известников обнаружены: марганец –  $0\text{p}\%$ , никель –  $0,00\text{p}\%$ , кобальт –  $0,00\text{p}-0,000\text{p}\%$ , медь –  $0,00\text{p}\%$ , свинец –  $0,00\text{p}\%$ , цинк –  $0,0\text{p}\%$ .

### Барит–полиметаллическая формация

В этой формации объединяются следующие месторождения и проявления: Скаты–ком, Раздаран–ком, Телнари, Донджин, Мирткаджин, Эрцо, Котанто, Сохта, Абано, Форджи–дон, Джала–бети, Синагури, Карэмани, Мухавари, Гадегина, Телегина, Пуч–нари, Дзагина.

Месторождение Скаты–ком – самое крупное. Описание его приводим по Т.В. Иваницкому (1963) и Г.П. Барсанову (1937). Месторождение приурочено к южному крылу Цедиси–Ахсарджинской антиклинали и сложено различными порфиритами, туфобрекчиями, микротуфобрекчиями и туфами, чередующимися между собой, а также альбитофирами, диабазовыми порфиритами и плотными мелкозернистыми олигоклазовыми порфиритами.

Рудоммещающими являются гидротермально измененные порфириты. Жила четковидной формы близширотного простирания. Азимут падения СВ  $20^\circ$ ,  $< 50-80^\circ$ . Основная масса рудного тела представлена кварцем, кальцитом и глинообразными продуктами разрушения алюмосиликатов.

На месторождении выделяются следующие оклорудные изменения: карбонатизация, окварцевание (силификация), серицитизация, хлоритизация.

Карбонатизация выражена в образовании многочисленных разноориентированных прожилок кальцита в безрудных участках зоны. Кроме того, карбонат развивается по плагиоклазу и пироксену.

Силификацией туфо–порфириты превращены во вторичные кварцитоподобные породы. Этот процесс всегда предшествует карбонатизации.

По текстурам выделяются следующие типы руд: массивная метаморфизованная руда, сложенная в основном из свинцовидного агрегата галенита, брекчевидная руда и прожилково–вкрашенная руда, наблюдающаяся в призальбандовых частях рудного тела.

Из минералов в состав руды входят гипоточиты – галенит, сфалерит, пирит, халькопирит, андорит, магнетит, карбонат, хальцедон, кварц, серицит, хлорит, минералы группы каолина, эпидот-

циозит, барит; супергенные – церуссит, смитсонит, англезит, халькоzin, ковеллин, лимонит, крокоит. Среднее содержание свинца 5, цинка – 2%.

Рудопроявление Раздаран–ком. На месторождении рудоммещающими являются авгит–плагиоклазовые порфириты, которые сильно кальцитизированы, силифицированы, хлоритизированы, серицитизированы и пиритизированы. Оруденение представлено рудными зонами и отдельными жилами. Рудные зоны представлены гидротермально измененными порфиритами с вкрапленностью сфалерита и галенита. Простижение зон широтное, падение южное под углом  $50-60^\circ$ . В одном случае падение зоны вертикальное. Они прослеживаются по простиранию на 150 м и по падению на 50 м. Средняя мощность зон варьирует от 0,2 до 3 м. Содержание свинца и цинка от следов до нескольких процентов.

Рудные жилы с падением на северо–восток  $35-45^\circ$  прослежены по простиранию на несколько десятков м, при мощности 0,1–0,4 м. Жилы состоят из галенита, сфалерита, халькопирита, пирита тетраэдрита, кварца, карбоната; из супергенных присутствуют гидроокислы железа, малахит, азурит, англезит и церуссит.

Рудопроявление Тельнари приурочено к сводовой части Чордско–Сохтинской антиклинали. Участок сложен песчаниками и глинистыми сланцами верхнего лейаса, вмещающими мощную лайку альбитофира. Оруденение в основном локализовано в дайке альбитофира; оно представлено кальцит–барит–полиметаллическими маломощными (до 0,3 м) жилами с субширотным простиранием и падением на юг под углом  $85^\circ$ . Обогащенные участки, по М.Н. Джапаридзе, приурочены к изгибам рудоносных трещин. Околорудные изменения – хлоритизация, серицитизация, карбонатизация, баритизация. Руды симметрично–полосчатые, друзовые и прожилковые. Рудослагающие минералы – галенит, сфалерит, халькопирит, барит, кальцит. Свинец содержится в среднем в десятых долях процента.

Рудопроявление Мирткаджин приурочено к зоне смятия в пегматитовых порфирах и их туфах. Зона, прослеженная по простиранию до 2 км, небольшой мощности (0,2 м), падает на юго–шиад под углом  $50-75^\circ$ . Отдельные жилки достигают мощности 10–18 см. Околорудное изменение представлено окварцеванием, серицитизацией, хлоритизацией, пиритизацией. Руды, состоящие из сфалерита, галенита, пирита, халькопирита, кварца, кальцита, лимонита, церуссита, гипса образуют массивные и вкрапленные текстуры. Среднее содержание свинца 0,1%, цинка – 0,55%.

Рудопроявление Донджин. Оруденение приурочено к плагиоклазовым порфиритам и представлено минерализованной зоной

протяженностью по простиранию 150–200 м и мощностью 20–70 см. В пределах зоны встречаются жилообразные рудные тела длиной 10–20 м. Падают они на юг под углом 60–70°. Околорудное изменение – окварцевание, серицитизация, хлоритизация, пиритизация. Руды имеют массивные и вкрапленные текстуры и состоят из пирита, галенита, сфалерита, халькопирита, кварца. Среднее содержание свинца – 0,4–2,5%; цинка – 1,7%.

Рудопроявление Джалаутское. В порфиритовой свите байоса наблюдаются кальцит–полиметаллические прожилки мощностью 0,01–0,06 м. Рудные минералы представлены вкрапленниками галенита, сфалерита и пирита.

Рудопроявление Синагури находится в пиритизированных плагиоклазовых порфириях байоса. Оруденение представлено полиметаллическими жилками мощностью до 20 см. Прослеживаются на 15 м. Химическим анализом установлены следы золота.

Рудопроявление Карэмани приурочено к порфиритовой свите байоса. Здесь известны две рудные зоны, содержащие четыре оруденелые жилы мощностью 0,01–0,56 м и прослеживающиеся на 5–35 м. Оруденение в виде вкрапленников, гнезд и линз, представлено пиритом, арсенопиритом, сфалеритом, галенитом, халькопиритом, теннантитом, кварцем, кальцитом. Околорудное изменение – окварцевание и пиритизация. Содержание свинца от следов до 0,5 и 24,73%, цинка – от 0,3 до 8,25%, меди – от 0,07 до 0,91%.

Рудопроявление Дзагина. В порфириях, туфах и туфобрекчиях байоса проявлены 5 рудоносных зон (рис. 18). Самая мощная из них простирается близмеридионально, достигая иногда 5–7 м мощности. Она сложена перемятыми, брекчированными породами байоса с вкрапленно–прожилковым оруденением. В пределах зоны наблюдаются маломощные жилы (0,1–0,35 м), прослеживающиеся по простиранию на 3–25 м. Околорудное изменение – карбонатизация, хлоритизация, каолинизация, серицитизация, окварцевание. Минеральный состав руды: сфалерит, галенит, пирит, халькопирит, кварц, карбонат, барит. Среднее содержание свинца 1,5%, цинка – 6,5%, меди – 0,4%.

Рудопроявления Мухавари, Пучнари, Гадегина и Телегина. Они представляют собой маломощные (0,05–0,5 м) оруденелые зоны и жилы, расположенные в порфиритовой свите байоса. Оруденение присутствует в виде жилок, вкрапленников и примазок сульфидов свинца и цинка. Среднее содержание металла – десятые доли процента.

В вмещающих барит–полиметаллическую формацию породах спектральными анализами установлены: никель – 0,00n–0,000n%,

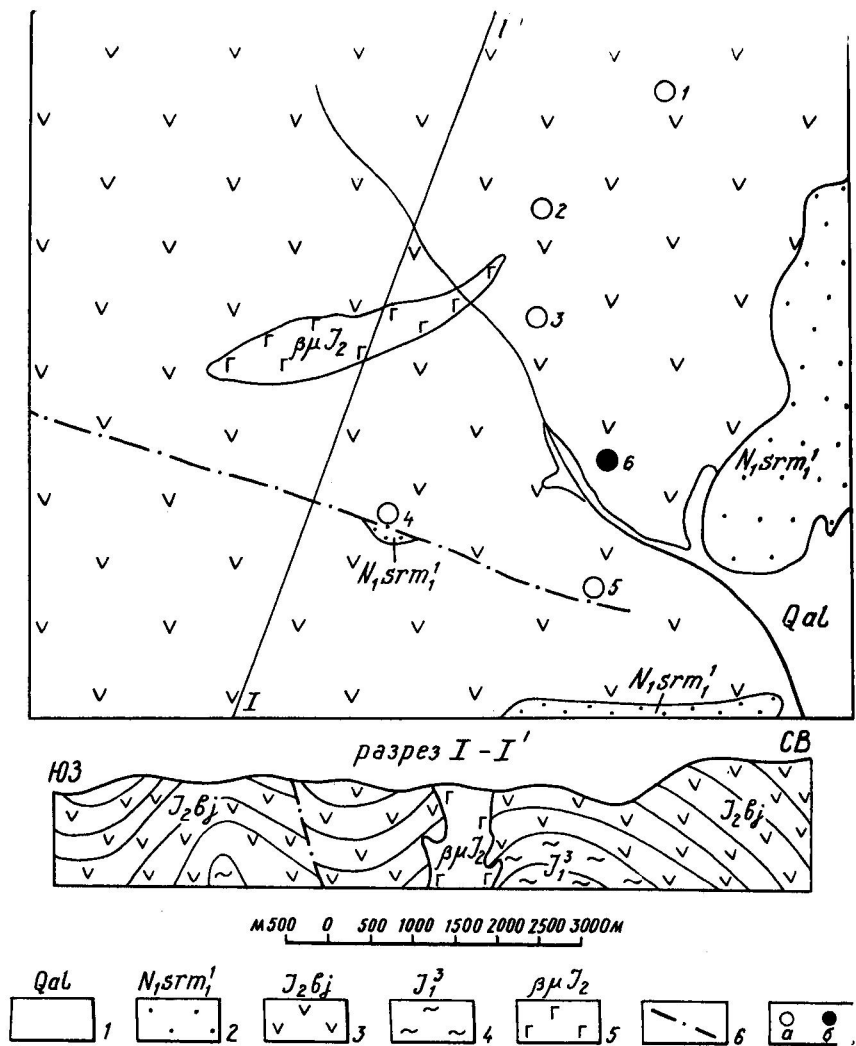


Рис. 18. Схема Дзагинского рудного поля.

1 – аллювий, 2 – песчаники и глины, 3 – порфирии, 4 – известняки, 5 – диабазы, 6 – разрывы, 7 – рудопроявления: а) барит–полиметаллические: 1 – Телегина, 2 – Гадегина, 3 – Мухавари, 4 – Пучнари, 5 – Дзагина; б) железо–марганцевые: 6 – Тбети.

кобальт - 0,00n-0,000n%, медь - 0,0n-0,000n%, молибден - 0,0n-0,0n%, свинец - n-0,000n%, цинк - n-0,000n%, галлий - 0,00n-0,000n%, олово - 0,000n-0,0n%, ванадий - 0,0n-0,001n%.

### Барит-кальцитовая формация

В барит-кальцитовой формации Юго-Осетии объединяются месторождения Каута, Ахсарджин, Квайса, Жордана-хок, Мирткаджин и Буба.

Каута (Хардисара). Месторождение расположено в туфобрекчиях и туфах авгит-плагиоклазовых порфиритов и узле сопряжения синклинали Ири-Варажком с Хардисхар-Эрцойской антиклиналью и Валь-хокской синклиналью. Оруденение приурочено к крупному разрывному нарушению юго-восточного простирания ( $100-110^\circ$ ) с падением на северо-восток  $10-20^\circ$ ,  $\angle 50-85^\circ$ . Этот разлом прослеживается в виде мощной 20-50-метровой зоны дробления, вдоль которой эфузивные породы хлоритизированы, окварцированы, баритизированы и карбонатизированы со спорадической вкрапленностью пирита и многочисленными прожилками барита и кальцита. "Главная" жила Хардисарского месторождения приурочена к месту изгиба рудовмещающего разлома в плане и по падению. Максимальная мощность - 11,6 м на участках наименьшего угла падения ( $50-60^\circ$ ) уменьшается до 0,3-0,6 м на флангах и нижних горизонтах, где угол падения разлома увеличивается до  $85^\circ$ . По простиранию жила прослежена на 400 м, а по падению на 150-200 м. На флангах жила выклинивается, и далее разлом прослеживается в виде баритизированной зоны с содержанием  $\text{BaSO}_4$  до 60%.

Месторождение Квайса. Баритовые залежи Квайсинского месторождения пространственно обособлены от свинцово-цинковых руд, но размещаются во внутренней части Квайсинской зоны разломов в виде узкой полосы субширотного простирания, ориентированной под острым углом к Северному и Южному Квайсинским разломам, вмещающим свинцово-цинковую руду (рис. 19).

Верхнеквайсинское баритовое тело столбообразной формы с сечением  $1,0-8,0 \times 10,0-118,0$  м; падает на юг под углом  $50-60^\circ$  с четко выраженным юго-восточным склонением под углом  $25-30^\circ$ . Оно локализуется в зоне брекчирования (мощность до 25 м) хлоритизированных, пиритизированных и баритизированных эфузивных пород, местами содержащих вкрапленность и прожилки галенита и сфалерита. С запада рудное тело ограничено попечным к Квайсинской зоне разломом, падающим на северо-восток под углом  $80-85^\circ$ .

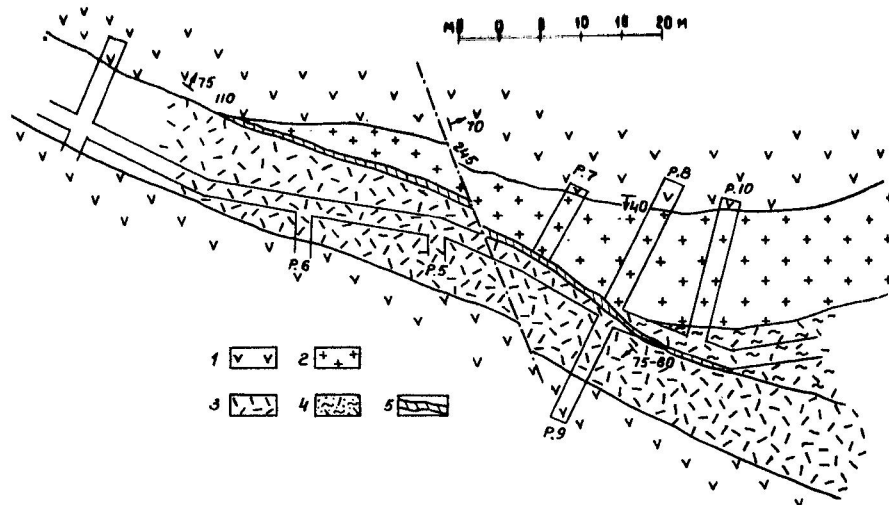


Рис. 19. Горизонтальная проекция восточного штрека штольни 16 (по Т.В. Иваницкому)

1 - вмещающие породы байоса, 2 - баритовая жила, 3 - сильно измененная рассланцовавшаяся и оглинившаяся гидротермально переработанная масса, 4 - измененные вмещающие породы с вкраплениями и прожилками сфалерита и галенита, 5 - тектоническая глинка с плоскостями скольжения.

Баритовая залежь "Новая" обнажена на горизонте штольни 6. Она локализуется в разломе субширотного простирания, падающем на северо-запад под углом  $80-85^\circ$ . Вмещающие породы рассланцоваваны и хлоритизированы. Особенно интенсивна раздробленность лежачего зальбанда.

Ахсарджинское проявление барита находится в северном крыле Цедиси-Ахсарджинской антиклинали среди туфогенных пород порфиритовой свиты. Здесь прослеживается гидротермально измененная зона с мелкими прожилками барита, кварца и кальцита.

Жорданхокское проявление барита залегает в северном крыле Жордано-хок Эрцойской антиклинали, разорванной Скатыком-Варажкомским разрывом, к которому приурочены три параллельные баритовые жилы с падением на СВ  $10-30^\circ$ ,  $\angle 50-70^\circ$ . Эти жилы прослежены на 20-40 м по простиранию. Мощность их колеблется в пределах 0,25-0,9 м. Барит розовато-белого цвета, таблитчатого строения. Содержание  $\text{BaSO}_4$  колеблется от 20 до 95,6%.

Рудопроявления Мирткаджин и Буба локализуются в узле сопряжения синклинали Ири-Варажком с Хардисар-Эрцойской антиклиналью и Вальхокской синклиналью. Этот узел сложен туфобрекчиями и туфами авгит-плагиоклазовых порфиритов, прорван-

ных двумя штокообразными телами и дайками кварцевых и бескварцевых альбитофиров. Среди туфогенных пород наблюдается гидротермально измененная оглинившаяся зона (мощность около 3 м) с крупными гнездами чистого барита.

Рудопроявление Варах-ком. Рудопроявление приурочено к крутопадающему разлому, проходящему в южном крыле Цедиси-Ахсарджинской антиклинали, сложенной породами порфиритовой свиты байоса, рассеченными дайками альбитофиров. Зона разлома, прослеженная на 2 км мощностью от 3 до 15 м, представлена интенсивно хлоритизированными и оглинизованными породами, включающими барит-кварцевые гнезда размером до 0,3 м в перечнике с вкрапленностью галенита и марказита. Мощность рудной зоны 1–3 м, с содержанием свинца от следов до 5,71%, цинка – от следов до 2,02% и барита – от следов до 57%.

#### Железо-марганцевая низкотемпературная формация

Рудопроявления этой формации в Юго-Осетии встречаются крайне редко и в ничтожных размерах. Они однотипны с Цедисским рудопроявлением, расположенным в северо-западной части изученного района.

Цедисское железо-марганцевое рудопроявление расположено в 3 км северо-восточнее с. Цедиси на южном склоне г. Велуанта. Район месторождения сложен темно-серыми глинистыми сланцами и песчаниками сорской свиты, обнажающейся в северной части Цедисско-Ахсарджинской антиклинали. Глинистые сланцы с угловым несогласием перекрываются порфиритовой свитой байоса, массивными известняками верхней юры, слоистыми известняками мела и эоценовыми отложениями. Железо-марганцевое оруденение приурочено к контакту известняков с порфиритовой свитой байоса, заполняя трещины и карстовые пустоты в известняках и образуя жилы, линзы и гнездообразные залежи небольших размеров (обычно измеряемых единичными метрами, реже больше). Руда массивная, черного или буровато-красного цвета. Общий минеральный состав руды следующий: гаусманит, браунит, магнетит, гематит, пирит, марказит, пирротин, кварц, халцедон, родохрозит, кальцит; вторичные – псиломелан, раньсит, гетит, гидрогематит, вернадит, шамозит. Вмещающие породы гидротермально изменены – хлоритизированы и карбонатизированы; местами сопровождаются дорудным пиритом. Месторождение гидротермальное, низкотемпературное, образовалось вблизи земной поверхности в условиях высокого потенциала кислорода, способствовавшего образованию гематита и четырехвалентных соединений марганца – гаусманита и браунита (Загю, 1963). Восходящие растворы обогащались за счет выщелачивания подстилающих вулканогенных толщ (Амелиани, 1958).

Эндогенное оруденение в дальнейшем претерпело супергенное изменение и частичное инфильтрационное переотложение в карстовых пустотах.

Аналогичные рудопроявления известны также близ с. Часавали в контакте известняков с мелафирами, на южном склоне Уквилиста, а Варахкомское и Вальхахское проявления – на склонах одноименных гор. Оруденение приурочено к порфиритовой свите байоса и верхнеюрским известнякам. Проявления красного железняка встречаются также у вершин Сирх-Леберта, Ахалшенда и Дагверула, а также в местности Тбети, близ с. Дзагина. Все перечисленные рудопроявления незначительных размеров и практического значения не имеют.

Во вмещающих породах железомарганцевой формации (рудопроявление близ с. Часавали – 4 пробы) спектральными анализами установлены: никель – 0,000n%, кобальт – 0,000n–0,n%, медь – 0,000n%, молибден – 0,000n–0,n%, свинец – 0,000n%, цинк – 0,00n–0,n%, галлий – 0,000n–0,n%, ванадий – 0,00n–0,000n%.

#### Кварцево-рутутно-мышьяковая формация

Кварцево-рутутно-мышьяковая формация представлена ртутными рудопроявлениями Эрцо, Кемульта, Замтарети и мышьяковыми проявлениями Сохта, Хампалгом, Кешельта, Ацрис-хеви.

Рудопроявление Эрцо. Проявление ртути представлено двумя рудоносными зонами, расположенными в породах порфиритовой свиты байоса и известняков верхней юры в северном крыле Алхашендской синклинали (рис. 20). Первая из них образует брекчийевую зону, в которой обломки известняка скементированы глинистой массой с вкрапленниками, прожилками и гнездами киновари. Зону ограничивают плоскости, падающие в северо-западной части участка на ЮЗ 210°, под углом 60–70°, а в юго-восточной части – на СВ 40–50°, под углом 60–65°. На горизонте штольни № 29 зона как бы разбита на две части – у лежачего пальбанда оруденение ртутное (мощность до 3,5 м), а у висячего зальбанда – свинцово-цинковое (мощность 2 м).

Интересная картина наблюдается и на горизонте штольни № 28, где рудная зона заключена между тектоническими плоскостями, падающими на ЮЗ 240°,  $\angle 30^\circ$  и СВ 10°,  $\angle 80^\circ$ . Здесь содержание свинцово-цинкового оруденения увеличивается в крутопадающей трещине, тогда как вблизи пологопадающей она отсутствует.

Вторая зона прослежена в штольне № 44. Мощность ее до 1 м. Она ограничена разрывом, падающим в северо-западной части на СЗ 210°,  $\angle 65^\circ$ , а в юго-восточной на СВ 30°,  $\angle 65–80^\circ$ . Вмещающие породы оглинины и карбонатизированы.

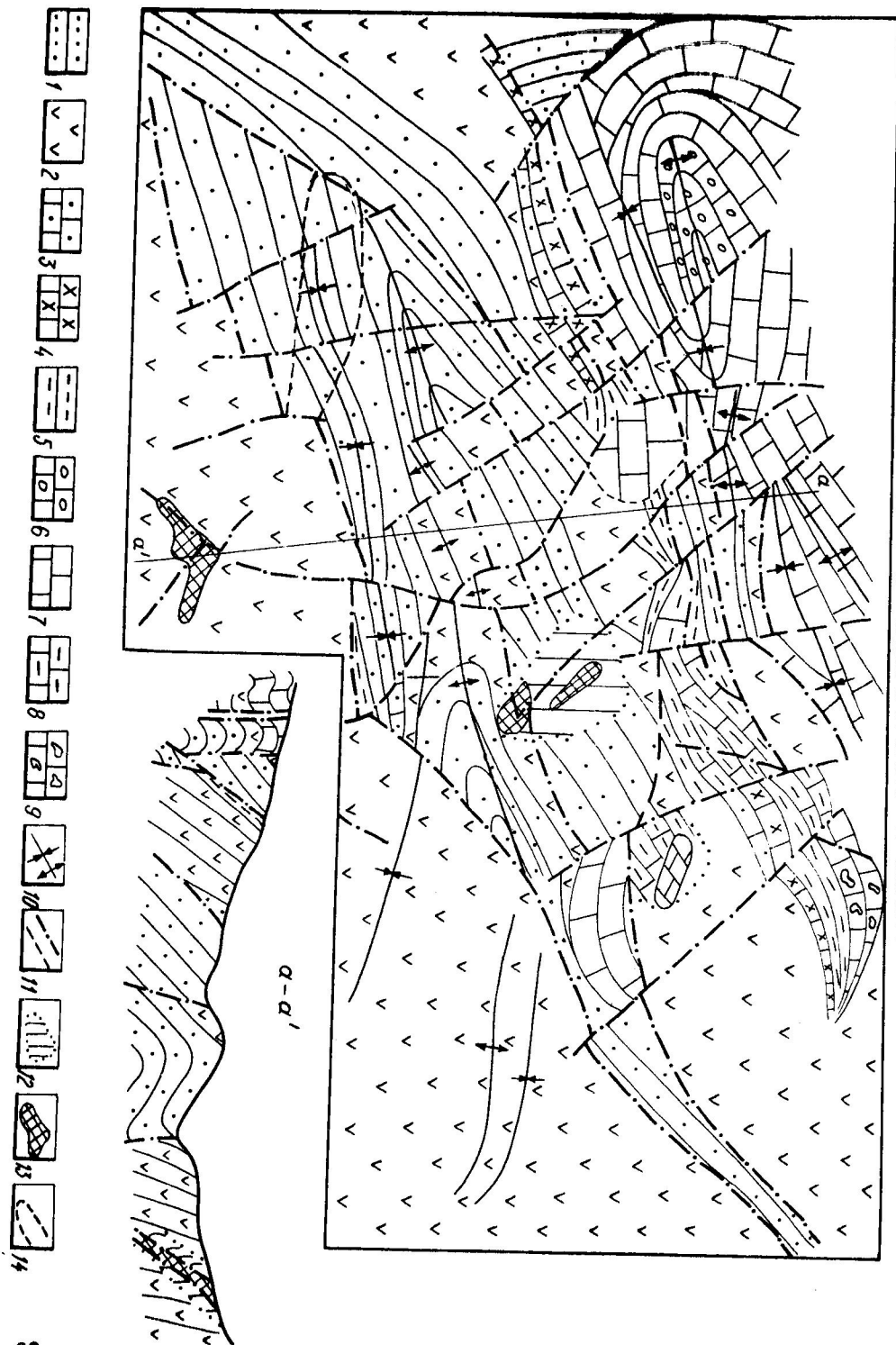


Рис. 20. Структурно-литологическая схема Сохта-Абанойского мышьякового рудного поля (по О.Н. Мачавариани).

1 – глинисто-песчанистые образования верхнего лейса, 2 – вулканогенные образования байоса, 3 – карбонатные песчаники келловея, 4 – массивные коралловые известняки оксфорда, 5 – мелкогалечные конгломераты и песчаники оксфорда, 6 – оолитовые известняки кимериджа, 7 – мергели, песчаники и известковистые песчаники кимериджа, 8 – песчанистые известняки эоцена, 9 – нуммулитовые известняки эоцена, 10 – оси складок, 11 – разрывные нарушения, установленные и предполагаемые, 12 – гидротермально измененная зона, 13 – мышьякосодержащие оруденельные зоны, 14 – проявления мышьяка.

Анализ материала позволил О.Н. Мачавариани (1972) заключить, что для локализации киноварного оруденения самыми благоприятными являются трещины, отвечающие кливажу осевой плоскости, за ними идут трещины отрыва и скальвания – сдвиговые и надвиговые.

Минеральный состав Эрцойского ртутного оруденения довольно прост. Из гипогенных присутствуют: киноварь, пирит, марказит, халькопирит, гематит, кальцит, кварц, анкерит; гипергенные: гидрогематит, гидрогетит, гетит, лимонит. Содержание ртути – от следов до 0,12%.

**Кемульгинское проявление ртути.** В крыльях Эрцо-Кемульгинской антиклинали и известняках верхней юры выделяются три зоны с повышенной трещиноватостью, к которым приурочены прожилки, гнезда и вкрапления киновари. Первая из них прослежена по простиранию почти на 200 м, шириной 150 м; протяженность штокверковых тел в зоне 30–40 м, а ширина от нескольких сантиметров до 3 м. Остальные две расположены юго-восточнее предыдущей, однотипны, но меньших размеров. Из гипогенных минералов здесь присутствуют: киноварь, пирит, марказит, халькопирит, гематит, кварц, кальцит, анкерит; гипергенные гидрогематит, гидрогетит, гетит, лимонит. Следует отметить, что в этом же районе в 1,5 км северо-западнее с. Нижняя Кемульта (участок Переши) Юго-Осетинским геологопоисковым отрядом была пробурена скважина № 1 глубиной 670 м. Основанием для заложения скважины послужили благоприятные литологические условия и наличие киновари в шлихах, первичные ореолы ртути, свинца и меди.

В интервале от 68 до 83 и от 138 до 184, 7 м в известняках верхней юры скважиной были установлены пестрые по-

чаники и глины с тонкими прослойками гипса. На ЭИР проб, взятых на этих участках, лишь в четырех было установлено содержание ртути от  $5 \cdot 10^{-3}$  до  $6 \cdot 10^{-5}\%$ . В других пробах по всей скважине ртуть, свинец и цинк отсутствуют.

Замтаретское проявление ртути. В верхнемеловых карбонатных флишевых отложениях выделяется минерализованная зона близширотного простираия длиной 1,2 км мощностью до 50 м. Она представлена перемятыми и гидротермально измененными известняками, аргиллитами и песчаниками. На глубине эта зона была изучена штольнями, из которых повышенное содержание ртути было лишь в штолльне № 1. В этой штолльне на 24 метре в красных известняках свиты маргалитис-клде вскрыта линза размером 1,2 x 0,5 м накритизированного известняка с вкрапленниками киновари и беспорядочно ориентированными мелкими прожилками кальцита. Содержание ртути 0,1-0,94%.

На контакте свит маргалитис-клде и ананурской в штолльне была вскрыта брекчированная зона (мощность до 0,5 м) северо-восточного простираия. В глинах, цементирующих обломки аргиллитов и известняков, встречаются мелкие гнезда и вкрапленники киновари. Содержание ртути - от 0,07 до 1,39%.

Околорудное изменение - окварцевание. Здесь среди гипогенных минералов наблюдаются: киноварь, пирит, марказит, халькопирит, кальцит. Вторичные - гидрогетит и лимонит. Заканчивающая описание ртутных проявлений следует отметить, что юго-осетинским геологопоисковым отрядом в течение последних лет были произведены работы в районе с. Джава, где скважиной № 1 были вскрыты песчаники с прожилками кальцита. Спектральным анализом установлено ртуть  $5 \cdot 10^{-5}\%$ , свинец  $-2 \cdot 10^{-2}\%$ , медь  $-2 \cdot 10^{-2} - 8 \cdot 10^{-3}\%$ . Юго-Осетинским ГПО произведено шлиховое опробование и лишь в некоторых местах получены относительно положительные результаты (Навис-Хеви, Саритата). В шлихах, кроме киновари, встречены галенит, сфалерит, халькопирит, пирит, барит, рутил, апатит, хромит.

Сохтинское проявление мышьяка. В близсводовой части Сохта-Лесорской антиклинали, сложенной туфобрекчиями байоса, обнажается штокверковое рудное тело, сложенное кальцит-реальгаровыми и реальгаровыми прожилками. Наиболее богатый участок приурочен к месту пересечения субширотного и субмеридионального разрыва. Как указывает О.Н. Мачавариани, благоприятными для локализации мышьяковых руд оказались трещины отрыва, сопряженные со складчатостью (наплощущие на СВ 15°,  $\angle 50^\circ$  и ЮВ 130-160°,  $\angle 10-20^\circ$  и наложенные на складчатость и падающие на СВ 70°,  $\angle 25-30^\circ$ ). Мощность рудных тел иногда достигает 0,65 м и прослеживается на 10-15 м, а отдельных рудных прожилков - до 5 см.

## 63

Таблица 7  
Физико-механические свойства рудовмещающих пород мышьякового проявления Замтарети

№ образца	Название породы	Объемн. вес, $\text{г}/\text{см}^3$	Эффект пористости, %	$E \cdot 10^{-5}$ , $\text{кг}/\text{см}^2$	$G \cdot 10^{-5}$ , $\text{кг}/\text{см}^2$	6
149	Песчаник алевритовый Известняк микрослоистый	2,47 2,54	0,79 1,54	- -	- 1,74	-
151	Известняк микрозернистый То же	2,52 2,69	1,70 1,69	4,71 -	- -	0,31
156	Известняк микрозернистый То же	2,38 2,59	2,11 2,90	- 1,00	5,95 0,40	- 0,18
162	Серицитолит Туфолесчаник	2,45 2,60	1,81 1,90	- -	- -	-
157	Кварцевый песчаник Известняк микрозернистый	2,45 2,65	1,81 0,85	- 2,07	3,98 5,37	- 0,40
159	Известняк микрослоистый То же	2,55 2,67	1,09 1,21	- 0,42	1,22 1,89	0,31 0,33
170						
174						
175						
176						
179						

В северном крыле вышеуказанной антиклинали обнажаются еще одно штокверковое тело, приуроченное к расщепленным песчаникам. Рудоносные трещины падают в основном на северо-восток  $35-40^{\circ}$ . Оруденение аналогично предыдущему. Реальгар образует прожилки, вкрапленности и примазки. К западу от этой зоны отмечена брекчированная полоса (мощность 1,0 м), включающая кварц-кальцитовые жилы мощностью 0,2 см с вкрапленностью реальгара.

Абанайское проявление мышьяка. Оруденение приурочено к южному крылу Абанайской синклинали, сложенной породами порфиритовой свиты байоса (туфобрекции, туфопесчаники). Разрывы, секущие этот пликатив, северо-восточного и северо-западного простирания. На месте их пересечения создаются благоприятные условия для рудообразования штокверкового типа; преобладают трещины с падением на СВ  $40^{\circ}$ ,  $\angle 35-45^{\circ}$ . Оруденение прослежено с перерывами на 150-300 м, с содержанием мышьяка от следов до 10,5%. Кроме вышеописанного штокверка встречаются также отдельные трещины, приуроченные к зонам разрыва, выполненные халцедон-реальгаровыми оруденением.

Хампалгомское рудопроявление приурочено к туфогенным породам, которые сильно окварцовены и пиритизированы. Мощность зоны с вкрапленниками и жилками реальгара и аурипигмента до 20 м, протяженность - свыше 150 м.

Кешельтинское рудопроявление приурочено к надвиговой зоне мергелисто-глинисто-песчанистой сланцевой свиты нижнего мела. Вкрапленность реальгара и аурипигмента рассеяна вдоль трещин отдельности и по плоскостям сланцеватости глинисто-мергелистых сланцев. Мощность оруденелой части 2,5 м.

Рудопроявление Априс-хеви расположено в зоне смятия вдоль контакта известковистых песчаников и песчанистых черных сланцев. Оруденение имеет штокверковую морфологию. Мощность жилки от нескольких миллиметров до 10 см. Мышиаковые соединения представлены сплошными порошковатыми выделениями аурипигмента и реальгара совместно с арагонитом. Среднее содержание мышьяка до 1%.

В рудовмещающих породах ртутно-мышьяковой формации установлены: медь - 0,0n-0,000n%, цинк - 0,00n-0,n%, свинец - 0,00n-0,000n%, никель - 0,00n-0,000n%, олово - 0,000n-0,n%, кобальт - 0,000n-0,n%, марганец - 0,n-0,0n%, ванадий - 0,00n-0,000n%.

Для характеристики физико-механических свойств рудовмещающих пород мышиакового рудопроявления Зимтирохи были отобраны пробы (табл. 7).

## Тальк-серпентинитовая формация

Эта формация встречается в проходах северо-восточной части Дэибульского кристаллического массива, в бассейнах рек Лопанисцкали и Черат-хеви.

Самые древние образования, слагающие рудное поле - палеозойские метаморфиты, обнажающиеся в виде субширотной полосы, протяженностью 14 км и шириной 1,5 км.

В нижнепалеозойских метаморфитах залегает ряд линзообразных тел серпентинитов, обычно небольших размеров, а более крупные из них развиты на участке долины р. Лопанисцкали и с. Чешора.

С серпентинитами связаны тальконосные зоны и месторождения талька, образованные в результате воздействия кислых растворов на серпентиниты. Залегающие среди серпентинитов тальконосные зоны изменчивой мощности включают в себя линзы и гнезда талька.

С.С. Чихелидзе (1958) тальковые месторождения разделил на месторождения, связанные с крупным серпентинитовым телом и приуроченные к контакту серпентинитов с гранитами и на месторождения, залегающие среди метаморфической свиты. К первым из них относятся месторождения Тетри-Миндори, Квашави, Чешора, а ко вторым - Лопанское, Сагорис-геле, Чорчана, Сатибис-сери, Уцлеви и др.

Месторождение Тетри-Миндори представляет жилообразную пачку северо-восточного простирания с падением на северо-восток под углом  $75-80^{\circ}$ . Тальковая зона мощностью 18-20 м сложного строения. Средний выход тальковой руды на месторождении 60%.

Месторождение Квашава расположено в 2,5 км от Тетри-Миндори. Здесь тальковая зона приурочена к контакту серпентинита с гранитами и ниже палеозойскими метаморфическими сланцами. Мощность около 40 м. Выход талька 60%.

Чешорское месторождение находится в 3 км к западу от с. Чорчана и представляет собой крутопадающую залежь протяженностью 350-500 м с близширотным простиранием и падением на север. Оно приурочено к контакту серпентинитов с гранитами. Мощность 20 м. Качество месторождения высокое. В рудной зоне тальку обычно сопутствуют перемежающиеся с ним бесцветленной закономерности тальк-карбонатные породы и отдельные серпентиниты. Тальковые породы характеризуются большим количеством разновидностей, отличающихся как по внешним признакам, так и по микроструктуре: темно-коричнево-зеленый плотный тальк; плотный серовато-зеленый по расселланованию

тальк с темными пятнами; тальк зернистый, волнистый, с более темно-зелеными участками; плотный светло-зеленый тальк, расщепляющийся с эмалевидной поверхностью; плотный бледно-серовато-зеленоватый тальк ярко расслаивающийся, тонкосланцеватый, светло-зеленый просвечивающий тальк; листовитый светло-серовато-зеленоватый, распадающийся при ударе на чешуйки; белый "тестовидный"; светлый кремово-белый, иногда зеленоватый; порошковидный белый, легко рассыпающийся; зеленый мягкий и красноватый лимонитизированный тальк. Все они содержат карбонат (доломит, магнезит).

Тальковидные серпентиниты – переходные породы от серпентинитов к талькитам, с незавершенным оталькованием.

В серпентинитах встречаются рудные минералы, представленные магнетитом, хромитом, сульфидами; магнетит содержится в виде отдельных зерен или скоплений – до 6%. Сульфиды встречаются в сравнительно небольших количествах в виде мелких вкраепленников пирита, миллерита и полидимита (Г.А. Твалчелидзе). В тальковых породах магнетита мало. Рудные минералы в талькитах представлены магнетитом (иногда до 12%) и редкими сульфидами: пиритом, халькопиритом, марказитом и пентландитом.

В талько-карбонатитах рудные минералы приурочены главным образом к карбонату, при этом содержание магнетита здесь несколько выше, чем в талькитах.

Во вмещающих тальк-серпентинитовую формацию породах спектральными анализами установлены: медь – 0,00n–0,000n%, цинк – 0,0n–0,00n%, свинец – 0,0n–0,000n%, никель – 0,0n–0,00n%, кобальт – 0,0n–0,00n%, марганец – 0,0n–0,0n%, олово – 0,000n–0,

В настоящее время, кроме талька, на месторождении разрабатывается и серпентинит, в качестве строительной крошки и для химического сырья (Тедеев, 1972).

### РУДОСЛАГАЮЩИЕ МИНЕРАЛЫ

Описание рудослагающих минералов приводим по их парагенетическим ассоциациям, обособленным в отдельные рудные поля, месторождения и рудные тела. Обособление этих ассоциаций обусловлено стадийностью образования единого, довольно длительного процесса рудоотложения, смытого с конечным этапом развития алтайского орогенеза. Стадийность рудоотложения показана на прилагаемой схеме (рис. 21). Вне схемы описаны минералы тальк-серпентинитовой формации.

Лейкоксен встречается в окологрунтовых генерациях пород, особенно часто в связи с медно-пирротиновой и свинцово-цинко-

МИНЕРАЛЫ \ ФОРМАЦИИ	Cu-Po	Pb-Zn	Ni-Pt	Va	Mn-Fe	Hg-As
лейкоксен						
кварц		—				
арсенопирит	—	—	—	—		
пирротин		—				
пирит	—	—				
мельн.-пирит	—	—				
марказит	—	—				
мельн.-марказит	—	—				
халькопирит	—	—				
борнит	—					
тетраэдрит	—					
теннингит	—					
булонжерит	—					
андорит	—					
гутчинсонит						
эпидот						
хлорит	—	—				
серцицит	—	—				
сколит						
селадонит						
каолинит						
гидрослюдя						
пренит						
сфалерит	—					
бюргцит		—				
галенит						
барит						
битерит						
кальцит						
арagonит						
сидерит						
анкерит						
родохрозит						
магнетит						
якобсит						
браунит						
гаусманит						
гематит						
халцедон						
опал						
агат						
диккит						
киноварь						
ауртигумент						
реальгар						
цеолиты						

Вторичные минералы: лимонит, гидрогематит, гидрогётит, гётит, пиролюзит, псиломелан, раньсвейт, бернацит, шамозит, малахит, азурит, тенорит, халькозин, самородная медь, церуссит, свинцовая охра, анелезит, смитсонит, гринокит.

Рис. 21. Схема стадийности рудообразования.

ной рудными формациями, как продукт ~~закипания~~ пиротиновой расцветки сферы (Гушина, 1960).

Арсенопирит описан Г.П. Барсановым на рудопроявлениях Карзмани. Зернышки его размером от 0,2 до 0,5 мм приурочены к кварцу. С широким арсенопирит образуют христианские сростки. Кроме того, он часто наблюдается в виде включений в галените и сфалерите.

Пирротин превалирует в рудах Парского рудопроявления, где образует сплошные агрегаты и вкрапленности в боковых породах.

Пирит в свинцово-цинковых рудах встречается в малом количестве в основном в виде выделений неправильной формы. Реже наблюдается в виде включений в галените и сфалерите. Пирит относительно широко распространен в медно-пирротиновых рудах. Он образует идиоморфные вкрапленники в окорудных породах и срастания со сфалеритом, халькопиритом и кварцем. Иногда раздроблен и скементирован сфалеритом.

Г.П. Барсанов на Мирткаджинском рудопроявлении описал пирит, образующий в тонких кальцитовых прожилках текстуру ветвящихся звездочек, вследствие кристаллизации по тонким трещинкам спайности кальцита. Кристаллы пирита довольно мелкие и встречаются очень редко.

Мельниковит-пирит, мельниковит-марказит и марказит образуют колломорфные и концентрически зональные текстуры (рис. 22); происхождение обусловлено характером их выпадения из сильно пересыщенных растворов.

Халькопирит образует выделения неправильной формы величиной до 0,5 см. В медно-пирротиновых рудопроявлениях находится в ассоциации пирротина и сфалерита, образуя с ним гипидиоморфозернистые срастания. Местами наблюдаются прорастания галенита с халькопиритом. Реже он образует эмульсионную вкрапленность в сфалерите. Минерал нередко покрыт корочками азурита.

Борнит встречается весьма редко в виде каплевидных выделений в галените.

Тетраэдрит описан Г.П. Барсановым на рудопроявлении Раздаран-ком в виде изометрических включений в галените и халькопирите. В галените включения располагаются обычно ближе к контакту с зернами халькопирита и кальцита.

Теннантит описан Г.П. Барсановым из Карзманского рудопроявления.

Буланжерит описан А.М. Хабаловым (1968) в виде мелких каплевидных выделений или игольчатых кристаллов в галените.

Андорит (по Т.В. Иваницкому) представляют редкий мине-

рал, приуроченный к галениту, и образует мелкие не превышающие десятих долей миллиметра выделения.

Гутчинсонит установлен С.С. Боришанской в виде мелких (тысячные доли миллиметра) выделений в массе метаколлоидного сфалерита.

Сфалерит образует сплошные выделения небольших размеров, а также мелкую вкрапленность в вмещающих породах. Двойниковая структура породы обнаруживается без травления. Иногда в сфалерите наблюдается спад халькопирита. Т.В. Иваницкий (1963) в сфалеритах выделяет две структурно-морфологические разновидности — почковидные зонально-полосчатые колломорфные сфалериты, окрашенные в светлые цвета с отдельными полосками коричневого цвета и плотные — скрытокристаллические металлоколлоидные сфалериты, также окрашенные в светлые цвета различных оттенков. Им же, с учетом структурно-текстурных особенностей, в сфалеритах выделены три генерации: колломорфный, мелкокристаллический метаколлоидный и метаколлоидный. По данным спектральных анализов в сфалерите отмечается ряд элементов: Cd, Ya, Ye, Hg, CO и др., по-видимому, связанных с кристаллической решеткой сфалерита.

Бюргит обнаружен рентгеновско-фазовым анализом Т.В. Иваницким, Н.Д. Гварамадзе и Г.В. Цинцадзе (1958) в тесном срастании со сфалеритом, слагающим колломорфные почки и метаколлоидные выделения.

Галенит образует плотные мелкокристаллические массы неправильной формы. Он в большинстве случаев метаморфизован и слагает мелкозернистые агрегаты с гранобластической структурой. По структурно-морфологическим особенностям Т.В. Иваницкий выделил четыре разновидности галенита — крупнозернистый, свинчаковидный, колломорфный с метакристаллической скелетной формой и крестообразные скелетные кристаллы роста с лиценитоидными выделениями. Под микроскопом можно наблюдать, как галенит замещается англезитом и церусситом. Часто в галените в виде мелких включений фиксируется андорит. Неправильные формы галенита и его многочисленные жилки в сфалерите, халцедоне и кальците, а также реликты названных минералов в массе галенита указывают на более поздний характер индукции галенита. Химические и спектральные анализы в галените обнаружили серебро, железо, медь.

Витерит редкий минерал, встречающийся только в ассоциации с баритом 2. Он образует радиально-лучистые агрегаты и прожилки, секущие барит 1.

Родохрозит редко встречается вместе с кальцитом и бари-

том в виде мелко- и среднозернистых агрегатов колломорфного строения.

Магнетит (якосит) встречается в виде мелких (0,01 мм) вкраплеников и прожилок в срастании с гематитом.

Браунит наблюдается в виде отдельных идиоморфных зерен и небольших скоплений, сопровождающихся гематитом, корродирующим браунит.

Гаусманит распространенный первичный минерал на месторождении, встречается в виде сплошных агрегатов и содержит гематит и кальцит.

Гематит встречается как самостоятельно в виде отдельных кристаллов и скоплений, так и в ассоциации с марганцевыми минералами.

Киноварь образует брекчевые, вкрапленные и друзовые текстуры. Морфологически можно выделить мелкокристаллическую и землистую разновидность киновари. Первая образует вкраплениники размером в сотые доли миллиметра, вторая — налеты и примазки в гидротермально измененных зонах.

Реальгар и аурипигмент образуют игольчатые кристаллы в кальцитовых жилах, а также налеты и примазки во вмещающих породах.

Кварц — главный нерудный минерал. Встречается как в окорудно измененных породах, так и в составе жильных руд. В первых он представлен средне- и крупнозернистыми агрегатами гранобластической структуры. Жильный кварц образует скопления неправильной формы; он белого цвета, крупнокристаллический, имеет ячеистую текстуру и включает в себя крупные зерна галенита. Кварц более поздней генерации, сероватый и мелкокристаллический, сечет сульфиды ранней генерации. Весьма своеобразен кварц в низкотемпературных рудопроявлениях. Здесь он наблюдается в виде двух модификаций (Барсанов, 1937). Мелкие округлые образования его приурочены к арагонитовой массе. Другой кварц встречается в виде идиоморфных кристаллов низкотемпературной модификации.

Эпидот образует отдельные зерна и скопления в порфиритовой свите байоса.

Хлорит широко распространен в породах порфиритовой свиты байоса как продукт замещения стекловатой массы, а также темных минералов. В известняках встречается в виде отдельных гнезд и налетов.

Серицит замещает плагиоклаз пород порфиритовой свиты байоса и образует разрозненные мелкие чешуйки.

Сколит выделяется как продукт распада минералов и стек-



Рис. 22. Сфераидальные выделения колломорфного марказита (белые) в массе сфалерита (серые). Анишлиф. Ув. 70x.

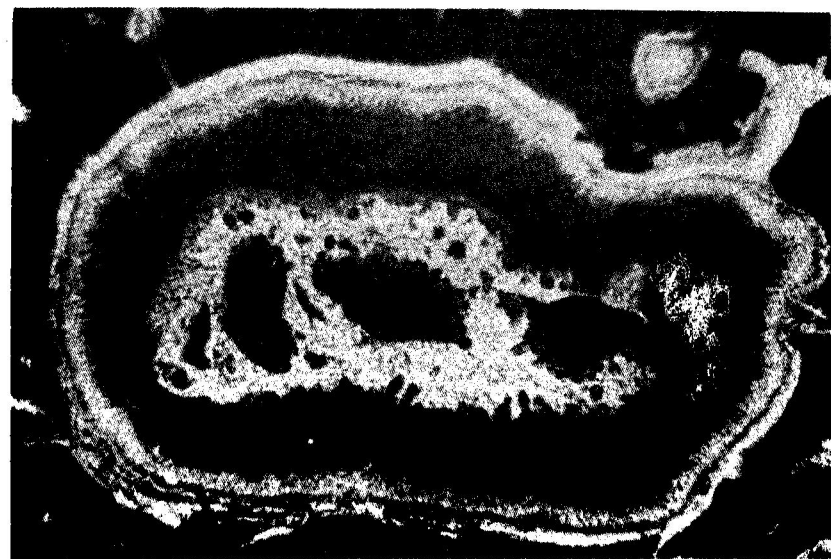


Рис. 23. Мицдалина, заполненная карбонатом (1), соладонитом (2), сколитом (3), каолинитом (4). Шлиф. Ник. II, ув. 70x.

и пород порфиритов, образует прожилки, гнезда и примазки. Имеет буровато-оливовый или коричневый цвет. Нередко содержит мельчайшие вкрапления рудного минерала. Встречается с кокардовым строением в центре, с кальцитом и иногда с каолинитом. В сильно измененных порфиритах сколит достигает 50–60%.

Селадонит ярко-зеленого цвета, встречается реже, чем сколит, местами в ассоциации с ним.

Выделения каолинита наблюдаются в миндалинах в ассоциации с карбонатом, сколитом и селадонитом (рис. 23).

Гидрослюдя – сложный вторичный продукт распада минералов пород порфиритовой свиты, представленной в основном глауконитом, сколитом, селадонитом и другими минералами.

Пренит встречается редко, в основном в виде прожилок.

Барит образует две генерации: барит I – молочно-белый, местами с розоватым оттенком, образует мелко- и среднетаблитчатые скопления и жилы. В залывандах жил барит обычно массивный, тонкозернистый, а в центральных частях – среднетаблитчатый. Последние часто слагают радиально-лучистые агрегаты. Кристаллы его часто изогнуты и имеют волнистое погасание. В ассоциации с халцедоном и сидеритом нередко цементирует почкообразные агрегаты поздних дисульфидов железа (мельниковит-пирита, мельниковит-марказита и др.). Барит II обычно водяно-прозрачный, бесцветный или молочно-белый; образует крупнотаблитчатые выделения в пустотах барита I, а также жилы, секущие барит I и почкообразные агрегаты дисульфидов железа.

Кальцит вместе с кварцем слагает основную жильную массу руд. Он образует крупно- и среднезернистые агрегаты, зерна которых обладают тонкой двойниковой штриховкой и явно выраженной спайностью по ромбоэдру. Наблюдаются в виде трех генераций: первая – крупнозернистая, с хорошо развитыми ромбоэдрами; вторая – скаленоэдровая, обычно развитая на стенках мелких жеод; третья – мелкозернистая, пелитоморфная, нарастающая на выделения первых двух генераций.

Арагонит ассоциирует с мышьяковыми минералами в жилах. Представлен плотными радиально-лучистыми выделениями с кристаллами длиной до 1,5 см.

Сидерит образует прожилки и мелкоагрегатные скопления с халцедоном, галенитом, сфалеритом и пиритом.

Анкерит в ассоциации с кварцем, серицитом и пиритом образует аллотриоморфные агрегаты.

Халцедон встречается в виде двух генераций: ранней – в окорудноизмененных силифицированных породах и поздней в

срастании с мелкоколлоидным сфалеритом, образуя тонкодисперсные смешанные агрегаты.

Опал и агат в ассоциации с халцедоном образуют мелко-зернистые неправильной формы выделения.

Диккит участвует в составе ртутной руды, местами в значительном количестве и в срастании с карбонатом.

Цеолиты встречаются в основном в гидротермально измененных зонах в виде прожилков и отдельных скоплений. Иногда вместе с кальцитом заполняют трещины и миндалины.

Псиломелан встречается в виде почковидных лучистых агрегатов, в ассоциации с гетитом и другими гидроокислами железа.

Пиролюзит образует срастания с псиломеланом и другими гидроокислами железа, встречается редко.

Гетит тонкоигольчатого строения, встречается вместе с псиломеланом, пиролюзитом и гидроокислами железа.

Другие вторичные железо-рудные минералы образуют тесные взаимопрорастания, обычно коломорфных текстур.

Малахит, азурит, тенорит, халькозин и самородная медь проявлены весьма редко, преимущественно на рудопроявлениях медно-пирротиновой формации.

Церуссит, свинцовая охра, англезит, смитсонит – развиты весьма слабо, спорадически встречаясь на месторождениях и рудопроявлениях свинцово-цинковой и барит-полиметаллической формации.

### УСЛОВИЯ ФОРМИРОВАНИЯ И ЗАКОНОМЕРНОСТИ РАСПРЕДЕЛЕНИЯ ОРУДЕНЕНИЯ

Приведенный в предыдущих главах материал, с учетом новых данных по металлогеническому районированию В.И. Смирнова, Г.А. Твалчрелидзе и др., позволяет пополнить представление об условиях формирования эндогенных месторождений Юго-Осетии, освещенных в работах Г.М. Гогоберидзе (1949), Т.В. Иванникова (1951), А.М. Хабалова (1968), М.Н. Джапаридзе (1965) и др.

Изучение структур рудных полей, текстурно-структурных особенностей руд, их вещественного состава и окорудных изменений позволяет выделить две разновозрастные группы месторождений. Они представлены тальк-серпентинитовой формацией, участвующейся с верхнепалеозойским магматизмом и сложным комплексом руд – медно-пирротиновой, свинцово-цинковой, барит-полиметаллической, барит-кальцитовой, железо-марганцевой и кварцево-рутено-мышьяковой формацией, связанных с позднеорочным этапом алтайской складчатости.

**Формирование тальк-серпентинитовых месторождений генетически и пространственно связано с серпентинитами и образовано в результате воздействия кислых растворов. Процесс серпентинизации обусловлен автометаморфизмом, и связан с доступом постмагматических растворов кислых магм. Следует отметить, что этот процесс сопровождался рассеянной минерализацией сульфидов никеля (пентландит).**

Формирование руд комплекса, связанного с постнеогеновым этапом, многостадийное. В начальной стадии образовались руды медно-пирротиновой формации, контролируемые зонами дробления и рассланцевания, объединяющиеся в отдельные разломы регионального характера в южной периферии Часавальско-Рибисской кордильеры (Валь-хок, Меписадгоми, Верхний Теделети и др.). В эту группу входят такжеrudопроявления Раро и Мугута, генезис которых проблематичен. Возможно, здесь мы имеем вулканические выбросы рудных глыб.

В следующую стадию образовались наиболее интересные в промышленном отношении руды свинцово-цинковой низкотемпературной формации, широко развитые в Эрцо-Квайсинском рудном поле. По структурно-морфологическим особенностям, текстурно-структурным признакам, характеру околоврудных изменений и минералогическому составу руды этой формации относятся к низкотемпературным образованиям малых глубин. Они образуют жилы сложной формы в тектонических трещинах байосских порфиритовых пород и мощные метасоматические залежи, развитые в верхнеюрских массивных известняках.

Обращает на себя внимание рудопроявление Хихата, развитое в внутриформационных трещинах массивных известняков и напоминающее эпiterмально-теле термальное оруденение.

Месторождения барит-полиметаллической формации широко развиты в основном в байосских порфиритах Гагрско-Джавской и Окрибско-Хреитской зоны и по размерам значительно уступают месторождениям свинцово-цинковой формации. Контролируются зонами брекчирования, дробления и трещинами скола и отрыва. Ведущими рудослагающими минералами являются барит, сфalerит темного цвета, редко коломорфного строения.

По данным А.М. Хабалова (1968), температура образования руд данной формации  $150-160^{\circ}$ , а глубина формирования 0,5-1,5 км.

Барит-кальцитовая формация характеризуется простым составом с доминированием сульфата бария. Температура образования низкая, глубина близповерхностная. Баритсодержащие жилы контролируются кулисообразно расположеннымми трещинами скола и отрыва.

**Железо-марганцевая нижнотемпературная формация имеет значительное развитие и приурочена в основном к верхнеюрским массивным известнякам и роже к породам порфиритовой гниты. В известняках она образует метасоматические залежи неправильной формы, усложненные супергенными процессами. Процесс завершается оруденением ртутьно-мышьяковой формации, развитой преимущественно в лузитанских известняках, образуя рассеянную вкрапленность и прожилки в зонах интенсивного прогибания.**

Как правило, ртутное и мышьяковое оруденение пространственно обособлено в виде штокверковых рудопроявлений, обычно незначительного размера. Изучение ореолов рассеяния указывает на тяготение минерализации данной формации к молодым плювевым образованиям. В отношении закономерностей распределения эндогенных месторождений Юго-Осетии отметим, что рассматриваемая территория по схеме металлогенического районирования Г.А. Твалчелидзе (1961) выделена как Юго-Осетинский рудный район, охватывающий восточную часть Гагрско-Джавской зоны, именуемой П.Д. Гамкелидзе Часавальско-Рибисской кордильерой.

Ввиду того, что часть месторождений Юго-Осетии находится за пределами Гагрско-Джавской зоны складчатой системы Южного склона Большого Кавказа, концентрируясь в пределах Окрибско-Хреитской зоны и зоны Дзибульского поднятия Грузинской глыбы, целесообразно выделить его как самостоятельный Чорчанско-Дзагинский рудный район (Дзагинский рудный узел, по В.В. Панцулая). В таком случае наименование первого следует изменить на Эрцо-Джеджорский рудный район.

Оба рудных района мы объединяем в Юго-Осетинскую металлогеническую субпровинцию. Каждый из этих районов подразделяется на отдельные рудные поля и месторождения. В Эрцо-Джеджорском рудном районе выделяется:

1. Квайсинское рудное поле, обособленное в центральной части рудного района, охватывающее участки кручения Цедис-Лаксарджинской и Чордско-Сохтинской антиклинали, включая эксплуатируемое свинцово-цинковое месторождение Квайса и баритовое месторождение Каута (Хардисар) и ряд рудопроявлений барит-полиметаллического состава - Скатыкомское, Тельнарское, Мирткаджинское, Донджинское и др. Здесь же находится Вильхахское проявление.

2. Чордское рудное поле находится в западной части данного рудного района, приурочено к западному искривленному участку Чордско-Сохтинской антиклинали. Оно включает в себя

Чордское баритовое месторождение — одно из крупных источников высококачественного баритового сырья Грузии.

3. Эрцо-Сохтинское рудное поле обусловлено рядом свинцово-цинковых (Эрцо, Сохта, Хахата) и ртутно-мышьяковых (Эрцо, Замтарети, Кемульта, Абано и др.) рудоносимений, сконцентрированных в местах ундуляций Чордско-Сохтинской антиклинали и Рибисской синклинали, сложенных рядом дисъюнктивных дислокаций, значительная часть которых уходит под флишевый надвиг.

4. Раро-Мугутское рудное поле с одноименными проявлениями медно-пирротиновых руд, занимающее крайнюю восточную часть данного рудного района, где порфиритовая юра заканчивается клинообразно.

В Чорчанско-Дзагинском рудном районе четко обособлены: Дзагинское (Дзагинское, Мухаверское, Гадегинское, Телегинское, Тбетское, Додотское, Бостанское, Пучнарское) и Карзманское (Карзманское, Теделетское, Джалаабетское, Синагурское) рудные поля с полиметаллическим оруднением, а также Чорчанская рудная поле тальковых месторождений (Чорчана, Тетримидори, Квашава, Чешора).

За пределами отмеченных рудных полей имеется несколько ртутно-мышьяковых рудопроявлений и ртутных аномалий, выявленных шлиховым опробованием. К ним относятся проявления мышьяка по рр. Кешелыта-дон и Априсхеви, ртутные аномалии — Камдонское в истоках р. Б. Лиахви, Пачурское — в верховьях р. М. Лиахви и Навтис-хеви в истоках р. Ксани, а также проявления киновари Гомула, Гоми, находящиеся к северо-западу от изученной территории уже за пределами Юго-Осетинской рудной области вблизи с. Уцера, в зоне флишевого надвига на порфиризовую юру.

Следует отметить, что Юго-Осетинская рудная область входит в состав Гагрско-Джавской металлогенической зоны Южного склона Главного хребта, одной из перспективных в отношении барит-полиметаллического оруднения.

В пределах Юго-Осетии Часавальско-Рибисская кордильера наиболее интересна тектонически и в рудном отношении, так как здесь сконцентрированы промышленные барит-полиметаллические месторождения и перспективные проявления ртути. Она интенсивно дислоцирована складчато-разрывными нарушениями, контролирующими проявления альбитофиров и барит-полиметаллического оруднения.

Большое число разновременных и разнохарактерных по движению блоков дисъюнктивных нарушений приурочено к Сханарско-Падарбазовскому синклиниорию, особенно в той его части, где фиксируются изгибы и кручения складок.

Наиболее интенсивной и сложной разлом, контролирующий оруднение Кшиси-Надарбазовского полиметаллического месторождения. Он представлен сливающимися на глубине "Северным" и "Южным" взбросами и перемещенным между ними клином верхнеюрских рудоносных массивных известняков, "протолкнутым" по П.Д. Гамкрелидзе, на юг подвигающимся с севера байюром. Установлено домеловое заложение и дальнейшее постмеловое, а также постэоценовое развитие взбросов. Поперечное направление нарушения фиксируется на Часавальско-Фасгарском участке, где выделяются Засетикауский сброс с опущенным восточным крылом, с вертикальной амплитудой до 400 м.

Сложной системой продольных дисъюнктивных нарушений характеризуется участок восточного окончания складок, включающий в себя Эрцо-Сохтинское рудное поле с барит-полиметаллическим и ртутным оруднением, а также западное окончание складок, где развито Чордское баритовое рудное поле.

Низкотемпературные ртутно-мышьяковые оруднения контролируются зоной влияния глубинного разлома, в значительной своей части перекрытого надвинутым с севера флишевым покровом. С учетом периодичности интенсивных тектонических складчатых движений здесь выделяются: ранне- и среднеюрский этаж, позднеюрский-раннепалеогеновый этаж, подразделяющий на позднеюрский, меловой и раннепалеогеновый подэтажи; постнеоцен-олигоценовый этаж. Между указанными структурными этажами намечаются региональные стратиграфические и структурные несогласия. Следует отметить, что все месторождения и рудопроявления свинцово-цинковой и барит-полиметаллической формаций приурочены пространственно к нижнему, частично среднему, структурным этажам, а низкотемпературная ртутно-мышьяковая формация — сквозная, проявлена во всех трех структурных этажах, местами приурочиваясь к междуэтажным структурным несогласиям.

Проявленные в Часавальско-Рибисской кордильере рудные формации характерны для металлогенеза вулканогенных геосинклинилей (Твалчрелидзе, 1972).

Местия-Тианетская зона, граничащая с севера с Часавальско-Рибисской кордильерой, сложно дислоцирована. В ней встречаются лишь незначительные проявления мышьяка, в виде жилок, вкрапленностей и примазок (Априсхеви и Кешелта-дон), приуроченные к внутриформационным раковинам флишевых осадков и проявлениям киновари в шлихах, установленные вблизи молодых (верхний плиоцен-четвертичный) новомощаний андезитов и дацитов, со своей стороны увязывающихся с разломами глубинного заложения. Эти низкотемпературные рудные формации,

но имеющая видимой связи с магматизмом, типична для поздней орогенной металлогении. Рачинско-Осетинская шовная зона представляет интенсивно деформированную грабенообразную структуру — синклиналь с крутыми крыльями, заполненную в основном неогеновыми молассового типа отложениями.

В пределах шовной зоны рудопроявлений, за исключением киновари, а также марказитовой минерализации в сарматских отложениях по Суардком-дон у курорта Джава не фиксировано.

Грузинская глыба в пределах изученной территории представлена восточными частями Окрибско-Хреитской и Дзиурульского поднятия зонами, подразделяющимися на Сурамско-Джавскую моноклиналь, Тирифонский прогиб и Северо-Картлийский дислокированный борт.

Окрибско-Хреитская зона, ограничивающаяся с севера Рачинско-Осетинской шовной зоной, а с юга — Дзиурульской зоной поднятия, сложена совершенно сходными с Гагрско-Джавской зоной вулканогенными образованиями байоса и характеризуется аналогичными барит-полиметаллическим и медно-колчеданным оруденением.

В северо-восточной периферии зоны Дзиурульского поднятия к контакту гранитов с серпентинитами приурочены тальковые месторождения Чорчанской группы, а сами серпентиниты никеленосны.

В геологическом развитии и формировании сложных структур территории Юго-Осетии существенную роль сыграли батская, андийская, австрийская, субгерцинская, ларамисская, триалетская, штирийская и аттическая орогенические фазы. Особенно интенсивными были триалетская и аттическая фазы складчатости, вызвавшие окончательное формирование структур данного региона. Благодаря верхнеплиоценовым и нижнечетвертичным тектоническим движениям происходит дальнейшее воздымание всей системы Большого Кавказа, сопровождающееся дополнительной складчатостью и активностью вулканизма.

Магматический контроль оруденения проблематичен. Генезис оруденения барит-полиметаллической формации принято связывать с секущими порфиритовую юру дайками и штокообразными телами кварцевых и бескварцевых альбитофиров и гранодиоритов. Они приурочены к крутопадающим тектоническим нарушениям преимущественно субширотного, реже меридионального простирания, концентрируясь в узлах соприкосновения крупных разрывов и осей складок или же в местах осложненных продольных складоизгибами. Относительно крупные ( $1,0 \times 0,0$  км) штокообразные тела альбитофиров (участка Виль-хок) и гранодиоритов (участок г. Хихата) вытянуты вдоль региональных разломов субши-

ротного простирания.

Г.С. Даоценидзе (1948) альбитофирсы рассматривал как жильную фацию батских гранитоидных интрузий, а Г.А. Твалчелидзе (1961) отнес их к постскладчатым образованиям киммерийского цикла, охватывающего верхнюю юру и нижний мел. А.М. Хабалов считает их верхнеюрскими.

Однако приуроченность даек и штокообразных тел альбитофиров и гранодиоритов к региональным разрывам, секущим под острым углом сильно сжатые складчатые структуры, позволяет допустить, что они являются явно более молодыми образованиями, увязывающимися, по всей вероятности, с наиболее мощными для данной зоны триалетской или аттической фазами складчатости. Не исключена возможность, что они синхронны во времени с альбитофирами смежных северных зон складчатой системы Южного склона Большого Кавказа, на что указывает сходство их петрохимической природы.

Вопрос возраста изученного комплекса руд до сих пор остается спорным. Учитывая приуроченность всех рудных тел этого комплекса (по всем признакам являющихся близповерхностными средне- и низкотемпературными образованиями) к явно молодым дизъюнктивам, косо секущим сильно сжатые складчатые структуры, а также новые данные по структуре Чордского рудного поля (Надирадзе, 1969) и геохимические критерии возраста ртутно-мышьяковой минерализации (Церцвадзе, 1972), приходим к заключению о молодом возрасте оруденения.

Определение аргонового возраста (Рубинштейн, Гуниава и др., 1970, 1971) околоврудных сколитов Квайсинского свинцово-цинкового и баритового месторождений показало, что возраст сколита из контакта порfirитовой свиты байоса с верхнеюрскими известняками  $25 \pm 3$  млн. лет, а из верхнеюрских известняков  $29 \pm 3$  млн. лет (более раннее определение 1970 г. дало цифру  $13 \pm 3$  млн. лет); из баритовых руд в порfirитах байоса  $23 \pm 3$  млн. лет. Цифры показывают, что оруденение миоценового возраста, при этом образование барита более позднее. Это соответствует данным Н.Ф. Шония (1959) и подтверждается нашими наблюдениями.

Что касается оруденения низкотемпературных кварцево-рутутно-мышьяковых формаций, вероятно, оно более молодое, связанное с плиоцен-четвертичным вулканизмом, подводящими каналами которого были глубоко заложенные разломы.

Генезис талька и серпентинитов увязывается с процессами становления герцинских ультрабазитов, сопровождающихся явлениями плюметаморфизма и гранитоидов плюметаморфически воздействовавших своими постмагматическими растворами на

ультрабазиты.

С учетом вышеизложенного в первую очередь отметим, что различные типы рудных формаций обнаруживают вертикально-зональное распределение как в отношении общей стратиграфической колонки, так и выделенных здесь структурных этажей. Это относится первым долгом к эндогенным рудным формациям Эрцо-Джеджорского рудного района, наиболее перспективного в пределах Юго-Осетии. Относительно высокотемпературная медно-полиметаллическая (иногда с пирротином) колчеданного типа рудная формация (Раро, Мугута, Валь-хех) приурочена к низам нижнего структурного яруса, охватывая нижние горизонты байосской вулканогенной толщи или верхи глинисто-песчанистой-сорской свиты.

Баритовые залежи (Чорды, Каута, Нижняя Квайса) барит-полиметаллических руд (Раздаран-ком, Скаты-ком, Тельнари) приурочены преимущественно к средним горизонтам вулканогенного байоса, представленного авгит-плагиоклазовыми, реже плагиоклазовыми порфиритами и их пирокластолитами.

Формации свинцово-цинковых низкотемпературных руд (Квайса, Эрцо, Хихата) тяготеют к верхам байосской вулканогенной толщи и к лузитанским рифовым массивным известнякам.

Низкотемпературная кварцево-рутнно-мышьяковая форма-  
ция сквозная, она фиксируется на всем интервале стратигра-  
фического разреза, начиная от байосских вулканогенов и лузи-  
танских известняков, кончая верхнеэоценовыми отложениями  
“дикого флиша”.

Тальк и серпентиниты в значительной своей части никеленосны, приурочены к породам кристаллического фундамента в восточной части зоны Дзирульского поднятия.

Анализ материала по металлогении рудной области Юго-Осетии показывает, что в распределении оруденения здесь доминировали структурные факторы. Особенно это относится к Эрцо-Джеджорскому рудному району, где главным рудоподводящим каналом является глубинный разлом, развитый несколько севернее линии флишевого надвига, почти полностью перекрывающего его. С глубинным разломом, по-видимому, сочленяются на глубине оперяющие продольные и поперечные рудоконтролирующие (рудораспределяющие и рудовмещающие) дизъюнктивы. На планах распределения резко влияли предшествующие складчатые дислокации, особенно места их осложнения — изгибы в плане и по осевой плоскости, а также виггации и ундуляции складок.

С учетом сказанного в Эрцо-Джеджорском рудном районе, потенциальные возможности которого в отношении выявления но-

вых месторождений далеко не исчерпаны, поиски крупного масштаба следует вести в первую очередь по профильным линиям — полотнам, шириной 2—3 км субмеридионального направления, проходящим через Сирх-Леберта-Квайса, Рибиса-Эрцо и Чорды-Скаты-ком. Поиски следует вести и в северной части Часавальско-Рибисской кордильеры, перекрытой Уцерско-Павлеурским шарьяжем, в первую очередь в полосе продолжения Квайсинской рудоносной структуры. Для поисков здесь должен быть использован комплекс геофизических методов разведки и бурения структурных скважин.

Полоса под надвинутым покровом флиша, вблизи намечающегося П.Д. Гамкрелидзе глубинного разлома, перспективна и в отношении ртутно-мышьякового оруденения, обычного спутника структур глубокого заложения.

В Чорчанско-Дзагинском рудном районе структурный контроль менее отчетлив. На Дзагинском и Карзманском рудных полях контролирующими могут служить субширотные зоны смятия и зоны повышенной трещиноватости, сопровождающиеся интенсивной пропилитизацией пород вулканогенного байоса, местами с заметной импрегнацией пирита. Поиски здесь должны производиться и в завуалированных третичными осадками вулканогенных породах байоса восточнее Дзагинского рудного поля.

В пределах Грузинской глыбы — в зоне восточной части Дзирульского поднятия на флангах Чорчанской тальковой зоны, увязывающейся с герцинскими гранитоидами, залегающими среди кристаллических сланцев фундамента в виде мощных жилообразных тел, следует искать никеленосные серпентиниты и проявления талька. С этой целью на западном продолжении зоны необходимо провести крупномасштабную структурно-литологическую съемку, с применением геохимических методов исследования первичных ореолов рассеяния (следует провести металлометрическую съемку никеленосных серпентинитов с целью их прогнозной оценки), а на восточном фланге, где кристаллические породы массива перекрыты палеоген-неогеновыми и четвертичными отложениями, поиски следует вести картировочно-структурным бурением и геофизическими методами. Восточнее, уже в Мухранско-Тирифонской подзоне, палеогеографически являющейся, по всей вероятности, восточным продолжением Чнатурского марганцевистого бассейна, в погребенных олигоценовых осадках возможны залежи марганцевых руд.

Специального внимания заслуживает Раро-Мугутское рудное поле, развитое в пределах байосских вулканогенных образований, ограниченных с юга тектонической зоной, а с севера — надвиго-

вой линией флишевого покрова. Проведение структурно-поисковых скважин по двум-трем поперечным профилям внесет ясность в вопрос генезиса и оценки медно-полиметаллического оруденения данного рудного поля.

На предлагаемой металлогенической схеме (рис. 24) показаны структурные этажи, формации пород и руд с соответствующим возрастным и формационным подразделением, морфологические типы месторождений с указанием ориентации рудных тел, генетические типы оруденения, температурные условия и глубина образования месторождений, их металлогенический тип, размеры. В прогнозных обозначениях выделены площади для первоочередных (густая штриховка) и перспективных поисково-разведочных работ.

### Л и т е р а т у р а

- Авалиани Г.А. Марганец. Природные ресурсы Груз. ССР. Изд-во АН СССР, М., 1958.
- Адамия Ш.А. Доюрские образования Кавказа. Тр. ГИН АН ГССР, нов. сер., вып. 16, "Мецниереба", Тбилиси, 1968.
- Барсанов Г.П. К минералогии Юго-Осетии. Изд-во АН СССР, 1937.
- Бендукидзе Н.С. Стратиграфия – верхняя юра. В кн.: Геология СССР, т. X, Грузинская ССР, ч. 1. Геологическое описание. "Недра", М., 1964.
- Варсимашвили Э.В. О расчленении нижнемеловых терригенных флишевых отложений Шовско-Пасанаурской подзоны складчатой системы Южного склона Большого Кавказа. Сообщения АН ГССР, 67, № 2, 1972.
- Вассоевич Н.Б. Краткий геологический очерк Джавского района Юго-Осетии. Тр. СОПС. Производит. силы Юго-Осетии, сб. II, сер. Закавказс., вып. 4, 1932.
- Гамкрелидзе П.Д. Новые данные по тектонике Квайсинского района. Сообщения АН ГССР, т. XI, № 2, 1950.

- Гамкрелидзе П.Д. Тектоника. В кн.: Геология СССР, т. X, Грузинская ССР, ч. 1. Геологическое описание. "Недра", М., 1964.
- Гогоберидзе Г.М. Минералогия Верхнеквайсинского месторождения. Автореферат канд. дисс., Тбилиси, 1949.
- Гуниава В.Д. Сколитсодержащие оклорудные метасоматиты Аджарского района. Сообщения АН ГССР, № 3, 1968.
- Дзоценидзе Г.С. Домиоценовый эфузивный вулканализм Грузии. ГИН АН ГССР, Монографии, № 1, 1948.
- Джанелидзе А.И. Материалы для геологии Рачи (на груз. яз., реюме франц.). Бюлл. Тифл. ун-та, т. У1, Тифлис, 1926.
- Джапаридзе М.Н. Некоторые вопросы трещинной тектоники Квайсинского свинцово-цинкового месторождения. Тр. Ин-та геол. рудн. м-ний, петрограф., минер. и геохимии АН СССР, вып. 82, 1962.
- Джапаридзе М.Н. Об условиях локализации обогащенных участков рудных тел на Квайсинском рудном поле (на груз. яз.). Тр. ПИ, № 3 (101), 1965.
- Загю Т.Н. О минеральном составе железо-марганцевых руд Цедисского месторождения. Тр. ГПИ им. В.И. Ленина, № 2 (87), Тбилиси, 1963.
- Иваницкий Т.В. Геология, минералогия и геохимия свинцово-цинковых и полиметаллических месторождений Грузии, Тбилиси, 1963.
- Кихадзе И.Р. Грузия в юрское время. Тр. ИГ АН ГССР, сер. геол., т. III (УП), 1947.
- Лалиев А.Г. Мийконская серия Грузии. "Недра", М., 1964.
- Лурье Л.М. Метасоматическая зональность оклорудно-измененных пород Зимбрадского месторождения. "Геология рудных месторождений", № 1, 1963.

Мицхадзе Ф.Д. Палеогеографические и тектонические условия формирования эоценовых образований междууречья Рioni и Liахви. Автореферат канд. дисс., 1970.

Мачавариян О.Н. Некоторые особенности геологического строения Сохта-Абанойского поля. Техническая информация, Геология, № 2, 1972.

Надирадзе В.В. Структурные условия формирования Чордского баритового рудного поля. Автореферат канд. дисс., Тбилиси, 1968.

Наковник Н.И. Определение количественного изменения вещества при гидротермальном метаморфизме. Зап. Всесоюзн. минералогич. об-ва, ч. 87, вып. 4, 1958.

Нижарадзе Н.В. Об Эрцойском ртутном рудопроявлении. Тр. ГПИ, № 2, (87), 1963.

Пайчадзе Т.А. Стратиграфия и фауна верхнеюрских отложений верховьев р. Квирила. Автореферат канд. дисс., Тбилиси, 1970.

Рубинштейн М.М., Гогишвили Б.И., Гуниава В.А., Насидзе Г.И., Хуциадзе А.Л. Результаты определения абсолютного возраста некоторых рудных месторождений Грузии по продуктам окорудных изменений. Изв. АН СССР, № 5, 1968.

Смирнов В.И. Очерки по металлогении. Госгеолтехиздат, М., 1963.

Смирнов Г.М. Геологическое описание части Рачинского уезда Кутаисской губернии. Мат. по геол. Кавказа (сер. 3), 1909.

Тваличрелидзе Г.А. Эндогенная металлогенез Грузии. Тбилиси, 1960.

Тваличрелидзе Г.А. Металлогеническая характеристика главных типов эвгеосинклиналь. "Сов. геология" № 12, 1972.

Тваличрелидзе Г.А., Тваличрелидзе Т.А. Минералогия Квайсинского месторождения. КИМС, Тбилиси, 1948.

Тедеев Ф.А. Геологическое строение и условия образования тальковых месторождений Циелисской группы. Автореферат канд. дисс., Баку, 1972.

Хабалов А.М. Некоторые особенности геологического строения и закономерности размещения барито-полиметаллических и свинцово-цинковых месторождений района верховьев рек Квирила, Джеджора и Паца. Автореферат канд. дисс., М., 1968.

Хирашвили Г.И., Джапаридзе М.Н. Некоторые особенности строения района среднего течения р. Джеджора. Тр. ГПИ, № 2, 1963.

Цагарели А.Л. Верхний мел Грузии. Изд-во АН ГССР, Тбилиси, 1954.

Чочелашивили И.Д. Литология верхнемеловых флишевых отложений междуречья Лиахви-Арагви. Сообщ. АН ГССР, 71, № 2, 1973.

Чихелидзе С.С. Тальк. Природные ресурсы Груз. ССР. М., 1939.

Шония Н.Ф. О возрасте баритового оруденения Западной Грузии. Сб. тр. ГИН АН ГССР, 1959.

Эристави М.С. Грузинская глыба в нижнемеловое время. Изд-во АН ГССР, Тбилиси, 1952.

З.В.ОТХМЕЗУРИ

## ЭНДОГЕННЫЕ РУДНЫЕ ФОРМАЦИИ АБХАЗИИ

Методы формационного анализа рудных месторождений в настоящее время приобрели большое значение в металлогенических исследованиях, ставящих своей целью познание закономерностей образования и размещения месторождений полезных ископаемых и разработку научных основ их прогнозирования. Как известно, в основу металлогенических исследований положен глубокий и всесторонний анализ процессов осадконакопления, магматизма, тектоники и рудообразования в связи с историей геологического развития определенных участков земной коры.

Основная задача формационного анализа эндогенных месторождений - обоснование и разграничение рудных формаций и взаимосвязанных рядов рудных формаций, и на основании сравнительного изучения выяснение их закономерных соотношений в пространстве и во времени, выяснение геологических условий, определяющих появление месторождений различных рудных формаций и прогноз вероятных типов оруденения.

Разные исследователи в понятие "рудная формация" вкладывают различный смысл. В настоящей работе под рудной формацией мы понимаем группу рудных месторождений и проявлений с устойчивым или закономерно меняющимся минеральным составом, принадлежащих к одному генетическому типу и образовавшихся в сходных геологических условиях. Месторождения и рудопроявления одной рудной формации по времени образования соответствуют определенному этапу минерализации, отличаются набором стадийных минеральных ассоциаций и могут быть различного возраста.

Р.М. Константинов (1972, 1973) среди рудных формаций выделяет простые и сложные (переходные). К последним относятся месторождения с совмещенным минеральным составом и геологическими условиями нахождения, характерных для месторождений простых рудных формаций, но образовавшихся в результате единого процесса, происходившего без значительных перерывов во времени. Эти сложные рудные формации являются как бы связывающими звеньями между простыми и обычно многометаллическими.

В условиях пространственного совмещения двух или нескольких рудных формаций, образующихся на различных этапах геологического развития, возникают рудные комплексы или поли-

формационные оруденения. Рудные формации, образующие рудные комплексы, могут быть различного генезиса и возраста. К полiformационному типу оруденения можно отнести массивные согласные залежи медно-пирротиновых руд в глинисто- песчанистой свите лейаса, представляющие собой совокупность гидротермально-осадочных, сингенетических залежей серного колчедана с наложенной пирротин-полиметаллической минерализацией.

На основании вышеизложенного рудные месторождения и проявления Абхазии можно объединить в следующие три основные рудные формации и комплексы: серноколчеданно-медно-пирротин-полиметаллический рудный комплекс, состоящий из серноколчеданной, медно-пирротиновой и полиметаллической формации; барит-полиметаллический комплекс, состоящий из баритовой, свинцово-цинковой жильной и свинцово-цинковой стратиморфной формаций; ртутная формация.

Помимо отмеченных основных рудных комплексов и рудных формаций в пределах Абхазии развиты: скарново-магнетитовая формация (в ущельях рр. Санчар и Белая) и кварц-редкометальная формация, связанная с Келасурским гранитоидным интрузивом батского возраста. Они распространены в Абхазии весьма ограниченно и фиксируются в виде мелких выходов маломощных жил и шлиховых ореолов.

Эндогенные месторождения и рудопроявления встречаются главным образом в высокогорной Абхазии, поэтому в настоящей работе рассмотрены геологическое строение и закономерности размещения эндогенных рудных формаций северной части Абхазии.

### ОСНОВНЫЕ ЧЕРТЫ ГЕОЛОГИЧЕСКОГО СТРОЕНИЯ

Геолого-структурные особенности рудных тел, месторождений и рудных полей в пределах рудоносных провинций во многом зависят от их позиций в структурных этажах, отражающих определенный этап развития отдельных участков земной коры (Вольфсон, Лукин, 1968).

В настоящее время структурным этажом считают толщи горных пород различного стратиграфического объема, связанные единство структурного плана, специфическими формами тектонических нарушений, определенным типом магматизма и метаморфических изменений. Структурные этажи обычно отделяются друг от друга региональными угловыми несогласиями (Справочник... 1970).

В разных геотектонических зонах, имеющих различную историю геологического развития, в зависимости от тектонической

эндоцении, количество и стратиграфический объем структурных этажей могут быть разными.

Проведенные за последние годы сотрудниками Геологического института АН СССР и Грузинского производственного геологического управления комплексные геологические исследования в Абхазии позволили по-новому осмыслить вопросы истории геологического развития отдельных областей исследуемой территории, создать несколько отличающуюся от существующих, схему тектонического районирования — выделить в пределах Абхазии четыре зоны, а в отдельных зонах — структурные этажи (Адамия, Абесадзе и др., 1972).

В северной части Абхазии расположена зона Главного хребта Большого Кавказа, представляющая собой западный отрезок центральной подзоны воздымания антиклиниория Большого Кавказа. Она представляет собой область герцинской консолидации, очень сильно переработанную альпийским тектогенезом, и сложена структурными этажами: герцинским и раннеальпийским.

К югу от нее располагается зона Южного склона Большого Кавказа — палеозойско-мезо-раннекайнозойская геосинклиналь, прстерпевшая консолидацию в позднеальпийское время. В пределах отмеченной зоны обнажаются аспидная формация нижней юры, спилит-порфиритовая формация байоса и карбонатно-терригенный субфлиш бата — верхнего мела, слагающие единый структурный этаж. Зона Южного склона в пределах Абхазии, по данным Ш.А. Адамия, Г.Н. Абесадзе и др. (1972), охватывает Чхалта-Лайлинскую зону и северную часть Гагрско-Джавской зоны, выделенную П.Д. Гамкелидзе (1959).

Зона Предгорий, представляющая собой переходную зону между складчатой системой Южного склона и Грузинской глыбой, является также областью герцинской консолидации, сильно переработанной ранне- и среднеальпийским тектогенезом. В основании разреза здесь залегает метаморфический комплекс герцинского структурного этажа. Он несогласно перекрыт породами раннеальпийского структурного этажа, представленными аспидной формацией нижней юры. Среднеальпийский этаж в пределах зоны Предгорий представлен карбонатной формацией верхней юры и мела и терригенной аркозовой формацией нижнего палеогена. Зона Предгорий соответствует части подзоны северной порфиритовой юры и северной части Абхазской подзоны известняков верхней юры и мела Гагрско-Джавской зоны П.Д. Гамкелидзе (1964).

Наиболее южная, Абхазская зона Грузинской глыбы соответствует южной части Гагрско-Джавской зоны, Сочинской и Гудаутской подзонам П.Д. Гамкелидзе (1964, 1968). Раннеальпийский структурный этаж (нижняя и средняя юра) и Абхазской зо-

не Грузинской глыбы обнажаются лишь местами. Он несогласно перекрыт ворхноюрскими отложениями среднеальпийского структурного этажа (верхняя юра — нижний палеоген). Посудоальпийский этаж представлен верхнепалеоген-антропогеновыми молассами.

## Стратиграфия

Наиболее древние образования высокогорной Абхазии — палеозойские метаморфические и кристаллические формации герцинского структурного этажа, обнажающиеся в основном на водораздельной части Большого Кавказа и представленные амфиболитами, кварцевыми диорит-гнейсами, плагиогранитами и кристаллическими сланцами (Чхотуа и др., 1968).

Породы герцинского структурного этажа обнажаются также в ущелье р. Ацгара в виде тектонического клина (Дудаури, Кецховели и др., 1973) и образуют мелкие выходы в ущельях рек Шоудиди и Джампала.

Аспидная (сланцево-песчанистая) формация нижней юры, слагающая верхний структурный этаж в зоне Главного хребта, является составной частью единого палеозойско-раннекайнозойского структурного этажа в зоне Южного склона и обнажается в низах раннеальпийского структурного этажа зоны Предгорий (Центральная Абхазия).

Аспидная формация в пределах Абхазии расчленена на 8 свит, большинство из которых охарактеризовано фаунистически (Беридзе и др., 1972).

Лашипсинская свита (синемюр-плинсбах, мощность до 800 м) представлена трансгрессивными, преимущественно псевфитовыми и псаммитовыми отложениями, чередующимися с пачками постчано-алевритистых глинистых сланцев.

Агадхарская свита (плинсбах-домер, мощность до 500 м), согласно залегающая на лашипсинской, сложена лавокластолитами и лавами кварц-кератофирового состава, туфами и мелкообломочными туфобрекчиями спилитовых порфиритов.

Ацгарская свита (домер-нижний тоар, мощность до 1000 м), согласно продолжающая агадхарскую, представлена однородными аспидно-глинистыми сланцами с редкими прослоями пелитистых плевролитов. Они содержат мелкие конкрециеподобные выделения сидерита и пирита. В Восточной Абхазии, в верховьях р. Кодори в низах ацгарской свиты глинисто-сланцевые отложения чередуются с рассланцованными известняками и песчаниками. Аспидные сланцы местами напоминают многочисленными пластовыми жилами пьгит-лабрадоровых и уянит-либрадоровых диабазов различной мощности.

Ахейская свита (тотр, мощность до 800 м), постоянно продолжающая антиклиналь, представлена чередующимися спилит-альбитовых (спилитовых) порфиритов, глинистых сланцов и кварцевых песчаников. Местами среди отложений ахейской свиты отмечаются пачки кислых туффитов с кварц-коритофиризованным туфовым материалом. В ущельях правых притоков р. Бзыбь, - Ску, Чамагвара и Шхапсия в нижних частях ахейской свиты отмечается эфузивная фация диабазов, представленная маломощными прослоями микролитовых витрофириров, шаровых лав витрофириров и гиалокластолитов.

Анчхойская свита (аален, мощность до 700 м), согласно продолжающей ахейскую, в основном представлена однородными глинистыми сланцами и сланцевыми аргиллитами с редкими прослоями пелитистых алевролитов.

Кутыкухская свита (верхний аален-нижний байос, мощность до 200 м) сложена туфами, туфобрекчиями и туффитами, в которых залегают маломощные пачки глинистых и туффитовых сланцев и пластовые жилы диабазов. Кутыкухская свита как по составу, так и по стратиграфическому положению, является переходной между аспидной формацией нижней юры и спилит-порфиритовой формацией средней юры.

Аспидная формация нижней юры вверх по разрезу согласно сменяется спилит-порфиритовой формацией байоса, слагающей обширную территорию северной и центральной частей Абхазии. В пределах Абхазии спилит-порфиритовая формация (порфиритовая свита байоса) представлена средне- и тонкослоистыми алевропелитовыми, алевритовыми и псаммитовыми туфами, массивными туфобрекчиями и лавами. В верхах свиты с вулканогенными породами переслаиваются терригенные песчано-глинистые отложения. Максимальная мощность порфиритовой свиты достигает 3-3,5 км и в пределах Абхазии она расчленена на три подсвиты: шотугскую, рицинскую и ригзинскую (Букия, Абамелик, Колсовская, 1971; Джапелидзе, Адамия, и др., 1972).

Порфиритовую свиту байоса в Северо-Западной Абхазии в пределах зоны Южного склона согласно продолжают отложения терригенної формации бата-нижнего оксфорда, представленные чередованием песчанистых алевролитов, граувакковых песчаников и гравелитов с редкими прослоями песчанистых известняков. Терригенная формация бата-нижнего оксфорда в пределах Северо-Западной Абхазии расчленена на бетагскую (бат) и аибинскую (колловей-нижний оксфорд) свиты (Пайчадзе, Кикодзе, Адамия, 1972).

Над терригенными отложениями бата-нижнего оксфорда следуют карбонатные осадки верхнего оксфорда-моли, характери-

зующиеся определенной фациальной зональностью. С севера на юг выделяются: 1) субфликовые фации, представленные аргиллитами, алевролитами, мергелями, известняками и известковистыми песчаниками, 2) переходные фации, сложенные слоистыми органогенными известняками, мергелями, доломитами, аргиллитами, песчанистыми и глинистыми известняками и 3) субплатформенные фации, представленные рифогенными известняками, доломитами, мергелями, песчаниками и глинами. Отмеченные фациальные зоны приурочены соответственно к зонам Южного склона, Предгорий и Абхазской зоне Грузинской Глыбы, они характеризуются общекавказским простираением и постепенными взаимными переходами (Какабадзе, 1972).

Палеогеновые отложения, согласно продолжающие меловые вверх по разрезу, в полосе переходных фаций представлены аргиллитами, алевролитами и мергелями, а в зоне субплатформенных фаций — мергелями и известняками (Салуквадзе, 1972).

### Магматизм

Наиболее древними магматическими образованиями на территории Абхазии являются гранитоидные породы палеозойского возраста, принимающие участие в строении кристаллического ядра Главного хребта. Они представлены плагиогранитами, плагиогранит-гнейсами, кварцевыми диоритами и гранодиоритами ранне-горцинского и микроклиновыми гранитами позднегорцинского возраста (Адамия, Абесадзе, 1972).

Постпалеозойские интрузивы в Абхазии распространены довольно широко. Они образуют отдельные массивы, иногда довольно значительных размеров и мелкие штоки, дайки, согласные и секущие жилы.

Наиболее ранними продуктами постпалеозойской магматической деятельности являются согласные тела и дайки альбитофиров, залегающие в кристаллических и аспидных сланцах. Альбитофировые тела генетически связаны с нижне- и среднелейасской спилит-кератофирировой формацией и представляют собой их субвулическую фацию (Дудаури, Тогонидзе, 1972).

Диабазы, диабаз-порфиры и габброиды играют значительную роль в строении постпалеозойских интрузий Южного склона Большого Кавказа вообще и северной Абхазии, в частности. Они развиты в палеозойских кристаллических породах, в лейасовых глинисто-песчанистых отложениях, в среднеюрских интрузивах и терригенных образованиях колловея-нижнего оксфорда.

Диабазы и диабаз-порфиры, развитые в палеозойских кристаллических породах, представлены буророговообманиковыми

и уралитовыми разностями. В синклинальной свите дайлы они образуют пластовые жилы различной мощности и, реже, скученые штокообразные тела изометрической формы, представленные уралит-диабазорами и пироксен-диабазитами дайбазитами и диабаз-порфиритами. Согласные тела в кембрий-нижнеокефордских терригенных отложениях представлены щелочными габбро-диабазами (Дудаури, Тогонидзе, 1972).

Значительную роль в строении северной и центральной частей Абхазии играют среднеюрские интрузивы, образующие несколько крупных массивов и ряд мелких выходов, расположенных линейно вдоль зоны сочленения кристаллического субстрата Главного хребта и складчатой системы Южного склона (Кардывачский, Санчарский и Бзыбский интрузивы) и в зоне предгорий (Келасурский и Горабский интрузивы).

Интрузивы, расположенные в зоне сочленения кристаллического субстрата и складчатой системы Южного склона, секут как доюрские образования, так и отложения лейаса. Они вытянуты в общекавказском направлении и образуют пластообразные тела с падением на север.

Кардывачский массив сложен диабазами, габброидами, гранитами, гранофирами и жилами аплита, Санчарский – пироксенитами, габбро, диоритами и плагиогранитами, Бзыбский – роговообманковыми габбро, диоритовыми порфиритами, гранитоидами, шпилитами и дайками диабазов и порфириров. В отмеченных интрузивах широко развиты процессы гибридизма (Дудаури, Тогонидзе, 1972).

Интрузивы Центральной Абхазии (Келасурский и Горабский) по типам пород и эволюции магматизма обнаруживают большое сходство с вышеописанными интрузивами. Они приурочены к зоне Предгорий – переходной между складчатой системой Южного склона и абхазской зоной Грузинской глыбы. Отмеченные интрузивы, представляющие собой крупные штокообразные тела, секут доюрские метаморфические породы, глинистые сланцы лейаса, порфиризовую свиту байоса и трансгрессивно перекрываются нижнепалеозойскими отложениями.

Келасурский гранитоидный массив сложен крупно- и среднегабриотитовыми биотитовыми гранитами, аплитовыми и пегматитовыми жилами. В малом количестве в строении Келасурского массива принимают участие кварцевые диориты, дайки диабазов и кимберлиты имеющие основные породы (Отхмезури, 1961).

Горабский интрузив расположен восточнее Келасурского, вытянут в широтном направлении и имеет штокообразную форму залегания и представлен пироксенитами, габбро, диоритами, аплитовыми и пегматитовыми жилами (Тогонидзе, 1973).

Возраст интрузивных массивов Северной и Центральной Абхазии достаточно точно определяются как среднеюрский (батский) геологическими (Чхотуа, 1941; Заридзе, Татришвили, 1959; Заридзе, 1961) и радиологическими методами (Рубинштейн, 1987).

## Тектоника

Территория Абхазии характеризуется неоднородным тектоническим строением. Как уже отмечалось, в ней выделены четыре тектонические зоны, отличающиеся своеобразными типами складчатых и разрывных нарушений и специфическими чертами геологического развития.

В результате проведенных в пределах Абхазии комплексных геологических исследований была предпринята попытка тектонического районирования по характеру складчатых дислокаций. Учитывая общее уменьшение интенсивности складчатости с севера на юг в альпийском складчатом чехле Южного склона Большого Кавказа вообще, Ш.А. Адамия и Б.Г. Вашадзе (1972) на территории Абхазии выделяют три основные полосы общекавказского простириания: полосу альпинотипных дислокаций, полосу дислокаций промежуточного типа и полосу германотипных дислокаций.

Полоса альпинотипных дислокаций охватывает южную часть зоны Главного хребта и зону Южного склона, полоса дислокаций промежуточного типа соответствует зоне Предгорий, а полоса германотипных дислокаций совпадает с Абхазской зоной Грузинской глыбы.

Зона Главного хребта Большого Кавказа представляет собой крупный асимметричный, опрокинутый к югу антиклиниорий сложного строения, сильно сжатый и дислоцированный, раздробленный на всем протяжении продольными разломами (Гамкрелидзе, 1964, 1966). Она сложена двумя структурными этажами: нижним – герцинским, представленным породами метаморфической серии и палеозойскими гранитоидами, на которые трансгрессивно налегают породы асфидно-глинистой формации верхнего, риинеальпийского этажа.

В зоне Главного хребта трансгрессивное залегание лейасовых отложений на породы древнего кристаллического субстрата фиксируются в Северо-Западной Абхазии. Структурный план обоих этажей, несмотря на большой стратиграфический перерыв, в целом совпадает, так как доюрские и юрские породы, вследствие палеоальпийского тектогенеза, смяты в складки и образуют сильно сжатые, субзоклинические, опрокинутые к югу или вертикальные складки общекавказского простириания. В Северо-Восточной Абхазии, в зоне Главного хребта, верхний структурный этаж отсутствует.

Зона Главного хребта в пределах Северо-Восточной Абхазии ограничивается от зоны Южного склона Магана-Клычским региональным разломом ("Главный надвиг"). В северо-Западной Абхазии граница между этими зонами проходит южнее выходов палеозойских пород урочищ Бешта и Камонисти, вдоль скрытого глубинного разлома, фиксирующегося на поверхности в виде зон смятия, трещиноватости, гидротермального изменения и проявления ртутного оруденения (Абесадзе, 1972).

В зоне Южного склона, в пределах Абхазии намечаются два сегмента — западный и восточный. Западный сегмент представляет собой восточное окончание Новороссийского флишевого синклиория, где сохранился режим геосинклинального погружения герцинского и альпийского циклов развития и который претерпел интенсивную складчатость лишь в конце альпийского цикла. Восточный сегмент — Центрально-Абхазское поднятие — является, по-видимому, областью герцинской консолидации, вовлеченной в геосинклинальное погружение в ранней и средней юре и областью проявления предверхнекварцевой складчатости, претерпевшей интенсивную переработку в позднеальпийское время. Обнажающиеся в западном сегменте юрские и меловые отложения образуют единый структурный этаж, а в восточном отмечается только раннеальпийский этаж, несогласно налегающий на герцинский (Адамия, Беридзе и др., 1973).

В строении зоны Южного склона принимает участие ряд сильно сжатых, изоклинальных и опрокинутых на юг линейных складок, крылья которых часто разорваны. Складки асимметричны, с более крутым падением южных крыльев антиклиналей и северных крыльев синклиналей. Крылья складок местами осложнены более мелкими вторичными складками.

Дизьюнктивные нарушения, в основном общекавказского простирания, параллельны Магана-Клычскому разлому. По своему характеру эти разломы представляют собой взбросо-надвиги с падением плоскостей сместителя на север, северо-восток, местами чешуйчатые, с различными амплитудами горизонтального и вертикального перемещения. Наибольшими амплитудами перемещений характеризуются разломы в районе перевала Аданге. Почти все разломы сопровождаются зонами трещиноватости и дробления различной мощности (от нескольких метров до 200–300 м). В зонах дробления породы сильно ороговикованы и к ним приурочены оруденения медно-пирротиновой формации.

Особо следует рассмотреть характер разломов, разграничающих зоны Главного хребта и Южного склона в пределах Северо-Западной Абхазии. Как известно, ряд исследователей границу

между отмеченными геотектоническими зонами проводят по тектоническому контракту между кристаллическим ядром и расположенной южнее аспидной формацией лейаса, известной в литературе под названием "Главный надвиг" и представляющей собой долиногенерирующий глубинный разлом дрессинга, дна юрского залижения (Гамкрелидзе, 1964). Как показали исследования Ш.А. Адамия и Г.Н. Абесадзе (1972), метаморфиты кристаллического ядра в пределах Северо-Западной Абхазии образуют тектонический контакт с аспидной формацией нижней юры по типу субпараллельным кулисообразно расположенным чешуйчатым взбросо-надвигам, развитым преимущественно в южных крыльях опрокинутых на юг антиклиналей. Амплитуды перемещений по отмеченным нарушениям, имеющим общекавказскую ориентацию, весьма умеренные; крупных горизонтальных перекрытий по ширине по мощности и фациальному характеру отложения нижней юры. Результаты детальных литологических исследований крыльев северных выходов порfirитовой свиты байоса позволяют, по Ш.А. Адамия и Г.Н. Абесадзе, считать, что абхазская часть зоны Главного хребта в ранней и средней юре была областью супплémentации. Поэтому, по мнению вышеотмеченных авторов, основания считать кулисообразные взбросо-надвиги, расположенные на стыке метаморфитов и сланцевых отложений в пределах Северо-Западной Абхазии, границей двух резко отличающихся друг от друга геотектонических единиц, существовавших в ранней и средней юре. Эта граница проходит, по-видимому, несколько южнее отмеченных разрывов и представляет собой разлом (или разломы) фундамента, который вверх по разрезу затухает в мощной аспидно-сланцевой формации нижней юры. На современной поверхности он фиксируется в виде зон смятия, дробления, трещиноватости, мелких разрывов, а также по наличию гидротермально измененных зон с ртутной минерализацией. Что касается кулисообразных разрывов на стыке метаморфитов и сланцевых отложений лейаса, то они представляют собой альпийские взбросо-надвиги, развитые в южных крыльях опрокинутых на юг антиклиналей, столь характерных структур для складчатой системы Южного склона Большого Кавказа (Абесадзе, 1972).

Южнее полосы поганинотитовых дислокаций расположена полоса развития склоновых дислокаций промежуточного типа, с которой в пределах Западной Абхазии совпадает полоса переходных фаций от субфинитовых к субплатформенным. Отметенная полоса дислокаций промежуточного типа соответствует зоне Предгорий — области герцинской консолидации, сильно проработанной рифами и срецинами синекстогенеза. Здесь, в основании

ии разрезы осложняют метаморфический комплекс, обраziющий горчинский структурный этаж, по-глазую перекрывающейся аспидно-сланцевой формацией нижней юры. Последнюю совместно со спилит-порfirитовой формацией байоса и морской субмолассовой формацией бата образуют раннеальпийский структурный этаж. Самым верхним структурным этажом в зоне Предгорий является позднеюрский-раннепалеогеновый этаж, отделенный от нижележащего поверхностью размыва. Этот этаж начинается трансгрессивной теригенной толщей келловея-раннего оксфорда, за которой следует карбонатная, часто рифогенная формация верхнего оксфорда-титона, нижнего и верхнего мела и теригенно-карбонатная толща палеоцена-нижнего и среднего эоцена.

Для зоны Предгорий характерно развитие промежуточных между альпинотипным и германотипным складчатых дислокаций. Это, главным образом, линейные складки умеренной протяженности, местами короткие, брахиформные, ориентированные под углом к общекавказскому направлению. Складки часто асимметричные, с узкими гребневидными антиклиналями и широкими синклиналями. Наблюдаются переходы изоклинальных, сильно сжатых складок, в пологие куполовидные складки. В южных крыльях (опрокинутых на юг) крупных антиклиналей часто наблюдается развитие дисгармоничных складок, которые по мере выполнения крупных складок постепенно затухают (Вашадзе, 1972). Разрывные нарушения в зоне Предгорий представлены главным образом взбросами, с крутым падением сместителей на север и северо-восток.

Полоса германотипных дислокаций, расположенная южнее промежуточной, соответствует Абхазской зоне Грузинской глыбы Закавказского срединного массива и сложена тремя структурными этажами: раннеальпийским (нижняя и средняя юра), среднеальпийским (верхняя юра, нижний палеоген) и верхнеальпийским (верхний палеоген и антропоген). Она характеризуется наличием главным образом симметричных складок и пологими падениями крыльев как общекавказского направления, так и ориентированного под углом к нему. Амплитуды складок небольшие; характерны сундучные, гребневидные и куполообразные формы. Разломы представлены в основном крутопадающими, почти вертикальными взбросами субширотного простирания.

## История геологического развития

История геологического развития территории Абхазии в доальпийское время и возраст древнейших пород, слагающих кристаллический субстрат — метаморфиты и гранитоиды, являются в настоящее время предметом дискуссий. Исследования доюрских образований Кавказа, проведенные за последние годы (Адамия, 1968), а также геолого-петрографическое изучение древних метаморфитов Абхазии показывает, что их исходные породы представлены геосинклинальными отложениями нижне- и среднепалеозойского возраста. Большая мощность этих пород указывает на существование геосинклинального режима в течение докембра (?), нижнего и среднего палеозоя. В конце среднего палеозоя формируются плагиограниты, образование которых связывается с раннегерцинской орофазой (Рубинштейн, 1967). Более молодые, калишпатовые граниты образовались в начале верхнего палеозоя. Верхний палеозой-триас для зоны Главного хребта был орогенным этапом, в течение которого этот участок земной коры превращается в горно-складчатое сооружение. Наблюдается также инверсия Абхазской зоны Грузинской глыбы, зоны Предгорий и частично зоны Южного склона (восточный сегмент). В западном сегменте зоны Южного склона, по Ш.А. Адамия, сохранился геосинклинальный режим, где отлагались флишоидные отложения верхнего палеозоя и триаса.

Таким образом, перед началом альпийского цикла развития большая часть современной территории Абхазии была консолидирована, и геосинклинальный трог сохранился лишь в виде узкого остаточного бассейна на восточном продолжении Новороссийского флишевого синклиниория.

Начало альпийского этапа развития северной части Абхазии связано с лейасовой трансгрессией и формированием обширного геосинклинального бассейна Южного склона Большого Кавказа. В геосинклинальное погружение были вовлечены южная периферия Главного хребта и северная периферия Грузинской глыбы. В нижней юре осаждались аспидно-сланцевая формация, которая в западном сегменте зоны Южного склона, по-видимому, согласно продолжает верхнепалеозойские и триасовые отложения и трансгрессивно налегает на размытые поверхности герцинского кристаллического субстрата в зонах Главного хребта, Предгорий и в восточном сегменте зоны Южного склона. Сланцевая формация представлена в основном монотонными глинистыми сланцами с прослоями песчаников в верхней части разреза. На определенных уровнях разреза лейасовых отложений (авидхарская, ахейская,

Кутыкухская свиты) фиксируются вулканокластолиты, которые, по данным М.А. Беридзе, в северо-западной части Абхазии составляют примерно шестую часть разреза.

В Центральной Абхазии, в районе Кыласурского массива, наблюдается резкое уменьшение мощности верхнолайасовых отложений, обусловленное, по-видимому, образованием подводных поднятий в связи с донецкой фазой складчатости. Севернее, в пределах зоны Южного склона, отмеченная фаза вызвала укрупнение материала, слагающего осадочные образования и появление псаммитовых песчаников в ахейской свите тоарского возраста (Адамия, Абесадзе, и др., 1972).

Байосский век характеризуется дальнейшим интенсивным прогибанием геосинклиналии Южного склона и северной периферии абхазской зоны Грузинской глыбы, мощным вулканизмом с образованием спилит-порфиритовой формации байоса. Доюрский структурный план полностью затушевывается и лишь по некоторому сокращению мощностей лейасовых и байосских образований резкому увеличению лавовых фаций в последних, фиксируется Центрально-Абхазское поднятие.

Батская фаза складчатости вызвала коренные структурные перестройки в пределах Абхазии – геосинклинальный режим прервался на большей части территории и сохранился лишь в западном сегменте зоны Южного склона, на месте остаточного предюрского геосинклинального трога. В западной части территории современной Абхазии, в пределах остаточного морского бассейна, по-видимому, образовался остров (кордильера Ахцу-Кацирха), представляющий собой область сноса в батский век, когда в Центральной и Западной Абхазии происходило накопление морских молассоподобных граувакковых песчано-глинистых отложений. Батская фаза складчатости сопровождалась формированием гранитоидных интрузивов, продукты которого в виде крупных массивов располагались в районе интенсивного проявления батской складчатости и на краях остаточного геосинклинального бассейна.

Среднеальпийский этап развития территории Абхазии начинается верхнеюрской трансгрессией, которая охватила территории Центральной и Западной Абхазии. Лишь местами сохранились остатки, сложенные порфиритовой свитой байоса и песчано-глинистыми отложениями бата, которые служили источником образования песчано-глинистой аибинской свиты келловея-нижнего оксфорда. Терригенная седиментация в верхнем оксфорде (лузитане) сменилась карбонатной. В западном сегменте зоны Южного склона накапливаются субфлишевые фации-песчаники и аргиллиты с редкими линзами органогенных известняков, в то же время Предгорье – сложные известняки с прослойками массивных рифогенитов и доломитов.

вых известниками, с линзами и стяжениями кремния. Южнее зоны Предгорий отлагались субплатформенные фации, представленные рифогенными известниками.

Аналогичная фациальная зональность наблюдается в отложениях нижнего и верхнего мела, представленных почти полностью известняками, согласно продолжающих верхнеюрские отложения. В течение нижнего и верхнего мела в западном сегменте зоны южного склона отлагались субфлишевые отложения – мергели, известняки и аргиллиты, в полосе переходных фаций – мергели, известняки и глины, а в полосе субплатформенных фаций в основном – известняки и мергели.

Максимум погружения в пределах Абхазии в мелу наблюдается в барреме и туроне, одновременно в ряде участков проявляются грубообломочные прибрежные фации, обусловленные наличием кордильер в апте и в конце турона. Как видно из фациальной зональности верхнеюрских и меловых отложений, значительных изменений структурного плана в меловом периоде не произошло. Не произошли существенные изменения структурного плана и в раннем палеогене.

В позднем эоцене вдоль антиклинальных поднятий возникают острова-кордильеры, продукты размыва которых образуют терригенно-аркозовую формацию верхнего эоцена.

С олигоценом на территории Абхазии происходит инверсия рельефа, на месте геосинклиналии Южного склона формируется складчатая система, продукты разрушения которой накапливаются в виде моласс в южной части абхазской зоны Грузинской глыбы.

Позднеальпийский орогенный этап развития в северной части Абхазии характеризуется интенсивным сжатием, образованием линейных складок и чешуйчатых надвигов общекавказского просстриания.

## РУДНЫЕ ФОРМАЦИИ

### Серноколчеданная формация

Данная формация в пределах Абхазии распространена ограниченно и представлена линзообразными залежами и прослойями сплошных пиритовых руд в глинистых сланцах, алевролитах и песчаниках ахейской свиты, обогащенных конкреционными стяжениями пирита. Проявления серноколчеданной формации отмечаются на рудопроявлениях Шхапэя, Шхапарт и Башкацара.

Залежи сплошных пиритовых руд серноколчеданной формации достигают в поперечнике нескольких метров; в участках сопряжения с тектоническими нарушениями они разделены и сце-

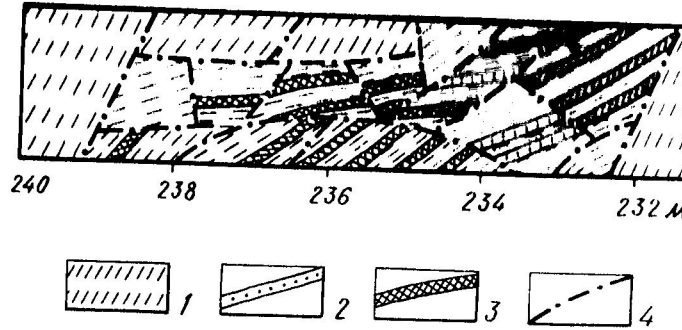


Рис. 1. Морфология серноколчеданной залежи в глинистых сланцах. Схематическая зарисовка правой стенки штольни № 22. Рудопроявление Шхапарт. 1 - глинистые сланцы, 2 - прослои песчаников и алевролитов, 3 - пиритовые прослои, 4 - разрывные нарушения.



Рис. 2. Коломорфное стяжение пирита (светлое), замещающееся пирротином (серое). Темно-серые выделения в центре снимка - сфалерит. Полированный шлиф. Ув. 70. Снято в одном николе.

монтированы истертой пирит-мельниковитовой массой. Особенно интенсивно процессы дробления серноколчеданных руд выявляются на рудопроявлении Башкацара, в участке наибольшего сжатия лейасовых пород, где древний кристаллический субстрат Главного хребта Большого Кавказа надвинут на глинистые сланцы. Неперекрытым остается лишь узкая полоса лейасовых отложений в несколько сотен метров. Руды серноколчеданной формации здесь представлены крупными обломками, совместно с глыбами песчаников в глинисто-сланцевых отложениях. В участках менее интенсивных тектонических напряжений массивные залежи пирита будинированы; призальбандные участки серноколчеданных будии сильно рассланцовены.

Прослои серного колчедана с примесью глинисто-песчанистого материала согласно залегают в песчано-сланцевой толще. Мощность насыщенного пиритовыми прослойми горизонтов достигает местами 70 м, руды обычно раздроблены на отдельные блоки, которые смешены на малую амплитуду по отношению друг к другу (рис. 1).

Сплошные залежи и прослои серного колчедана характеризуются весьма простым составом. Они представлены главным образом пиритом, с примесью мельниковита. Пирит образует густые вкрапления и сплошные выделения в массе алевролитов и песчаников. Вкрапления сложены кристаллами изометрической формы. Помимо кристаллов пирита, реже встречаются округлые выделения пирит-мельниковитового состава, характеризующиеся коломорфным строением (рис. 2).

Серноколчеданная формация занимает вполне определенный уровень в верхах ахейской свиты тоарского возраста. В полосе распространения серноколчеданной формации на правом склоне р. Бзыбь, в ущельях правых ее притоков Западной Скеу, Скеу, Чамагвара, Шхапэзия, под пачкой песчаников отмечаются выходы инфильтрационной фации диабазов, представленные микролитовыми диплазовыми витрофирами, шаровыми лавами витрофирированной структуры и гиалокластитами; цементом для последних служит глинистая масса, в которой отмечаются прожилки кварц-хлорит-карбонатного состава с вкраплениями пирита. По данным М.Л. Беридзе, отмеченные вулканиты представляют собой продукты подводных изливаний басмальтоидных магм. Серноколчеданный рудоносный горизонт разделяет стратиграфически выше уровня наклонения продуктов подводной вулканической деятельности в тоаре. По-видимому, процесс наклонения серноколчеданных руд связан с поствулканической стадией тоарского подводного вулканизма. Ни гидротермально-осадочный генезис серноколчеданных руд Абхазии указывают также проявления В.И. Буадзе сравнивательно-

исследования изотопного состава серы пиритом из рудных тел и вулканитов. Серноколчеданные залежи представляют собой своеобразный "геохимический барьер" для последующих гидротермальных растворов и при благоприятных структурных условиях в случае наложения на серноколчеданные руды гидротермальной медно-пирротин-полиметаллической минерализации могут возникнуть промышленные скопления руд.

### Медно-пирротиновая формация

Эта формация в пределах Высокогорной Абхазии представлена своеобразными рудными проявлениями преимущественно пирротин-халькопиритового состава, залегающими в сланцево-песчанистой свите нижней юры. Рудопроявления образуют линейно вытянутую в общекавказском направлении рудоносную зону, которая прослеживается с перерывами от истоков р. Белая на западе, до водораздельного хребта между рр. Гвандра и Сакени на востоке.

Рудопроявления медно-пирротиновой формации Абхазии слагают западную часть выделенного Г.И. Харашвили (1964) медно-пирротинового пояса Большого Кавказа, развитого в виде кулисообразно расположенных рудных зон вдоль Главного хребта как на северном, так и на южном его склонах.

Медно-пирротиновые проявления в западной части Высокогорной Абхазии приурочены к спилит-кератофировой вулканогенной авадхарской свите плинсбахского возраста. К востоку оруденение занимает более высокие уровни разреза лейаса. Оно приурочено к сланцевым и песчанистым отложениям ацгарской (плинсбах-тоар), ахейской (тоар) и анчхойской (аален) свит.

Основной рудоконтролирующий фактор пространственного размещения медно-пирротиновой минерализации – это структурный контроль оруденения. Медно-пирротиновые рудопроявления приурочены к линейно вытянутым в общекавказском направлении крупным тектоническим разрывам, прослеживающимся на большие расстояния. Эти разломы представляют собой чешуйчатые взбросо-надвиги, амплитуда которых возрастает по направлению к району перевала Аданге. Отмеченные взбросо-надвиги перекрывают ряд структур, и ширина выходов нижнеюрских отложений от ущелья р. Грыбза до перевала Аданге уменьшается от 5-6 км до 500-700 м. Разломы ориентированы с северо-запада на юго-восток и субпараллельны надвигу палеозойского кристаллического субстрата на лейасовые отложения (Магана-Клычский разлом).

Медно-пирротиновые проявления приурочены к двум взаимно параллельным системам разломов и образуют две оруденелые зоны – северную и южную. Местами северная и южная ору-

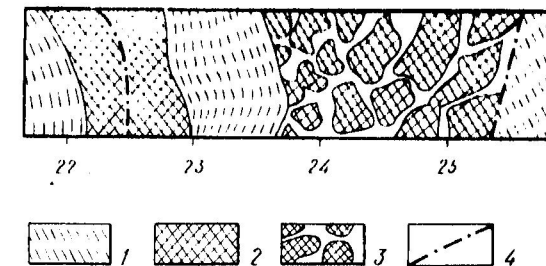


Рис. 3. Морфология медно-пирротинового рудного тела. Зарисовка левой стенки штольни №39. Рудопроявление Шхапзия.  
1 – глинистые сланцы, 2 – массивные медно-пирротиновые руды, 3 – брекчированные пирит-пирротиновые руды, 4 – тектонические нарушения.



Рис. 4. Обломки глинистых сланцев (черное), сцепментированные пиритом (светло-серое). Пирит и обломки глинистых сланцев окутаны халькопиритом (темно-серое). 1/2 натур. величины.

детальные зоны сближаются и образуют единую рудоносную полосу, разделенную маломощными пачками глинистых сланцев.

Северная рудоносная зона представлена полосой интенсивно раздробленных глинистых сланцев и песчаников мощностью до 100 м, которые цементируются орудонением пирит-халькопиритового состава, местами содержащим сфалерит и галенит.

Южная рудоносная зона, прослеживающаяся с перерывами, представлена залежами массивных серноколчеданных руд с наложенной пирротин-халькопирит-сфалерит-галенитовой минерализацией. Они достигают мощности до 10 м, обычно разлинованы и мыклинируются как в северо-западном, так и юго-восточном направлении.

В районе перевала Аданге, на рудопроявлении Башкацара рудоносная зона представлена интенсивно раздробленными глыбами серного колчедана, песчаников и сланцев, скементированных глинисто-песчанистым материалом с примесью пирит-халькопиритовой руды.

Среди рудных тел медно-пирротиновых проявлений Абхазии выделяются три морфологических типа: 1) линзообразные, 2) штокверковые и 3) прожилковые, гнездовые и вкрапленные рудные тела.

Линзообразные рудные тела представлены массивными и брекчийевыми рудами, сложенными пиритом, пирротином и халькопиритом, локализующимися в перегибах зон дробления. Массивные и брекчийевые линзообразные рудные тела наблюдаются в основном в южной рудоносной зоне на рудопроявлениях Шхапэзия, Башкацара, Твибрашери (рис. 3). В центральных частях линзообразных залежей наблюдаются интенсивно раздробленные вмещающие сланцы, скементированные рудой пирит-пирротин-халькопиритового состава. Местами рудный цемент количественно преобладает над обломками, что придает руде массивный облик. Сланцеватость в обломках глинистых сланцев различной ориентировки. Местами обломки сильно деформированы и обтесаны (рис. 4).

В периферийных частях линзообразных залежей как в висячем, так и лежачем боках, наблюдаются прожилки кварца и пирита, образующие своеобразный чехол вокруг линзообразных рудных тел.

Штокверковые рудные тела отмечаются в зонах интенсивного рассланцевания как в северной, так и в южной рудоносных зонах. Они встречаются главным образом в хрупких окварцованных и ороговикованных глинистых сланцах. Последние секутся кварцевыми, кварцево-рудными и рудными прожилками как параллельно, так и поперек сланцеватости.

Прожилковые, гнездовые и вкрапленные рудные тела раз-

виты в зонах повышенной трещиноватости в контактах диабазов с глинистыми сланцами. Отмеченный морфологический тип рудных тел распространен в основном в северной рудоносной зоне, которая характеризуется развитием в глинистых сланцах в большом количестве даек и силлов диабаза. Сульфидные минералы: халькопирит, сфалерит и галенит в приконтактовых участках диабазов и глинистых сланцев образуют вкрапления и гнезда, реже – прожилки.

Среди отмеченных морфологических типов рудных тел с практической точки зрения наиболее значительны залежи массивных медно-пирротиновых руд, представляющих собой сложный комплекс – совмещенные в пространстве серноколчеданная и медно-пирротиновая рудные формации.

Минералогический состав руд медно-пирротиновых рудопроявлений Абхазии не характеризуется большим разнообразием. Главные рудные минералы представлены пирротином, пиритом, халькопиритом, сфалеритом, галенитом. Редко встречаются в рудах марказит, арсенопирит, линнеит, валлерит и кобальтин. Нерудные минералы в основном представлены кварцем, реже карбонатами – кальцитом и сидерит-анкеритом. В подчиненном количестве в жильной массе встречаются хлорит и серицит. Последние обычно являются составными минералами гидротермально измененных боковых пород.

Помимо вышеупомянутых гипогенных минералов в рудах медно-пирротиновых проявлений Абхазии встречается ряд редких минералов, образующих мелкие выделения в основных рудослагающих минералах. Однозначная диагностика этих минералов из-за их малого распространения и мелких размеров, весьма затруднительна, а в ряде случаев невозможна без применения специальных методов исследования.

Пирротин – один из основных рудослагающих минералов массивных, линзообразной формы рудных тел, а также прожилков в глинистых сланцах, алевролитах, песчаниках и диабазах. В массивных рудах пирротин значительно преобладает над остальными рудослагающими минералами, образуя сплошные мономинеральные агрегаты, содержащие в малом количестве неправильной формы выделения халькопирита и сфалерита. Помимо сплошных мономинеральных руд пирротин образует также ксеноморфные выделения в жильном кварце и реже во вмещающих породах. В зонах брекчирования пирротин совместно с пиритом часто цементирует обломки вмещающих пород, образуя руды брекчевой текстуры.

Агрегаты пирротина сложены более или менее изометрическими, слегка удлиненными, неправильной формы зернами. Размеры зерен варьируют от 0,1 до 0,5 мм, изредка достигая 1–2 мм.

Для пирротина характерны признаки метаморфизма, вызванного, по-видимому, локальными причинами, так как в одних и тех же образцах руд, поряду с метаморфическими участками, встречаются участки совершенно не носящие следов метаморфизма. Метаморфизм в пирротинах выявляется в субпараллельной ориентации отдельных удлиненных зерен, в волновании изгибающихся линзообразных выделений, в наличии плотинчатого двойникования, перпендикулярно удлинению зерен. Процессы метаморфизма затронуты и другие рудослагающие минералы — в массе пирротина наблюдаются обтесанные линзообразные кристаллы и агрегаты кристаллов пирита, кварца, сфалерита, ориентированные параллельно удлиненным зернам пирротина.

Взаимоотношения пирротина с основными рудослагающими минералами показывают, что он формировался после кристаллизации пирита и до образования халькопирита, сфалерита и галенита.

Пирротин совместно с халькопиритом цементирует раздробленные кристаллы раннего пирита, и, в свою очередь, содержит в межзерновых пространствах мелкие ксеноморфные выделения халькопирита и сфалерита. Последние корродируют выделения пирротина, а иногда замещают их. В сфалерите и халькопирите местами отмечаются реликты параллельно ориентированных округлых зерен пирротина.

Особо следует выделить замещение пирротина дисульфидами железа — процесс дисульфидизации, широко распространенный в медно-пирротиновых рудах.

В агрегатах пирротина вдоль межзерновых пространств и отдельных микротрешин наблюдаются образования мелких прожилок (до 0,1 мм), сложенных изометрическими зернами пирита, и реже марказита. Прожилки дисульфидов железа часто обволакивают отдельные агрегаты пирротина, создавая петельчатую микротексттуру замещения (рис. 5). Дисульфиды железа в виде прожилок развиваются также в участках пирротина, граничащих с халькопиритом, сфалеритом, кварцем и особенно с карбонатом, который представлен железистой разностью (сидерит-анкеритом). Прожилки последнего в пирротинах постоянно окаймляются тонкими полосками новообразований дисульфидов железа. Пирит-марказитово прожилки в пирротине часто сопровождаются каемками мельниковит-марказита, который представляет собой промежуточный продукт преобразования пирротина в дисульфиды железа. В участках, где процессы замещения развиты слабо, в пирротине наблюдаются образование лишь мельниковит-марказита. При наиболее далеко зашедших процессах дисульфидизации мельниковит-марказит вообще отсутствует, и прожилки дисульфидов железа представлены пиритом и марказитом. В метаморфизованных участках пирротина

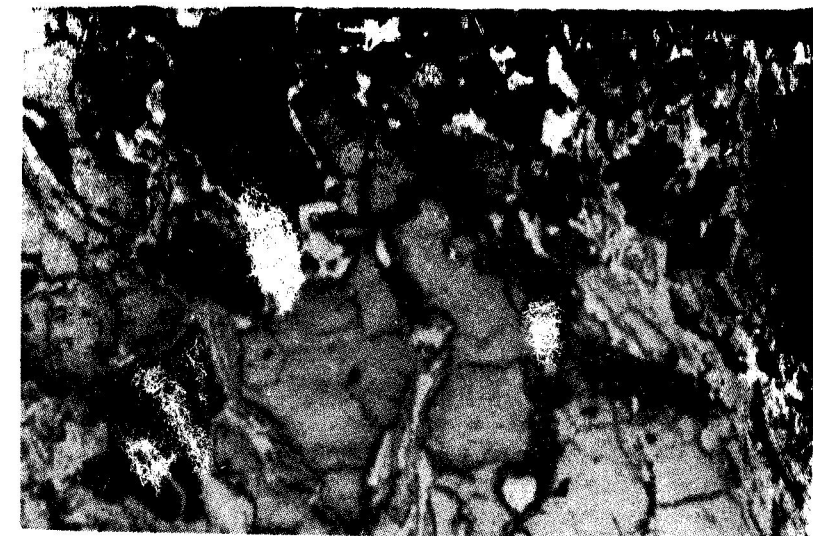


Рис. 5. Дисульфидизация пирротина (серый основной фон). Светлые рельефные прожилки — пирит, темные выделения — кварц. Полированный шлиф. Ув. 70. Снято в одном николе.

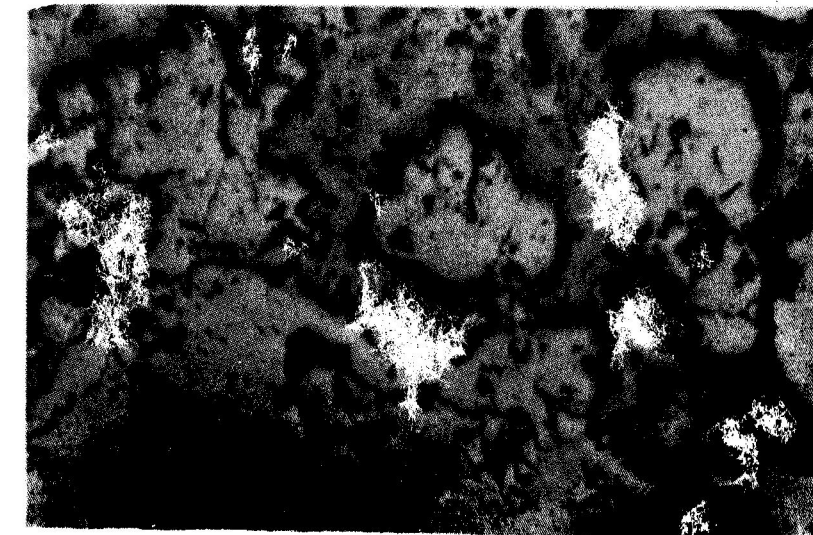


Рис. 6. Коррозия пирита (спотно, с высоким рельефом) халькопиритом (светло-серое). Полированный шлиф. Ув. 70. Снято в одном николе.

процесса дисульфидизации развиты **значительно** олигии. Здесь часто наблюдаются попорочные к ориентации морен пирротина трещинки, эмульсионные сидерит-апперитом и **окамененные** дисульфидами железа. Проведенные исследования процесса дисульфидизации медно-пирротиновых руд Грузии (Отхмозури, 1980) показали, что замещение пирротина пиритом и марказитом обусловлено выносом железа из решетки пирротина.

Халькопирит встречается в рудах в подчиненном, по сравнению с пирротином, количестве и ассоциирует, с одной стороны, с пирротином, а с другой – со сфалеритом в карбонатных прожилках, секущих кварц-пирит-пирротиновые агрегаты. Помимо этого халькопирит встречается в виде эмульсионных вкраплений в зернах сфалерита.

Халькопирит образует вкрапления и гнезда неправильной формы в жильном кварце, местами корродируя его; встречается также и во вмещающих диабазовых и сланцевых породах в виде коротких мелких прожилок. В массивных рудах халькопирит образует тесные срастания с пирротином, часто разъедает его и образует в нем разветвляющиеся прожилки. В метаморфизованных участках пирротин-халькопиритовые агрегаты расположены субпараллельно, выявляя микрополосчатое строение.

Вторая разновидность халькопирита встречается гораздо реже; он тесно ассоциирует с карбонатом, сфалеритом и, возможно, с галенитом. В карбонатных прожилках, секущих пирит-пирротиновые агрегаты, он совместно со сфалеритом образует ксеноморфные выделения в межзерновых пространствах. Выделения обеих разновидностей халькопирита цементируют раздробленные участки раннего пирита (рис. 6).

Третья разновидность халькопирита представляет собой продукт распада твердого раствора сфалерит-халькопирит. Последний образует как мельчайшие (тысячные доли мм) эмульсионные вкрапления, так и мелкие пластинчатые выделения в сфалерите. Издорка среди продуктов распада в сфалерите встречаются и вкрапления пирротина. Местами в сфалеритах с вкраплениями халькопирита отмечаются обособленные, прожилкообразные выделения или расположенные цепочкой изометрические зерна халькопирита, причем участки сфалерита, непосредственно граничащие с выделениями халькопирита, очищены от эмульсионных вкраплений. Эти данные позволяют заключить, что выделения халькопирита образованы путем перегруппировки эмульсионных вкраплений халькопирита в сфалерите.

Пирит – один из наиболее распространенных дисульфидов железа в медно-пирротиновых рудах Абхазии. Он представлен двумя морфологическими разностями, отличающимися как по времени, так и условиям образования.

Ранний пирит представлен крупными, доходящими до нескольких мм идиоморфными кристаллами, образующими скопления как в жильном кварце, так и во вмещающих породах. Кристаллы пирита часто содержат ксеноморфные выделения халькопирита, пирротина и сфалерита. В метаморфизованных рудах пирит интенсивно раздроблен, трещинки в нем заполнены пирротином, халькопиритом, сфалеритом и галенитом. Часто наблюдается замещение и интенсивная коррозия пирита пирротином; в сплошных пирротиновых рудах повсеместно встречаются скелетные кристаллы пирита (рис. 7). Взаимоотношения пирита с другими рудослагающими минералами указывают на его ранний возраст. Пирит выделялся после кристаллизации жильного кварца.

Вторая морфогенетическая разность пирита связана с процессами дисульфидизации и образуется совместно с мельникомит-марказитом за счет пирротина в конце гипогенного процесса. Поздний пирит совместно с мельникомит-марказитом образует тонкие прожилки вдоль межзерновых пространств и микротрещин в пирротине. Кристаллы позднего пирита часто выявляют коломорфное строение.

Марказит встречен в малом количестве в ассоциации как с ранним, так и поздним пиритом. В раннем пирите он образует

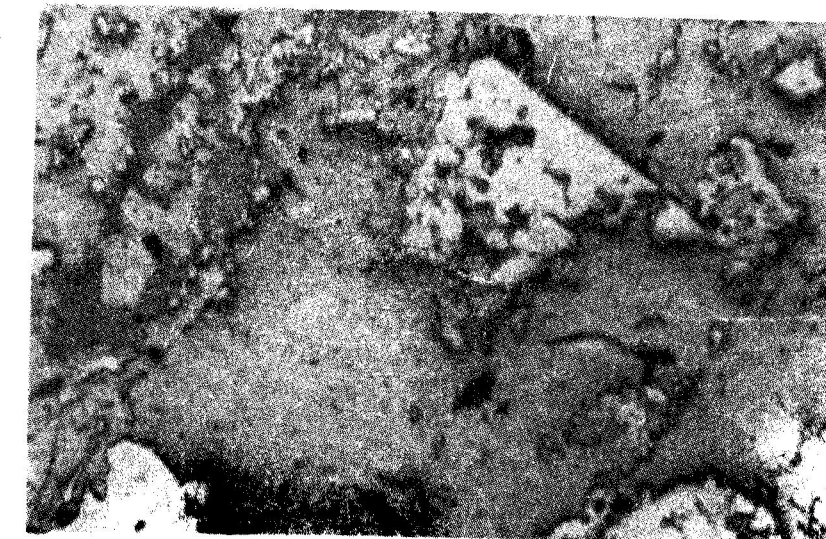


Рис. 7. Коррозия кристаллов пирита (светлое) пирротином (серое). Полированный шлиф. Ув. 120. Снято в одном никеле.

капки в периферийных участках кристаллоида. В прожилках поодиноких дисульфидов марказит встречается реже.

Сфалерит в медно-пирротиновых рудах подчиненного распределения. Он образует как мелкие прожилки и прожилкообразные выделения в пирите, пирротине и халькопирите, так и крупные, неправильной формы выделения совместно с галенитом. Отмечаются процессы замещения пирротина и халькопирита сфалеритом с образованием срастаний внешне схожих со структурами распада твердых растворов. Как было отмечено выше, сфалерит содержит эмульсионные и пластинчатые включения халькопирита и пирротина, являющиеся продуктами распада твердых растворов. Взаимоотношения сфалерита с рудными и жильными минералами с достаточной убедительностью показывают, что сфалерит образуется после халькопирита, до кристаллизации галенита.

Галенит в медно-пирротиновых рудах встречается в подчинении по сравнению со сфалеритом количестве, тесно ассоциируясь с последним. Галенит интенсивно корродирует пирит, пирротин, халькопирит и сфалерит, часто образует в них прожилки, содержит мелкие включения ранее образовавшихся минералов. В метаморфизованных рудах галенит плойчатого строения, что выражается ориентацией трещин и треугольников выкрошивания.

Арсенопирит редкий минерал в медно-пирротиновых рудах Южного склона Большого Кавказа. Он встречен в ничтожном количестве в ассоциации с ранним пиритом; образует кристаллы размерами 0,1–1 мм, встречающиеся как в виде скоплений в массиве раннего пирита, так и прожилок (0,1–0,2 мм), секущих его. В метаморфизованных рудах наблюдается дробление арсенопирита совместно с пиритом и залечивание трещин халькопиритом и сфалеритом. Приведенные данные позволяют отнести арсенопирит к ранней стадии медно-пирротиновой минерализации.

Кварц наиболее распространенный жильный минерал в медно-пирротиновых рудах и слагает основную массу кварцево-рудных жил; он встречается и в массивных залежах медно-пирротиновых руд и играет существенную роль в сложении гидротермально измененных пород. В кварцево-рудных жилах выделения кварца расположены главным образом в призальбандных участках, хотя передко вся рудная жила представляет собой агрегат кварца с вкрашиваниями рудных минералов. В метаморфизованных участках руд кварц раздроблен, перекристаллизован и характеризуется сильным волнистым угасанием. Пространственное расположение кварца в рудных телах указывает на его более раннее, по сравнению с другими рудослагающими минералами образование. Редко встречающиеся мелкие прожилки кварца в пирите и сфалерите, возможно, обусловлены наличием процессов переотложения в последующих стадиях минерализации.

Карбонаты в медно-пирротиновых рудах, по сравнению с

кварцом, встречаются в подчиненном количестве и слагают прожилки, секущие агрегаты ранее образовавшихся минералов. Отмечается два вида карбонатных прожилок: первый, сложенный кальцитом с хорошо выраженными полисинтетическими двойниками; он тесно ассоциирует с халькопиритом и сфалеритом, которые образуют в нем ксеноморфные выделения вдоль межзерновых пространств. Второй тип карбонатных прожилок сложен сидерит-анкеритом и ассоциирует с дисульфидами железа, образовавшимися за счет позднего замещения пирротина.

Гипергенные минералы на медно-пирротиновых проявлениях представлены гидроокислами железа и вторичными минералами меди, свинца и цинка. Поверхностные выходы медно-пирротиновых руд сильно затронуты процессами вторичного изменения. Особенно интенсивны вторичные процессы на рудопроявлениях Башкацара и Шхапарт.

Текстуры руд рассмотренных медно-пирротиновых рудопроявлений не отличаются большим разнообразием. Встречаются главным образом руды брекчевидной, массивной, прожилковой, прожилково-сетчатой, реже вкрапленной и вкрапленно-прожилковой текстур.

Образование брекчевидных текстур связано с дроблением и истиранием глинистых сланцев с последующим заполнением межбломочного пространства сульфидными минералами. Обломки глинистых сланцев в рудах брекчевидной текстуры обычно ороговикованы, деформированы, обтесаны, округлой формы. Сланцеватость в различных обломках ориентирована по-разному. Обломки глинистых сланцев часто окаймлены полосками (до 2 мм) кварца, которые сложены гребенчатыми кристаллами, ориентированными перпендикулярно краям обломков. Цементирующая масса сульфидов обычно представлена пирротином и халькопиритом. При интенсивных процессах дробления и истирания глинистых сланцев с последующим заполнением межбломочного пространства пирротином и халькопиритом, образуются руды, где примерно 80% объема представлено сульфидами. Нерудная составляющая часть представлена разноориентированными обломками глинистых сланцев, размеры которых не превышают нескольких миллиметров. Отмеченные руды по соотношению рудных и нерудных компонентов можно отнести к массивным, тогда как по способу происхождения они типично брекчевые.

Собственно массивные текстуры руд в медно-пирротиновых рудопроявлениях Абхазии встречаются редко, лишь в тех случаях, когда наблюдается наложение медно-пирротиновой минерализации на синеногенную серноколчеданную. Руды массивной текстуры сложены глинистым обрацом пиритом, реже пирротином с неспециальной примесью халькопирита.

Прожилковые и прожилково-сетчатые текстуры руд широко

распространены в медно-пирротиновых рудах. Прожилки кварца-сульфидного состоят различной мощности (от долей до нескольких см) сквозь глинистые сланцы, песчаники и диабазы в различных напластованиях. Прожилки сложены кварцом, пирротином, халькопиритом, сфалеритом и галенитом, причем обычно наблюдается разобщение в пространстве, и, соответственно, по-видимому, и во времени, пирротина и галенита. Эти минералы в кварцево-сульфидных жилах совместно не встречаются.

В участках, граничащих с пострудными нарушениями, наблюдается изгибание кварцево-сульфидных прожилок совместно с глинистыми сланцами, что придает руде иллюзорный облик.

Вкрашенно- прожилковые текстуры руд отмечаются в ороговикованных сланцах и диабазах. Они представлены разветвляющимися халькопирит-пирротиновыми прожилками и мелкими вкрашениями пирротина и пирита. Вкрашенные текстуры в медно-пирротиновых рудах встречаются редко. Они отмечены лишь в диабазах, где рудослагающие сульфиды образуют мелкие, изометрические, местами неправильной формы вкрапления.

Полуколичественные, количественно-спектральные и химические анализы мономинеральных фракций медно-пирротиновых руд (пирротина, пирита, халькопирита и сфалерита) показали наличие ряда элементов-примесей в рудослагающих минералах. Марганец, присутствующий в рудослагающих минералах в количестве сотых, реже десятых долей процента, выявляет хорошую корреляцию с содержанием цинка в пробах и представляет собой, по-видимому, изоморфную примесь в сфалерите. Аналогичного характера примеси кадмия, олова, германия и, возможно, галлия, встречающиеся в мономинеральных фракциях в количестве тысячных, реже сотых долей процента. Серебро, встречающееся в рудах в виде следов, связано, по-видимому, с галенитом. Мышьяк, присутствующий в медно-пирротиновых рудах, выявляет весьма неравномерное распределение. В некоторых мономинеральных рудах количество его достигает десятых долей процента, в некоторых же он вообще отсутствует. Мышьяк в медно-пирротиновых рудах не связан ни с какими кристаллохимическими особенностями рудослагающих минералов; он встречается как в пирите и пирротине, так и в халькопирите и сфалерите. Повышенное содержание мышьяка наблюдается на рудопроявлении Шхангия, где оно установлено наличием арсенопирита. Г.И. Харашвили (1964) рудообразующие растворы медно-пирротиновых месторождений считают стерильными в отношении мышьяка, и этим объясняют отсутствие собственно кобальтовых минералов (арсенидов) в медно-пирротиновых рудах Грузии. Находки мышьякодержащих минералов в медно-пирротиновых рудах Верхней Рады он объясняет наличием редкометаллической минерализации на медно-пирротиновой и считают арсениды кобальта реакционными образованиями. Наличие

следующими показывают, что примеси мышьяка в мономинеральных фракциях медно-пирротиновых руд обусловлены наличием арсенопирита, который образуется в начальной стадии минерализации. Присутствие мышьяка в рудообразующем растворе указывает на возможность возникновения в рудах арсенидов кобальта. Не исключено, что мельчайшие выделения недиагностирующихся минералов в медно-пирротиновых рудах представляют собой именно арсениды кобальта.

Висмут присутствует во всех анализированных образцах в количестве от 0,001 до 0,05. Резкие колебания количества висмута в пробах позволяют предположить, что основное его количество связано с мельчайшими включениями висмутодержащих минералов, тем более что в рудах аналогичных месторождений нами микроскопически определены висмутовые минералы (Отхмезури, 1963).

Кобальт в медно-пирротиновых рудах Абхазии присутствует постоянно. Г.И. Харашвили считает, что основным минералом-носителем в рудах является пирротин, с решеткой которого связана ионы кобальта. Наши исследования подтверждают мнение Г.И. Харашвили о том, что основная часть кобальта связана с решеткой пирротина, однако не следует отрицать возможности наличия собственно кобальтовых минералов. Содержание кобальта в пирротинах Абхазии более или менее равномерное и колеблется в пределах сотых и тысячных долей процента, при этом наблюдается сравнительное обогащение кобальтом массивных пирротиновых руд.

Иная картина распределения кобальта наблюдается в пирите и халькопирите. Содержание его здесь весьма неравномерное — в некоторых пробах кобальт вообще отсутствует, в некоторых же присутствует в количестве выше 0,1%. Такие резкие колебания в содержании кобальта в пирите и халькопирите обусловлены, с одной стороны, загрязнением проб пирротином, а с другой — наличием, по-видимому, собственно кобальтовых минералов.

Никель в рудах, по сравнению с кобальтом, встречается в меньшем количестве и связан с пирротином; форма его нахождения неясна. Селен равномерно распределен в пирротине и халькопирите, присутствуя в тысячных долях процента. В сфалерите и пирите количество селена увеличивается до сотых долей. Что касается примесей теллура, то количество его в рудах не превышает тысячных долей процента.

Минералогические исследования и изучение структурно-текстурных особенностей руд, с учетом характера морфологии рудных тел позволяют выделить в процессе формирования эндо-металлических медно-пирротиновых руд четыре стадии минерализации, различенные тектоническими подвижками различной интенсивностью: кварц-пиритовую, медно-пирротиновую, полиметаллическую и

**карбонат-дисульфидную** отдали. Наличие брекчийных текстур руд, раздробленных и метаморфизованных в различной степени рудо-лагающих минералов, позволяет заключить, что формирование руд происходило в **непокойной тектонической обстановке**. Дробление и перекристаллизация руд обусловлены, по-видимому, тектоническими подвижками вдоль рудовмещающих разломов и сопряженными с ними нарушениями, выявляющимися в различных участках полосы медно-пирротиновой минерализации по-разному. Этим объясняется то обстоятельство, что стадии минерализации, выявленные нами, не везде удается четко разграничить. Первая стадия минерализации характеризуется ассоциацией кварц-пирит-арсенопирит. Она четко разграничивается во времени от минералов последующих стадий. Пирит и арсенопирит интенсивно раздроблены и сцепментированы поздними минералами. Кварц так же раздроблен и перекристаллизован.

Вторая стадия, медно-пирротиновая, наиболее широко развита в медно-пирротиновых месторождениях и представлена ассоциацией пирротин-халькопирит.

Третья стадия минерализации представлена ассоциацией кальцит-халькопирит-сфалерит-галенит. В различных рудопроявлениях эта стадия проявлена по-разному. От предыдущей стадии отделяется она тектоническими подвижками, вызвавшими частичный метаморфизм пирит-халькопиритовых агрегатов.

Четвертая стадия минерализации, карбонатно-дисульфидная, представлена ассоциацией мельниковит-марказит, пирит, марказит-сидерит-анкерит, и, возможно, кальцит. Эта ассоциация образуется в заключительные этапы гипогенной минерализации.

Таким образом медно-пирротиновые рудопроявления Абхазии образуют, с одной стороны, массивные залежи, представленные комплексными рудами-сингенетичными с вмещающими породами, линзами и прослоями серного колчедана с наложенной пирротин-халькопирит-сфалерит-галенитовой минерализацией, с другой стороны - штокверковые, прожилковые и гнездовидные рудные тела, сложенные эпигенетическими пирит-халькопирит-пирротиновыми, пирит-халькопирит-пирротин-сфалерит-галенитовыми, пирит-халькопирит-сфалерит-галенитовыми рудами.

На основании изучения Правобережной залежи медно-пирротинового месторождения Кизыл-Дере В.И. Буадзе (1973) высказал мнение о гидротермально-метасоматическом генезисе массивных пирротиновых руд. Скопления раннего пирита в сплошных пирротиновых рудах, образующие изолированные, корродированные пирротином участки, он рассматривает в качестве реликтовых. Образование сплошных медно-пирротиновых руд происходило в результате длительной высокотемпературной переработки пиритовых руд гидротермальными растворами, но содержащими серы и присоединившими медь, мышьяк, кобальт и другие металлы. Реакция

пирротинообразованием с высвобождением серы была обратимой, обусловленной реализацией серы на образование халькопирита, кобальтина, арсенопирита, либо прожилково-сетчатых руд в ореоле залежи. Этим путем возникли тесные прорастания пирротина и халькопирита.

Залежи сплошных пирротиновых руд в пределах медно-пирротиновых оруденений Абхазии фиксируются на рудопроявлениях Аданге-Марухской (Шхалэзия, Шхапарт, Башкацара) и Хецквара-Генцвишской (Твибрашери) групп.

На рудопроявлениях Аданге-Марухской группы образование сплошных пирротиновых залежей путем метасоматического замещения сингенетических скоплений серного колчедана как будто бы не вызывает сомнения. Что касается пирротиновых залежей рудопроявления Твибрашери, то здесь наблюдается иная картина. Массивные пирротиновые руды содержат включения глинистых сланцев с различно ориентированной сланцеватостью. Одновременно наблюдается постепенный переход от массивных руд к брекчевым, представленным обломками глинистых сланцев, сцепментированных пирротин-халькопиритовой массой. Видимо, залежи массивных пирротиновых руд не всегда образуются путем замещения серного колчедана. Поэтому мы считаем не вполне обоснованным выделение массивных пирротиновых залежей в отдельную пирротиновую формацию метаморфогенного типа, как это делает В.И. Буадзе с соавторами (1973), тем более, что они сами же отмечают, что по времени образования залежи массивных руд и прожилково-сетчатые руды пирротинового состава синхронны.

Нечелесообразно также в медно-пирротиновой формации выделять пирит-полиметаллическую, пирротин-полиметаллическую, пирит-халькопиритовую и т.п. субформации, так как рудопроявления отмеченных составов не характеризуются устойчивыми парагенезисами и представляют собой результат сочетаний различных стадий минерализации в отдельных участках оруденений.

### Свинцово-цинковая жильная формация

Рудопроявления жильной свинцово-цинковой формации распространены в основном в пределах антиклиниория Ахцу-Кацирха-Колласури; рудные жилы или совокупность рудных жил залегают, главным образом в гранитоидах (Амтхельское, Асланихерское, Нижне-Барганское рудопроявления). Жильная свинцово-цинковая формация приурочена и к породам порfirитовой свиты байоса, где они образуют кварц-карбонатные, часто с баритом жилы с вкраплениями сфалерита, галенита, пирита, и реже халькопирита (Хицминское, Лактинское, Пицкварское и др. рудопроявления). В меньшей степени самостоятельная свинцово-цинковая минерали-

ции промытая в глинистых сланцах лейландия и в основном падожами на сорноколчеданную и медно-пирротиновую формации.

Среди свинцово-цинковых жильных промытаний наиболее крупное и хорошо изученное — Амтхельское рудопроявление, приуроченное к северо-восточной порифории Колисурского гранитоидного массива. Вмещающие породы Амтхельского рудопроявления представлены главным образом биотитовыми гранитами и гранодиоритами, секущимися маломощными аplitовыми и пегматитовыми жилами. Оруденение представлено десятком рудных жил и минерализованными зонами различной мощности, в основном северо-западного, реже близмеридионального простирания. Разрывы северо-западного простирания, вмещающие оруденение, представляют собой трещины скальвания, а близмеридиональные оруденные — трещины отрыва (Отхмезури, 1960).

С морфологической точки зрения, рудные тела Амтхельского рудопроявления разделяются на две группы: первая — рудные жилы, сложенные кварц-карбонатной жильной массой с вкраплениями и прожилками рудных минералов, характеризующиеся четкими зальбандами и слабым окорудным изменением вмещающих пород; вторая — минерализованные зоны, представленные гидротермально измененными гранитоидными породами с вкраплениями и прожилками рудных минералов, связанные постепенными переходами с боковыми породами и характеризующиеся интенсивными гидротермальными изменениями последних.

Строение рудных жил и минерализованных зон неоднородное. Наряду с маломощными участками с убогим оруденением наблюдаются и рудные столбы, образование которых обусловлено дорудными тектоническими структурами. Установлено три генетических типа рудных столбов — рудные столбы экранирования, связанные с дорудными тектоническими трещинами, заполненными жильной глиной, играющей роль экрана, рудные столбы пересечения, образующиеся на пересечении двух или нескольких различно ориентированных дорудных трещин и четковидные рудные жилы, образованные вследствие дорудных дифференциальных подвижек вдоль слабо искривленных трещин скальвания (Отхмезури, 1959).

Руды Амтхельского свинцово-цинкового рудного поля сложены сфалеритом, галенитом, анкеритом и кварцем, в подчиненном количестве встречаются пирит, марказит, кальцит и барит. Редко встречающимися минералами в амтхельских рудах являются халькопирит, блеклая руда, пирротин, буронит, сульфосмутит свинца, мельниковит-марказит, серебро самородное пираргирит, броньартит, аргентит, кобальтин, джемсонит.

Сфалерит является основным рудным минералом. В измощенных гранитоидных породах минерализованных зон он образует вкрапления, прожилки и линзы; в кварц-карбонатно-сульфидных жилах развит главным образом в призабланидовых частях. В ру-

дах фиксируются две разновозрастные генерации сфалерита, причем ранний сфалерит представлен желтой разностью — марматитом, а поздний — клюофоном. Первой генерацией сфалерита начинается эндогенная минерализация. Вторая генерация (выделение клюофана) наблюдается непосредственно после образования марматита совместно с дисульфидами железа.

Галенит встречается в рудах в подчиненном, по сравнению со сфалеритом, количестве. В рудных жилах и минерализованных зонах он образует в основном вкрапления. Встречаются две морфологические разновидности галенита: мелкозернистая, плотная, переходящая в свинчак, и крупно-кристаллическая разновидности. Мелкозернистая разновидность галенита характеризуется гранобластической структурой с субпараллельной ориентацией отдельных зерен, что указывает на метаморфизованную природу данной разновидности. Отмеченный факт, а также наличие интраминерализационной трещины, заполненной галенитом и кальцитом, секущей рудное тело, в сложении которого, наряду с другими рудослагающими минералами, принимает участие и галенит, позволяет выделить в рудах Амтхельского рудопроявления две генерации галенита, разделенные во времени внутриминерализационной подвижкой, которая одновременно разграничивает гипогенный процесс минералообразования на две стадии. Пространственное расположение в рудных телах галенита первой и второй генерации позволяет заключить, что ранний галенит выделялся в конце первой стадии минерализации, а поздний — в начале второй стадии. Причем первая генерация галенита развивается в межзерновых пространствах минералов, выделившихся до внутриминерализационной подвижки, а вторая в призальбандных участках внутриминерализационной трещины.

Дисульфиды железа встречаются в рудах в малом количестве и представлены марказитом, пиритом и мельниковит-марказитом. Пирит и марказит встречаются обычно совместно и образованы одновременно со сфалеритом второй генерации. Выделение мельниковит-марказита приурочено к концу рудообразовательного процесса.

Халькопирит и пирротин являются редкими минералами в Амтхельских рудах. Основное их количество связано с эмульсионными вкраплениями в сфалерите первой генерации. Помимо этого халькопирит образует мелкие изометрические выделения в галените и жильных минералах, а пирротин встречается в виде мелких пластинчатых кристаллов в анкерите.

Редки для Амтхельских руд минералы: блеклая руда, буронит, пираргирит, сульфосмутит свинца, броньартит, самородное серебро, аргентит и джемсонит встречаются в виде мелких выделений и почти постоянно ассоциируют с галенитом.

Основные жильные минералы в рудах представлены кварцем и карбонатами. Пиролюзит представлен двумя различными

по составу и разновозрастными карбонатами – анкеритом и кальцитом. Менее распространен барит, который также представлен двумя разновозрастными генерациями; ранняя ассоциирует с анкеритом, поздняя – с кальцитом.

Химические и полукачественно-спектральные анализы позволили установить в рудослагающих минералах ряд элементов-примесей. В сфалеритах содержание железа варьирует от 0,47 в клейофанах до 12,16% в марматитах. Полукачественным спектральным анализом в сфалеритах установлено наличие кадмия, марганца, кобальта, титана, галлия, серебра, олова и висмута. В галенитах обнаружены примеси серебра, меди, сурьмы и висмута, наличие которых обусловлено мельчайшими вкраплениями различных сульфосолей в галените. Дисульфиды железа содержат примеси кобальта и мышьяка, что обусловлено тонкой вкрапленностью кобальтина, тесно ассоциирующего с дисульфидами железа.

Комплекс гипергенных минералов характеризуется достаточным разнообразием. В малом количестве в рудах отмечаются гринокит, церуссит, смитсонит, халькоzin, гидроокислы железа, пироморфит и ярозит.

В рудных жилах и минерализованных зонах Амхельского рудопроявления развиты различные текстурные типы руд, среди которых наиболее часто встречаются вкрапленные, вкрапленно- прожилковые и прожилковые руды. В подчиненном количестве отмечаются массивные, брекчевые, кокардовые и ряд других текстурных типов.

На основании структурно-текстурных взаимоотношений рудослагающих минералов в забоях и стенках горных выработок, на штуфных образцах и наблюдаемых микроскопически в эндогенном процессе свинцово-цинковой минерализации выделяются кварц-карбонатно-сульфидная и карбонатно-сульфидная стадии минерализации, отдаленные друг от друга внутриминерализационной текtonической подвижкой.

В первой стадии минерализации выделялись сфалерит двух типов, анкерит, пирит, марказит, кварц, основное количество галенита с сопутствующими редкими минералами и в малом количестве халькопирит, пирротин, кобальтин, барит, пренит и серicit. Во второй стадии минерализации выделялись малое количество галенита с сопутствующими минералами, кальцит и в ничтожном количестве кварц, барит, хлорит, мельниковит-марказит. Эта стадия минерализации слабо развита, и минералы ее распространены весьма ограничено.

Помимо Амхельского рудопроявления к гранитоидным породам приурочено свинцово-цинковое оруднение жильного типа Асланихерского и Нижне-Барганского рудопроявления. На обоих рудопроявлениях оруднение связано с кварц-карбонатными и

кварц-серicit-хлоритовыми жилами с вкраплениями сфалерита и галенита. По составу и геологическим условиям нахождения они сходны с Амхельским рудопроявлением.

Среди свинцово-цинковых жильных проявлений в порфириевой свите байоса наиболее значительное Хицминское рудопроявление. Здесь зафиксировано свыше 50 маломощных (до 10 см) жил протяженностью 4–5 м (в одном случае до 50 м). Оруднение приурочено к оперяющим трещинам сброса и представлено кварц-карбонатно-баритовой жильной массой с прожилками и вкраплениями галенита, сфалерита и пирита. Прожилки рудных минералов концентрируются в основном в призальбандовых частях жил. Основной жильный минерал – карбонат; кварц и барит играют подчиненную роль (Иваницкий, 1963).

Все мелкие свинцово-цинковые проявления в порфириевой свите байоса примерно аналогичного состава и характеризуются сходными геологическими условиями нахождения; почти все они содержат барит в качестве жильного минерала и представляют собой как бы связывающее звено между свинцово-цинковой и баритовой формациями.

Свинцово-цинковые рудопроявления (часто с халькопиритом), приуроченные к песчано-сланцевой свите лейаса главным образом наложены на медно-пирротиновую и серноколчеданную минерализации. Исключение составляют Баклановское, Ачавчарское и Гвандринское свинцово-цинковые проявления, где рудная минерализация тесно ассоциирует с баритовым оруднением и образует мелкие барит-полиметаллические жилы (Букия, 1971).

### Свинцово-цинковая стратиморфная формация

Эта формация, приуроченная к карбонатным отложениям верхней юры, представлена рудопроявлениями Брэзышка, Дзыра, Калдахвара и Бзыби. Наиболее значительными среди них являются Брэзыхинское и Дзыршинское рудопроявления.

Проявления свинцово-цинковых стратиморфных руд приурочены к антиклиниорию Ахцу-Кацирха-Келасури, залегают в карбонатных отложениях – доломитах верхней юры и обладают рядом общих особенностей геологического строения, возраста, вещественного состава, морфологии, типа, а, следовательно, и генезиса (Твалчрелидзе, 1961).

Основная структурная единица, контролирующая свинцово-цинковую минерализацию Брэзышка-Дзыршинской группы рудопроявлений, по Т.В. Иваницкому (1963), – это Арвешский разлом, к которому тяготеют отдельные рудные проявления и который является, по-видимому, рудоподводящей структурой.

На поверхности выходах рудопроявления Брэзышка и Ар-

первичная руда отсутствует, и рудные тела представлены своеобразной "железной шляпкой", сложенной гидрогипситом, гетитом, лопидокрокитом, церусситом, англезитом, симтсонитом, пироморфитом и цинкомбоярокитом. Реликты первичных руд установлены примерно на глубине 50–80 м в виде гнезд галенита, кристаллов пирита, марказита, реже сфалерита. Рудная залежь представляет собой неправильной, сложной формы тело, участками согласно залегающее в доломитах.

На Дзыршинском рудопроявлении нет четко выраженных рудных тел с прожилково-вкрашенным характером оруденения. Оно стратифицировано и приурочено к отдельным пластам доломитов. В редких случаях оруденение связано с тектоническими трещинами, секущими доломиты. Руды первичные и представлены главным образом вкрашенностью крупнокристаллического галенита. Иногда паряду с вкрашенностью наблюдаются жилки, гнезда и карманы, сложенные сфалеритом. Аналогичного характера Бзыбское и Калдахварское рудопроявления.

Первичная сульфидная руда в карбонатных толщах является галенит-сфалеритовой со значительным содержанием дисульфида железа. Жильная масса представлена исключительно карбонатом ряда доломит-кальцита и сидерита. Для руды характерно полное отсутствие кварца, хальцедона и опала (Иваницкий, 1963).

Основной рудослагающий минерал стратиграфических свинцово-цинковых проявлений в карбонатных породах сфалерит представлен маложелезистой светло-окрашенной разностью. Сфалерит об разует сплошные выделения и вкрапления в доломитах. Он корродирует марказит или же образует скелетные метакристаллические образования в нем, что указывает на более позднее выпадение из растворов сфалерита, по сравнению с марказитом. В агрегатах сфалерита часто наблюдаются анизотропные участки, что дало под Т.В. Иваницкому высказать предположение о наличии в срастании со сфалеритом вюрцитита. Это предположение затем было подтверждено рентгеновскими исследованиями Г.В. Цинцадзе (Иваницкий, Цинцадзе, 1959).

Галенит на различных рудопроявлениях присутствует в различном количестве, местами преобладая над сфалеритом. В зонах окисления рудопроявлений Брдышиха и Арвш галенит единственный сохранившийся гипогенный минерал. В первичных рудах галенит наблюдается в виде вкраблений в доломитах. Возрастные взаимоотношения сфалерита и галенита указывают на более позднее образование последнего.

Дисульфиды железа представлены пиритом и марказитом, которые принимают участие в сложении первичных руд и встречаются в виде роликов во вторичных рудах. Пирит и марказит обраzuют тесные срастания, причем обычно преобладает марказит. Пирит более поздний минерал и развивается за счет марказита.

Жильные минералы свинцово-цинковых руд представлены

двумя разновидностями карбонатов: ранним-доломитом и поздним-сидеритом, причем последний имеет сравнительно ограниченное распространение в рудах. Обе разновидности карбоната образуют прожилки и неправильной формы выделения во вмещающих доломитах.

Из элементов-примесей в сфалеритах Дзыршинского рудопроявления обнаружены марганец, кобальт, никель, серебро, кадмий и галлий, в галенитах – медь, сурьма, мышьяк, никель, кобальт, серебро, молибден, марганец и кадмий, в марказитах – медь, титан, никель, хром (Иваницкий, 1963). Ассоциация гипогенных минералов свинцово-цинковой формации в карбонатных породах простая и состоит из одной парагенетической группы сфалерит-вюрцит-марказит-галенит-карбонат-пирит.

Условия образования вкрашенных свинцово-цинковых стратифицированных месторождений в карбонатных породах, в т.ч. и рудопроявлений Брдышиха-Дзыршинской группы остаются дискуссионными. Ряд исследователей высказывает мнение о возможности образования свинцово-цинковых вкрашенных руд в карбонатных породах осадочным путем в морских прибрежных водоемах, с дальнейшим их метаморфизмом. Исследования Г.А. Твалчелидзе (1961) и Т.В. Иваницкого (1963) с достаточной убедительностью указывает на эпигенетический характер свинцово-цинковой минерализации. Отсутствие связи с магматическими породами, простой вещественный состав руд, согласное с вмещающими породами залегание рудных тел позволяют отнести формацию свинцово-цинковых вкрашенных руд в карбонатных породах к телетермальному генетическому типу.

### Баритовая формация

Месторождения и рудопроявления баритовой формации Абхазии приурочены к зоне Южного склона Большого Кавказа и зоне Предгорий. Они залегают на различных стратиграфических горизонтах – от верхов сланцевых отложений лейаса до неокома включительно и представлены жильными и метасоматическими типами оруденений.

Жильные баритовые месторождения и проявления (Бзыбское, Пацикварское, Сакенское и др.) залегают в порfirитовой свите и представлены серией субпараллельных трещин, заполненных баритом, карбонатом и кварцем. Мощность жил в среднем варьирует от 0,1 до 1 м. Метасоматический тип оруденения (Апшринское месторождение) приурочен к известнякам и доломитам лузитанского возраста и представлен пластиобразной залежью мощностью до 20 м.

Пространственное размещение баритовых месторождений и рудопроявлений Грузии, по данным В.Д. Гуниава, Н.Ф. Шония и др. (1971), контролируется линейными, кулисообразно расположеными крупными антиклинальными складками и региональными разломами глубокого заложения. По данным этих же авторов,рудовмещающими в основном являются разрывы в южных крыльях асимметричных антиклинальных складок. Рудовмещающие разрывы обычно ориентированы в субширотном направлении.

В рудопроявлениях сложной барит-полиметаллической формации, залегающей в песчано-сланцевых отложениях лейаса (Гвардинское, Генцвишское и др. рудопроявления), превалируют рудовмещающие трещины субширотного направления. В порфиритовой свите байоса, в силу изотропности слагающих ее пород к дислокативным деформациям, баритоносные жилы разного направления, однако преобладают жилы широтного, субширотного и субмеридионального простираний. Определенное влияние на формирование пластиообразной залежи Апшринского месторождения, расположенного в известняках лузитана, оказывают трещины СЗ простирания (Гуниава, Шония, 1971). Среди месторождений и рудопроявлений баритовой формации выделяются два морфологических типа рудных тел – жильный и пластиообразный.

Баритсодержащие жильные тела характеризуются широким распространением и представлены типичными жилами заполнения. Отдельные жилы характеризуются непостоянством мощности, наряду с раздувами в них встречаются и пережимы; простые рудные жилы часто разветвляются не менее мощные прожилки, приобретая вид слоистых жил. Пластиообразные залежи баритовых руд встречаются сравнительно редко и представлены баритизированными и доломитизированными известняками. Сильно трещиноватые известняки лузитана, вмещающие баритовое оруденение, содержат барит в виде густых прожилок и вкраплений. Рудные тела пластиообразной, реже линзообразной формы и характеризуются сравнительно низким содержанием барита. В образовании пластиообразных залежей баритовых руд существенную роль играют процессы замещения.

Минеральный состав баритовых руд довольно простой. Из гипогенных минералов, помимо барита, в жильных барит-полиметаллических проявлениях, залегающих в сланцевых отложениях лейаса и вулканогенно-осадочных образованиях байоса встречается галенит, в меньшей мере – сфалерит, халькопирит и пирит и исключительно редко – киноварь, тетраэдрит, буронит и фрейзебонит. Распространенные жильные минералы – кварц, кальцит, анкорит и англезит. В пластовых вкрапленно-прожилковых оруденениях метасоматического типа рудные минералы встречаются весьма редко.

По количественному соотношению между отдельными минералами и наличию в некоторых месторождениях ассоциаций, неизвестных в других, Т.Д. Багратишвили в баритовых месторождениях Грузии было выделено шесть минералогических типов руд: 1) собственно баритовый, 2) барит-полиметаллический, 3) барит-кальцитовый, 4) барит-колчеданный, 5) барит-халцедоновый или барит-кварцевый и 6) барит-витеритовый. Помимо отмеченных шести минералогических типов В.Д. Гуниава, Н.Ф. Шония и др. выделяют еще три типа: барит-доломитовый, барит-марганцево-железистый и барит-киноварный. Рудные месторождения и проявления Абхазии относятся к барит-полиметаллическому (Кодорская группа жильных проявлений) и барит-доломитовому типам (Апшринская группа месторождений в карбонатных породах). Следует, однако, отметить, что среди минералогических типов баритовых руд часто наблюдаются взаимные переходы, местами же – вертикальная зональность, так что отмеченные на конкретных баритовых месторождениях те или иные ассоциации минералов во многом зависят от уровня современного среза рудных тел (Гуниава, Шония и др., 1971).

Структурно-текстурные взаимоотношения рудослагающих минералов месторождений и рудопроявлений баритовой формации, с учетом зонального строения большинства жил, явления замещения ранних минералов более поздними, наличие в жилах разнотемпературных минералов и закономерные парагенетические ассоциации в них – позволили Т.Д. Багратишвили выделить в гипогенном процессе баритовой минерализации стадии: добаритовую, баритовую и послебаритовую.

Первая стадия минерализации предшествует рудообразованию и выражается в основном в предрудном изменении боковых пород, с образованием хлорита, пирита, кварца и кальцита. Вторая – проявляется по-разному в различных типах баритового оруденения. В барит-полиметаллическом жильном типе вторая стадия минерализации начинается кристаллизацией сульфидов-сфалерита, халькопирита, галенита и марказита, которые с увеличением в растворах концентрации ионов кислорода сменяются сульфатами бария, кальция и железа. В месторождениях Апшринской группы сульфидная минерализация выражена весьма слабо и во второй стадии минерализации наблюдается главным образом выпадение барита, доломита, реже кварца и в незначительном количестве киновари. В третьей стадии минерализации наблюдается выделение в ничтожном количестве барита, затем кальцита, прозрачного кварца и гипса.

Таким образом, как видно из вышеизложенного, полиметаллическая минерализация и основное предшествует баритовой, хо-

ти на отдельных рудопроявлениях (Хицма) наблюдается наложение сульфидной минерализации на кварц-барит-пиритовую (Иваницкий, 1983).

### Ртутная формация

Группа сурьмяно-ртутно-мышьяковых формаций в Абхазии представлена монометальной ртутной формацией, где основной промышленный минерал – киноварь. По ассоциациям жильных минералов, определяющихся, с одной стороны, составом исходных рудоносных растворов, а с другой – характером вмещающих пород, среди месторождений и рудопроявлений ртутной формации Абхазии выделяются кварц-диккит-киноварный и кварц-киноварный минералогические типы.

Характерная особенность сурьмяно-ртутно-мышьяковой группы рудных формаций – линейное ее размещение, обусловленное связью оруденения с региональными разломами глубинного заложения, разграничающими крупные геоструктурные единицы (Смирнов, 1947; Синицын, 1948; Смирнов, Рыженко, 1958; Твалчелидзе, 1964; Федорчук, 1964). Месторождения и рудопроявления ртутной формации Абхазии не составляют в этом отношении исключения – они образуют две субпараллельные рудоносные зоны общекавказского простирания в северо-западной части Южного склона Большого Кавказа: северную (Ахей-Агадхарскую) и южную (Ахачча-Бетагскую). В пределах рудных зон ртутные месторождения и рудопроявления расположены кулисообразно, образуя линейно вытянутые прерывистые пояса.

Северная рудоносная зона, расположенная на стыке центрального воздымания кристаллического ядра Большого Кавказа и геосинклинали Южного склона, содержит два рудных поля – Ахейское и Агадхарское и ряд мелких рудопроявлений. Южная полоса ртутных оруденений расположена в зоне Предгорий Большого Кавказа, являющейся переходной между геосинклиналью Южного склона Большого Кавказа и Грузинской глыбой Закавказского срединного массива и содержит рудопроявления Ахачча и Бетага.

Геологическая позиция месторождений и рудопроявлений Ахей-Агадхарской ртутоносной зоны определяется их приуроченностью к субширотным, линейно вытянутым зонам смятия и дробления. Последние представляют собой отображение на поверхности основной рудоконтролирующей структуры – системы нарушений – глубинных разломов (разломов фундамента) разграничающих кристаллическое ядро Большого Кавказа от зоны Южного склона.

Положение Ахачча-Бетагской ртутоносной зоны в пределах южного антиклиниория Ахцу-Кацирха-Келасури, между двумя

существенно различными по истории развития геотектоническими единицами (геосинклиналь Южного склона – Грузинская глыба) обуславливает возможное наличие здесь скрытых глубинных разломов, контролирующих ртутные проявления.

Месторождения и рудопроявления ртутной формации в пределах Абхазии развиты в песчаниках, алевролитах и вулканокластолитах ахейской свиты (месторождения Шура и Чамашха Ахейского рудного поля), глинистых сланцах анчхойской свиты (месторождение Тхасоу Агадхарского рудного поля), вулканогенно-осадочных породах кутыкухской свиты (рудопроявление Мзимна Агадхарского рудного поля), в пластовой дайке альбитизированного диабаза, расположенного в глинистых сланцах кутыкухской свиты (рудопроявление Макратела Агадхарского рудного поля), в верхних горизонтах вулканогенно-осадочной свиты байоса (Ахаччинское рудопроявление) и глинисто-карбонатных отложениях верхней юры (рудопроявление Бетага).

Основная часть месторождений и рудопроявлений Агадхарского рудного поля (Тхасоу, Мзимна, Макратела) приурочены к южному крылу Кутыкухской синклинали, падающему на СВ 20–40° под углом 30–70°. На месторождении Тхасоу оруденелая зона фиксируется в виде нескольких рудных интервалов и представлена согласными линзами и жилами кварца с вкраpledенным оруденением киновари. Реже в глинистых сланцах отмечаются линзы оруденелых песчаников. Рудопроявление Макратела представлено оруденелой пластовой дайкой альбитизированного диабаза. Последний раздроблен, пересечен трещинами различного направления, которые заполнены кварцем с вкраplениями и прожилками киновари. Среди оруденелых трещин доминирующие – трещины скальвания, падающие в основном в сторону, обратную падению дайки альбитизированного диабаза. Ртутная минерализация на рудопроявлении Мзимна представлена зонами дробления и трещиноватости в туфах, заполненных кварцем с вкраplениями киновари и реальгара. Месторождения Ахейского рудного поля приурочены к опрокинутым, моноклинально падающим на СВ 10–20° под углом 60–70° пачкам песчаников, алевролитов и вулканокластолитов ахейской свиты.

Ртутное оруденение на месторождении Шура представлено согласными напластованию пород зонами трещиноватости, дробления, смятия и брекчирования с вкраplениями киновари (реже выделениями антимонита), образующими пластиообразные тела неправильной формы. Помимо отмеченного, на месторождениях Шура и Чамашха фиксируются маломощные жилы со ртутной минерализацией, ориентированные поперек напластования песчаников и аргиллитов.

Промышленное ртутное оруденение (по О.Г. Барабаш, А.М. Виб-

лиами и др., 1968) сконцентрировано на месторождении Шура Ахейского рудного поля в виде трех рудноносных зон, расположенных на различных уровнях ахейской свиты.

Ахеинское рудопроявление приурочено к северному крылу кацирхинской асимметричной антиклинали, представляющей собой сложную построенную структуру субширотного простирания, осложненную серией поперечных мелких складок. Рудная зона представлена короткими маломощными прожилками кварц-киноварного состава в трещинах скальвания, расположенных в шарнирах и крыльях вторичных складок и вкраплениями киновари во вмещающих туфах брекчиях в верхних горизонтах порfirитовой свиты байоса.

Установление структурно-морфологических типов рудных тел в месторождениях и рудопроявлениях ртутной формации вопрос весьма сложный, так как рудные тела характеризуются чрезвычайной прихотливостью форм и невыдержанностью оруденения. Границы между промышленными рудными телами и вмещающими породами обычно не четкие, и установить их удается лишь по результатам опробования. Большинство исследователей ртутных месторождений (Смирнов, 1947; Поярков, 1955; Федорчук, 1964 и др.) выделяют три основных морфологических типа рудных тел: пластовый (согласный), жильный (секущий) и гнездообразный. Изучение строения рудных тел в естественных обнажениях и горных выработках позволило нам в Абхазских ртутных месторождениях и рудопроявлениях выделить следующие морфологические типы рудных тел: 1) рудные тела в согласных зонах дробления в песчаниках, 2) согласные кварцево-рудные жилы сложного строения в зонах внутриформационного расслоения и срывов в глинистых сланцах, 3) рудноносные жилы, косо секущие пластовую дайку диабаза, 4) рудноносные жилы, секущие слои песчаников поперек напластования, 5) рудные тела сложной формы в трешиноватых вулканогенных породах. Рудные тела первого и второго типа представляют собой согласные рудные тела, третьего и четвертого типа относятся к категории секущих, а пятого типа — к гнездообразной залежи (Отхмезури, 1976).

Минералогический состав руд ртутных месторождений и рудопроявлений Абхазии несложный. Гипогенные рудные минералы представлены киноварью, пиритом, в меньшем количестве антимонитом и реальгаром; редкие — марказитом, арсенопиритом, сфалеритом и мельчайшими выделениями ряда адиагностических минералов. Жильные минералы представлены кварцем, диккитом, кальцитом, хлоритом и серицитом, гипергенные — самородной ртутью, матацинбаритом, гидроокислами железа и вторичными минералами сурьмы.

Киноварь в ртутных рудах встречается главным образом в

виде вкраплений в кварцевых жилах, в цементе брекчий зон дробления и вулканогенных пород, реже он образует маломощные прожилки. Совместно с кварцем и диккитом киноварь встречается в трещинах отрыва, ориентированных поперек слоистости песчаников и алевролитов.

Вкрапления киновари в кварцевых жилах, залегающих в глинистых сланцах и цементе раздробленных песчаников, приурочены в основном к пустотам и межзерновым пространствам кварца, тогда как в вулканогенных породах они лишь изредка заполняют межзерновые пространства пордообразующих минералов, развиваясь главным образом по порфировым выделениям пироксена, роговой обманки, биотита и плагиоклаза, образуя совместно с кварцем мелкие линзы вдоль трещин спайности (рис. 8, 9).

В кварц-диккитовой жильной массе, заполняющей трещины отрыва в песчаниках и алевролитах, киноварь образует хорошо ограниченные кристаллы (до 0,5–0,8 см), нарастающие на стенки. Местами кристаллы киновари сопровождаются шестоватыми агрегатами антимонита, которые корродируют его и образуют радиально-лучистые скопления с кристаллами киновари в центре.

Одновременно в редких случаях, когда антимонит и киноварь образуют срастания, наблюдаются мелкие, прожилкообразные выделения антимонита в киновари (рис. 10 и 11).

Наряду с вышеотмеченным, в киноварь-антимонитовых рудах Абхазии часто наблюдаются тонкие прожилки киновари вдоль трещин спайности антимонита.

Почти на всех месторождениях и рудопроявлениях встречается мелкозернистая порошковая киноварь, образующая примазки и налеты вдоль стенок трещин в песчаниках, алевролитах, реже глинистых сланцах.

В отличие от кварцевых жил, залегающих в глинистых сланцах, кварцевые жилы в песчаниках за пределами зон брекчирования содержат киноварь в ничтожно малом количестве. Лишь изредка, в некоторых секущих песчаники трещинах, выполненных кристаллами кварца, имеются друзовые пустоты, содержащие кристаллы киновари, нарастающие на грани антимонита и позднего кварца.

Коррозия и обрастание идиоморфных кристаллов киновари антимонитом, с одной стороны, и наличие тонких прожилок киновари вдоль трещин спайности в антимоните, а также нарастание киновари на друзы кварца и шестоватые кристаллы антимонита с другой, свидетельствуют о присутствии в рудах двух генераций киновари, образовавшихся до и после кристаллизации антимонита. Частичное перекрывание во времени образования киновари и антимонита исключается, так как эти минералы совместно встречают-

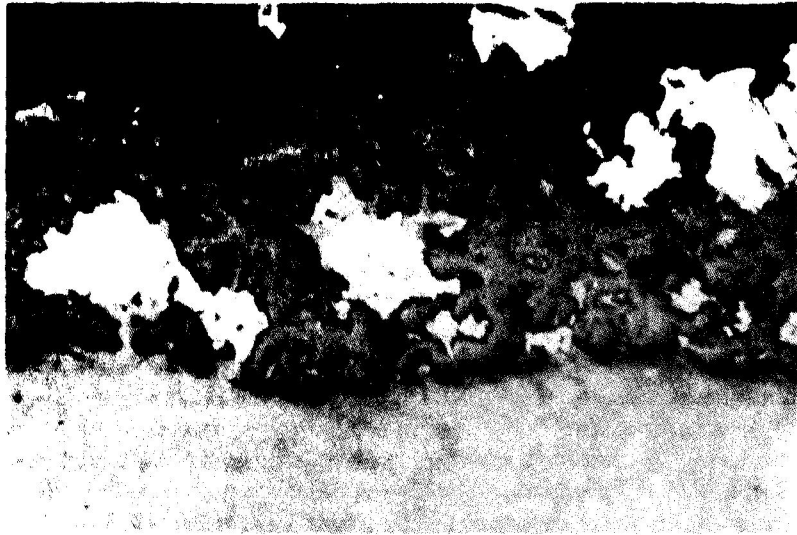


Рис. 8. Выделение киновари (белое) в агрегате кварца (темно-серое) на контакте с карбонатом (светло-серое). Полированный шлиф. Ув. 25. Снято в одном николе. Агадхарское рудное поле. Рудопроявление Тхасоу, залегающее в глинистых сланцах.



Рис. 9. Киноварь (белое) развивающаяся вдоль спайности в биотите (серое). Полированный шлиф. Ув. 80. Снято в одном николе. Рудопроявление Ахахча, залегающее в вулканических породах.

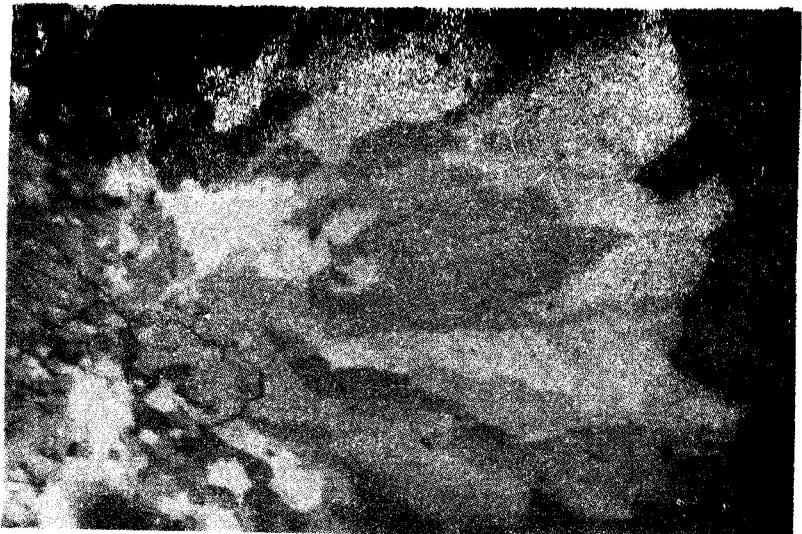


Рис. 10. Киноварь (темно-серое), корродируемая и обрастающая радиально-лучистым агрегатом антимонита (удлиненные анизотропные выделения). Полированный шлиф. Ув. 33. Николи полускрещены. Ахейское рудное поле. Месторождение Шура.

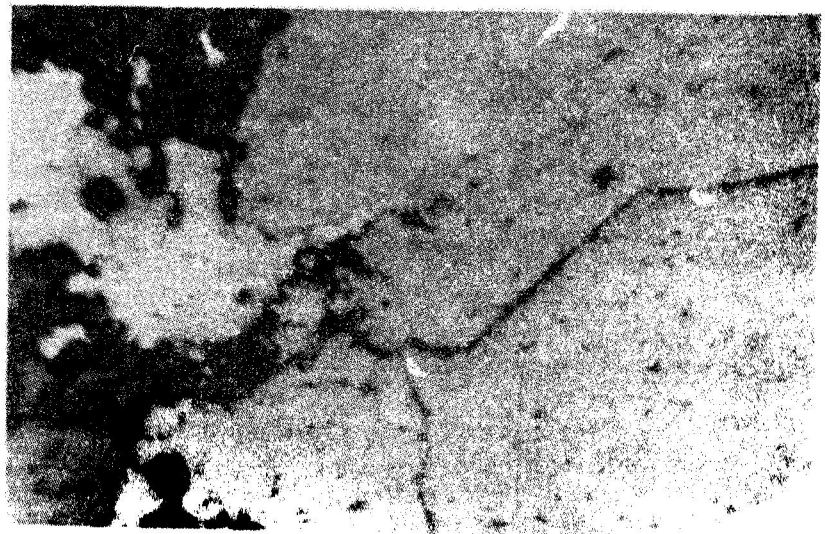


Рис. 11. Прошипованение антимонита (светло-серое) в зернах киновари. Полированный шлиф. Ув. 33. Снято в одном николе. Ахейское рудное поле. Месторождение Шура.

ся довольно редко и не образуют никаких ассоциаций срастаний.

С киноварью тесно ассоциируют редкие минералы бертилит, меногенит - Агадхарское рудное поле (Кекелия, Салия, 1968), шватцит - Ахейское рудное поле (Везиришвили, 1948) и три адатогностических минерала - Агадхарское рудное поле (Абесадзе, Амия, Отхмезури и др., 1968). Все отмеченные минералы образуют мельчайшие вкрапления изометрической, местами удлиненной формы в зернах киновари.

Спектральными анализами в киновари установлены примеси сурьмы, мышьяка, свинца, обусловленные, по-видимому, наличие мелких вкраплений вышеотмеченных редких минералов. Химическими анализами мономинеральных проб в киновари установлено: мышьяка до 0,12%, сурьмы до 0,3%; характерные для киновари элементы-примеси селен, теллур, висмут, таллий - в ртутных рудах Абхазии не обнаружены.

Антимонит в ртутных рудах Абхазии распространен ограниченно и представлен шестоватыми, игольчатыми, местами изогнутыми сдвойниками кристаллами размером до 3-5 см. Глубоким образом антимонит встречается в трещинах отрыва в песчаниках и трещинах скальвания в будинированных диабазах, совместно с кварцем, диккитом и киноварью. В кварцевых жилах, согласно залегающих в глинистых сланцах, антимонит встречается редко в виде мелких удлиненных кристаллов. Возрастные взаимоотношения антимонита с рудослагающими минералами указывают, что антимонит образовался непосредственно после кристаллизации киновари первой генерации.

Пирит в рудах ртутной формации имеет подчиненное распространение; лишь на рудопроявлениях Ахахча и Агурипста, приуроченных к вулканогенным толщам, пирит присутствует в равном количестве с киноварью. В ртутных рудах отмечены два морфологических типа выделений пирита - идиоморфные кристаллы, образующие единичные вкрапления или скопления во вмещающих породах и жилах кварца, которые местами сильно раздроблены и цементируются киноварью и карбонатом, и мелкокристаллический пирит, образующий тонкие прожилки вдоль межзерновых пространств киновари и встречающийся в тонкораспыленном состоянии в поздних карбонатах (рис. 12 и 13).

Отмеченные морфологические типы пирита соответствуют двум генерациям. Образование первой генерации пирита (идиоморфного, сравнительно крупнокристаллического) приурочено к началу рудообразовательного процесса. Вторая генерация пирита кристаллизовалась, по-видимому, в заключительную стадию образования руд. В ассоциации с пиритом в рудах Ахахчинского рудопроявле-

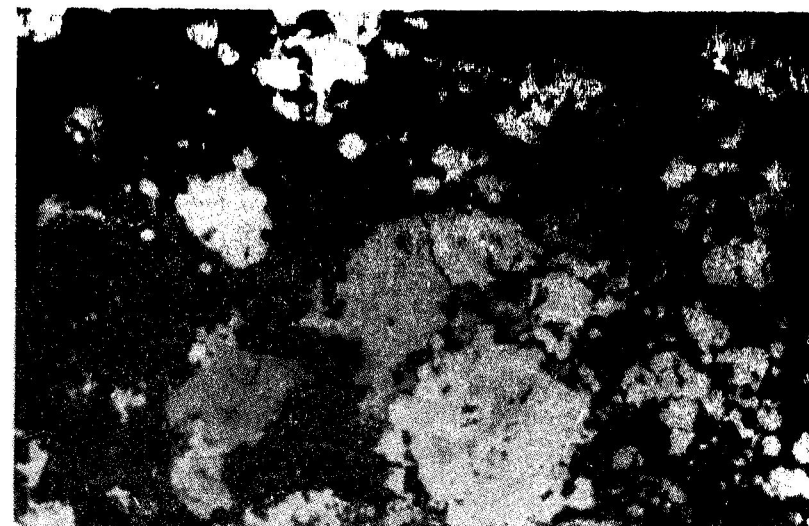


Рис. 12. Киноварь (темно-серое), корродирующая кристаллы пирита (белое). Полированный шлиф. Ув. 90. Снято в одном николе. Рудопроявление Ахахча.

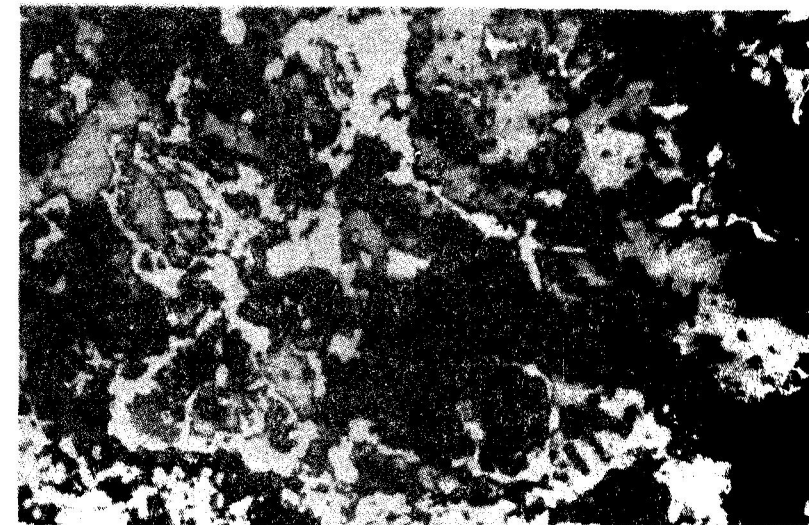


Рис. 13. Прожилкообразные выделения пирита (белое) в киновари (темно-серое). Полированный шлиф. Ув. 90. Снято в одном николе. Рудопроявление Ахахча.

ния наблюдаются маркинит, различающийся по пориферии скоплениями пирита ранней генерации.

Реальгар и аурогипсит в малом количестве отмечены на Агадхарском рудном поле в ассоциации с антимонитом и киноварью в прожилках кварца.

Арсенопирит встречается в рудах в ничтожном количестве в тесной ассоциации с ранним пиритом.

Сфалерит, галенит и халькопирит образуют мелкие вкрапления в раннем кварце. В редких случаях мелкие, изометрические включения отмеченных минералов присутствуют в киновари и антимоните.

Основные жильные минералы в ртутных рудах Абхазии – кварц и диккит. Лишь на Агурипстинском рудопроявлении, приуроченном к туфам порфиритовой свиты байоса, основным рудным минералом является карбонат.

Кварц образует жилы и линзы различной мощности в глинистых сланцах, алевролитах, песчаниках и вулканогенных породах, сложенные сплошными агрегатами молочно-белого цвета. В редких случаях в кварцевых жилах отмечаются друзовые полости, выполненные кристаллами более или менее прозрачного кварца, на которые нарастают выделения киновари и антимонита. Наблюдаются две разновидности кварца, соответствующие двум генерациям. Ранняя генерация, слагающая жилы, линзы и прожилки в глинистых сланцах, песчаниках и магматических образованиях, представлена крупнозернистыми молочно-белыми, часто трещиноватыми агрегатами с мелкими редкими вкраплениями пирита, арсенопирита, халькопирита, сфалерита и галенита. Кварц ранней генерации в большинстве случаев раздроблен, перекристаллизован и характеризуется сильным волнистым угасанием. Оломки кварца цементируются карбонатами, а в некоторых случаях выделениями позднего кварца (рис. 14).

Вторая генерация кварца встречается в подчиненном количестве, совместно с киноварью, диккитом и кальцитом, опережая их выделение. Поздний кварц обычно мелкозернистый, местами скрыто-кристаллический; формирование его начинается несколько позже раннего кварца, от которого разграничено значительными тектоническими подвижками, вызвавшими разлиновование, дробление и перекристаллизацию агрегатов ранней генерации кварца.

Диккит, характерный жильный минерал ртутных месторождений, залегает в алюмосиликатных породах. Он образует мелкие прожилки и гнезда в жилах кварца, песчаниках, алевролитах и глинистых сланцах. Диккит мелкочешуйчатого (0,01–0,05 мм) таблитчатого строения с хорошо выраженной спайностью, местами встречается в виде радиально-лучистых агрегатов. Диккит – постоянный спут-

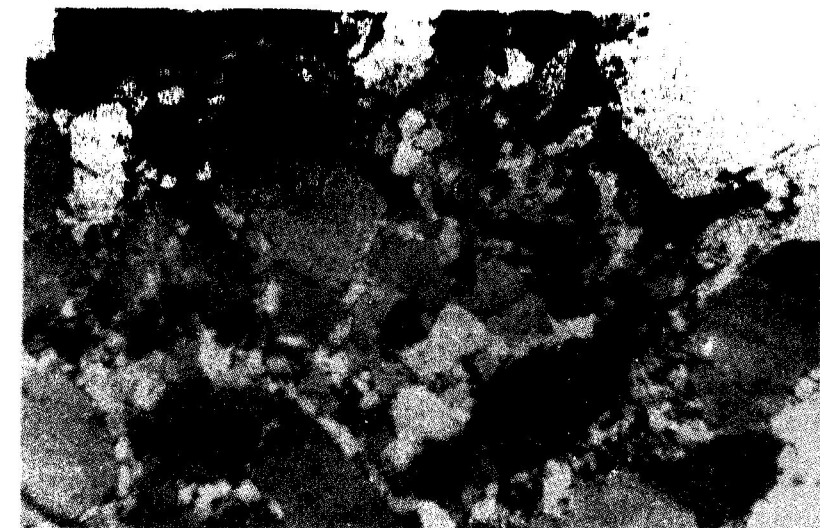


Рис. 14. Раздробленный кварц ранней генерации, сцепментированный поздним кварцем. Прозрачный шлиф. Ув. 33. Николи скрещены. Ахейское рудное поле. Месторождение Шура.

них киновари в ртутных месторождениях и рудопроявлениях, и в этом отношении представляет собой надежный поисковый индикатор ртутного оруденения. В кварцевых жилах диккит, совместно с киноварью, образует мелкие скопления и прожилки или встречается в виде рассеянных чешуйчатых включений, а также в виде примазок на стенках трещин в песчаниках и глинистых сланцах. Диккит в абхазских ртутных рудах, на основании оптического, химического, термографического и рентгенометрического исследований, однозначно был определен С.А. Кекелия и Дж.С. Салия (1966).

Карбонаты, за исключением Агурипстинского рудопроявления, в ртутных рудах Абхазии распространены в малом количестве. Они встречаются как в кварцево-рудных жилах, так и во вмещающих песчаниках, алевролитах, глинистых сланцах, диабазах и эффузивных породах, где они замещают отдельные породообразующие минералы, а местами целые участки пород. В кварцево-рудных жилах карбонаты образуют прожилки в раннем, раздробленном кварце, проникают в межзерновое пространство и цементируют его. С другой стороны, мелкие кристаллы позднего кварца отмечены вдоль, трещин карбонатов, что указывает на образование определенного количества данного минерала в ранней ста-

лии минерализации. Одновременно с этим установлено наличие мелких идиоморфных вкраплений карбоната, заполняющих дроздовые пустоты между идиоморфными кристаллами позднего, мелко-зернистого кварца, что свидетельствует о существовании второй, более поздней генерации карбоната. Это обстоятельство подтверждается в ряде случаев наличием прожилок позднего карбоната вдоль межзерновых пространств ранней генерации отмеченного минерала. Поздний карбонат часто выявляет полисинтетически слойниковые срастания, следы дробления или перекристаллизации в нем не заметны. Судя по взаимоотношению с рудослагающими минералами ртутной формации, образование позднего карбона-та приурочено к заключительной стадии формирования руд.

Химические, рентгенометрические и термические исследования карбонатов в ртутных рудах позволяют выделить среди них кальцит, доломит и анкерит (Кекелия, Салия, 1966), причем анкеритом и доломитом сложены, по-видимому, карбонаты ранней генерации, а поздние карбонаты распространенные более широко, в рудах представлены кальцитом.

Вторичные процессы в месторождениях и рудопоявлениях ртутной формации развиты слабо. Вторичные минералы — самородная ртуть, метацинабарит, гидроокислы железа, стибиоконит, валентинит и кермезит встречаются в верхних горизонтах месторождений и рудопоявлений.

Текстуры руд ртутной формации не отличаются большим разнообразием. Наиболее распространенный тип руд — вкрапленная текстура. Вкрапленные руды встречаются в кварцевых жилах месторождения Тхасоу и рудопоявления Макратела, в брекчированных песчаниках месторождения Шура и вулканогенных породах Ахахчинского рудопоявления. Вкрапления киновари главным образом заполняют межзерновые пространства кварца ранней и поздней генерации, залегающих в виде жил в глинистых сланцах, реже они встречаются в прожилках карбоната. В брекчированных песчаниках вкрапления киновари расположены в межбломочной массе, представленной песчанистым материалом совместно с диккитом и поздним кварцем. В обломках песчаников и линзах раннего кварца вкрапления киновари наблюдаются редко. В вулканогенных породах порfirитовой свиты на рудопоявлении Ахахча вкрапления киновари помимо выполнения пустот образуются и за счет замещения порфировых выделений пордообразующих минералов — плагиоклаза, роговой обманки и пироксена. В редких случаях в трещиноватых песчаниках и вулканогенных породах, паряду с выполнениями поровых пустот и межзерновых пространств, киноварь заполняет тощайшие трещины, обуславливая образование вкрапленно-прожилковых текстур.

Образование собственно прожилковых текстур обусловлено наличием трещин в компактных породах — диабазах, песчаниках

и реже алевролитах. Жильное заполнение этих трещин состоит из кварца, диккита и киновари, которые присутствуют приблизительно в равных количествах, часто паряду с отмеченными минералами в жилах присутствует и антимонит. Песчаники, секущиеся жилами кварц-диккит-сульфидного состава поперек напластования, обычно раскалываются вдоль прожилок и по плоскостям скола ясно наблюдалось нарастание минералов на стенки трещин. Вся масса минералов новообразований в данном случае концентрируется в полости трещин и распространение их в массу вмещающих пород в виде вкраплений наблюдается редко.

Брекчевая текстура руд, аналогично прожилковой, характерна для компактных пород. Она является продуктом завершающего этапа формирования текстур руд в зонах дробления и трещиноватости в ряду: прожилковые → прожилковосетчатые → брекчевые текстуры. Прожилково-сетчатые и брекчевые текстуры руд образуются в участках сильной трещиноватости, в зонах дробления, при наличии систем взаимопресекающихся трещин. В отличие от прожилково-сетчатых типов руд, в рудах брекчевой текстуры количественные соотношения цемента с обломками увеличено и, паряду с жильным выполнением, цементом служит истертый и раздробленный материал вмещающих пород. Помимо этого, в рудах брекчевой текстуры наблюдается изменение первичной ориентации обломков пород. В брекчированных песчаниках межбломочная масса представлена песчанистым материалом совместно с диккитом и кварцем, содержащими вкрапления киновари (месторождение Шура). В брекчированных участках алевролитов (рудопоявление Чамашха) раздробленные угловатые обломки пород скементированы кварц-диккитовой массой, в которой киноварь образует вкрапления размерами 1–2 мм. Брекчевые текстуры руд наблюдаются и в оруденелых дайках диабаза (рудопоявление Макратела). Руды брекчевой текстуры здесь представлены обломками сильно измененных карбонатизированных диабазов, скементированных мелко-зернистым поздним кварцем с тонкими вкраплениями киновари. В ряде случаев обломки карбонатизированных диабазов окаймляются полосками (до 1 мм ширины) шестоватого кварца, реже перистого карбоната, придавая брекчевой текстуре кокардовый характер. Иногда в трещинных полостях песчаников наблюдается образование дроздовых пустот, способствующих свободному росту кристаллов и возникновению дроздовых текстур. Руды дроздовой текстуры представлены агрегатами кристаллов позднего кварца, на которые нарастают идиоморфные кристаллы киновари, а местами и антимонита.

Текстурные особенности руд ртутной формации, в частности наличие брекчевых, прожилковых, дроздовых текстур, а также вкрапленных текстур, обусловленных наличием рудных минералов в пустотах и межзерновых пространствах вмещающих пород и жи-

льных минералов, с учетом морфологии рудных тел, указывают, что образование руд происходило в основном путем выполнения полостей. Пропуск газоносности в формировании руд ртутной формации существенную роль, по-видимому, не играют.

Минералогические исследования, анализ структурно-текстурных особенностей руд позволяют выделить в процессе формирования ртутного оруденения Абхазии кварц-пиритовую и кварц-диккит-киноварную стадии минерализации.

М.А. Карасик, Г.А. Булкин и А.П. Большаков (1962) обобщили большой фактический материал по минералогическому составу и стадийности формирования ртутных месторождений Средиземноморской провинции и пришли к выводу, что образование их в основном проходило в течение трех стадий кварц-пиритовой, кварц-каолинит-антимонит-киноварной и карбонат-антимонит-киноварной стадий. Помимо трех основных выделяются несколько сопутствующих стадий, которые распространены сравнительно реже.

Выявленные в ртутных месторождениях и рудопроявлениях Абхазии стадии минерализации соответствуют первой и второй стадиям М.А. Карасика и др. (1962), с незначительной сопутствующей мышьяковой минерализацией.

В первую стадию минерализации в песчаниках, глинистых сланцах, алевролитах образовались безрудные кварцевые жилы, сложенные кварцем первой генерации с примесью карбоната и вкраплением пирита, реже арсенопирита, сфалерита, халькопирита и галенита. Первая стадия минерализации сопровождалась окварцеванием и в меньшей степени карбонатизацией вмещающих пород. Тектонические подвижки, разграничающие первую стадию минерализации от второй, вызвали дробление продуктов ранней стадии, разлинование согласных кварцевых жил, образование по-перечных трещин и зон брекчирования в песчаниках, алевролитах и диабазах. Наличием трещин и зон брекчирования большой пропиленности в компетентных породах объясняется тот факт, что в кварцевых жилах и линзах, приуроченных к песчаникам, наложение киноварной минерализации на продукты первой стадии наблюдается исключительно редко. Вся масса руды сконцентрирована либо в цементе брекчий, либо в трещинах компетентных пород. Такая картина наблюдается в глинистых сланцах месторождения Тхасоу (Авалхарское рудное поле). Здесь в сложных кварцевых жилах, приуроченных к зонам внутриформационного отрява и расщепления киноварь главным образом приурочена к межзерновым пустотам кварца.

Минералы второй стадии представлены поздним кварцем, карбонатами, киноварью двух генераций с сопутствующими редкими минералами, диккитом, антимонитом, поздним пиритом, реальгаром и пурпуритом. Возрастные взаимоотношения кварца с

другими рудослагирующими минералами указывают, что вторая стадия минерализации началась выпадением кварца второй генерации. Несмотря на то что после кристаллизации кварца образовалась, по-видимому, киноварь первой генерации, встречающаяся в виде хорошо ограниченных изометрических кристаллов в жилах выполнения. На наличие двух генераций киновари в ртутных рудах указывают ее возрастные взаимоотношения с антимонитом. Изометрические кристаллы киновари корродируются и обрастают радиально-лучистыми агрегатами антимонита; наблюдаются мелкие прожилки киновари вдоль трещин спайности в антимоните. Пространственная разобщенность киновари и антимонита (весьма редко встречающиеся их срастания) не позволяет допустить перекрывание во времени образования этих минералов. Первая генерация киновари кристаллизовалась после выделения кварца и до антимонита. Совместно с киноварью первой генерации образовался и диккит. Вслед за кристаллизацией киновари первой генерации выделялся антимонит. После завершения кристаллизации антимонита началось отложение основной массы киновари второй генерации совместно с диккитом и сопутствующими редкими минералами. Эндогенный процесс минералообразования на месторождениях и рудопроявлениях завершается кристаллизацией позднего пирита, реальгара, аурипигмента и карбоната.

### УСЛОВИЯ ФОРМИРОВАНИЯ И ЗАКОНОМЕРНОСТИ РАЗМЕЩЕНИЯ ЭНДОГЕННЫХ РУДНЫХ ФОРМАЦИЙ

Изложенный выше фактический материал указывает, что формирование современной структуры высокогорной Абхазии проходило в основном в альпийском цикле тектогенеза, хотя на ее территории имеются участки и более ранней консолидации.

Исследования серноколчеданных, медно-пирротиновых, свинцово-цинковых жильных и стратиморфных, баритовых и ртутных формаций позволяют отметить, что они образовались в альпийскую металлогеническую эпоху, совпадающую с альпийским (ранний юра - антропоген) тектономагматическим циклом. Рудные образования более ранних металлогенических эпох, в частности герцинской металлогенической эпохи, широко развитые в пределах Северного Кавказа, в Абхазии не выявлены.

В настоящей работе мы рассматриваем альпийскую металлогеническую эпоху как единую (аналогично альпийскому тектоническому циклу), состоящую из раннеальпийского (нижняя и средняя юра), среднэальпийского (верхняя юра-эоцен) и позднэальпийского (олигоцен-антропоген) подциклов, в течение которых в различных геотектонических зонах Абхазии были сформированы соответствующие структурные этажи.

И.П. Гамкрелидзе (1989) в альпийском цикле тектоничес-

кого развития западной части Южного склона Большого Кавказа выделяют два главных этапа и четыре основные стадии: а) лейас-доггор и б) мальм-оцен - геосинклинальный этап, в) олигоцен-средний сармат и г) поздний сармат-антропоген - орогенический этап. Ранне- и среднеалпийский подциклы, отмеченные выше, соответствуют геосинклинальному этапу, а позднеалпийский подцикл - орогенному этапу развития.

В областях с геосинклинальным типом развития промышленное гидротермальное оруденение, как правило, возникает в поздней стадии тектономагматического цикла (Вольфсон, Лукин и др., 1969). Альпийская геосинклиналь Большого Кавказа в этом отношении, по-видимому, не исключение. Комплексные геологические исследования, проведенные за последние годы и анализ существующего материала по геологии и полезным ископаемым Абхазии показали, что рудные формации образовались главным образом в заключительной стадии альпийской металлогенической эпохи.

Начало альпийской металлогенической эпохи совпадает с интенсивным погружением и формированием обширного геосинклинального бассейна Южного склона Большого Кавказа. В ранней юре в геосинклинальном бассейне отлагался в основном терригенный материал, переслаивающийся с вулканогенными породами порфиритового, реже спилитового состава.

Как уже отмечалось, в низах ахейской свиты (тоар) в ущельях правых притоков р. Бзыби, в ее верхнем течении, наблюдаются маломощные прослой микролитовых диабазовых витрофириров. В этой же свите отмечаются залежи серноколчеданных руд, представленных чередованием пиритовых прослоев с песчаниками и алевролитами. Прослои серного колчедана, состоящие главным образом из пирита, в ничтожном количестве содержат ксеноморфные выделения халькопирита и сфалерита. Залежи серноколчеданных руд раздроблены, будинированы, местами сильно брекчированы. Наблюдаются они в основном в полосе развития диабазовых витрофириров - в ущельях рр. Западный Скеу, Скеу, Чамагвара, Шхапзия, Шхапарт и Башкацара. Исследование изотопных соотношений серы пиритовых сингенетических вкраплений из диабазовых витрофириров и пиритов серноколчеданных залежей показывают хорошую сходимость результатов. Это позволяет предположить гидротермально-осадочный генезис серноколчеданных залежей верхнего течения р. Бзыби и увязать их с поствулканической гидротермальной деятельностью тоарского возраста. Продукты поствулканической деятельности в виде серного колчедана отлагались на дне тоарского бассейна совместно с аргиллитами и песчаниками ахейской свиты. Таким образом, формирование серно-колчеданных руд в пределах Северной Абхазии связано с геосинклинальным этапом развития раннеалпийского (киммерийского) подцикла альпийской металлогенической эпохи.

За терригенным осадконакоплением лейаса в зонах Южного склона и Предгорий в верхнем азелео следует подводный кератофировый и спилит-порфиритовый вулканизм, который достиг максимума развития в байосском веке, когда была сформирована мощная толща спилит-порфиритовой формации. В конце байоса - в бате общее погружение сменяется регрессией и частичной инверсией. На фоне общего поднятия, в западном сегменте зоны Южного склона сохранился геосинклинальный режим, где в бате продолжалось накопление субфлишевых отложений. Местами сохранились также мелкие полузамкнутые и замкнутые бассейны, где происходило образование среднеюрских угленосных толщ. Общее воздымание сопровождалось внедрением гранитоидных интрузий батского возраста в пределах Северо-Западной и Центральной Абхазии. В этот период формируются рудные проявления, генетически связанные с гранитоидными интрузиями, в частности, скарново-магнетитовые Санчарского и редкометальные Келасурского массивов. Первые из них известны в верховьях рр. Санчаро и Белая. Они представлены гранатовыми скарнами, развитыми на контакте гранитоидов Санчарского интрузива с линзами мраморизованных извеистняков, содержащими линзы и гнезда магнетита, изредка пирротина и халькопирита.

Редкометальные проявления представлены маломощными кварц-карбонатно-хлоритовыми жилами, в которых встречаются кассiterит, шеелит, молибденит и арсенопирит. Чешуйки молибдена отмечены также и в маломощных пегматитовых жилах. Редкометальные проявления генетически связаны с кислой фацией гранитоидов - с аллитовидными и аляскитовыми гранитами (Гвахария и др.). Шлиховые ореолы в пределах Келасурского массива указывают на общую его зараженность редкометальной минерализацией, тогда как в шлиховых ореолах близрасположенного Горабского интрузива редкометальные минералы не обнаружены. С.Г. Букия, Е.М. Абамелик, Г.А. Твалчрелидзе (1965) предполагают, что причину отмеченного различия следует искать в характере Келасурского и Горабского интрузивов (сиалическая и базальтовая магмы, соответственно). Исследования М.Г. Тогонидзе (1973) показали, что гранитоидные породы, с которыми генетически связаны редкометальные рудопроявления, в пределах Горабского габбро-диоритового массива не обнажаются - они расположены на глубине.

Батской фазой складчатости завершается лишь начальная стадия альпийского развития западной части Большого Кавказа. Погружение, начавшееся в поздней юре, продолжалось до раннего олигоцена. Оно характеризуется в основном карбонатным осадконакоплением. В разное время, в различных участках нисходящие движения сменялись восходящими, что обусловило образование лагунных построенных свит, барьерных рифов и мостовых носог-

линий между отдельными толщами поэоценовых и меловых пород (Гимкрадзе, 1969; Адамия, Абесадзе и др., 1972).

Среднеалпийский подцикл развития довольно стабилен с точки зрения образования эндогенных рудных проявлений и месторождений. Возможно, со среднеалпийским подциклом связана часть биритовых залежей в карбонатных породах верхней юры.

Наиболее четко восходящие движения проявились в конце верхнего олигоцена, когда началась общая инверсия геосинклинали Южного склона Большого Кавказа – орогенная стадия альпийского развития рассматриваемой области.

Особенно велика роль в развитии всех основных структурных форм рассматриваемой области новейших (начиная с позднего сармата) движений, когда геосинклиналь Южного склона превращается в горноскладчатое сооружение и испытывает общее сводово-глыбовое поднятие. С орогенным этапом (верхнеалпийским подциклом) связано образование основных рудных формаций Большого Кавказа в пределах Абхазии.

Наиболее ранним, по времени образования, является медно-пирротиновая формация, месторождения и рудопроявления которой имеют довольно широкое распространение в пределах зоны Южного склона Большого Кавказа. Основная часть наиболее перспективных медно-пирротиновых рудопроявлений располагается в восточном сегменте Абхазской части зоны Южного склона и приурочена к субпараллельным Магана-Клычскому разлому (главному надвигу) нарушениям вебросового характера. В малом количестве проявления медно-пирротиновых руд фиксируются в Северо-Западной Абхазии, главным образом в зоне сочленения кристаллического ядра и складчатой системы Южного склона. В ничтожном количестве наложенная медно-пирротиновая минерализация отмечается в магнетитовых скарнах Санчарского и гранатовых скарнах Горабского интрузивов.

Большинство исследователей медно-пирротиновых месторождений (Ботехти, 1931; Харашвили, 1964; Твалчрелидзе, 1961; Габиашвили, 1966; Надирадзе и др., 1973) считают эти образования типичными гидротермальными, хотя за последние годы появились новые взгляды на генезис медно-пирротиновых оруденений. Так, В.И. Смирнов (1967), на основании осмотра крупных медно-пирротиновых месторождений восточной части Большого Кавказа, высказывает о их сложном, гидротермально-осадочном происхождении. Пластовые залежи массивных сульфидов железа им рассматриваются как гидротермально-осадочные, а совмещенные с ними медно-цинковые оруденения – как последующие, гидротермальные. Примерно аналогичные идеи развиваёт В.И. Буадзе (1969), на основании изучения медно-пирротинового месторождения Кизмы-Дерро. Гидротермально-осадочным он считает лишь массивные стратиграфические залежи серного колчедана и конкреционные обособле-

ния пирита, а пирротиновые залежи, пиритовые и полиметаллические жильные оруденения, по его мнению, сингенетические. Д.Д. Мазанов (1969) выдвигает новую теорию седиментационно-диагенетически-катагенетического происхождения медно-пирротиновых руд Белоканского района Азербайджанской ССР. Медно-пирротиновое оруденение автор считает синхронным с вмещающими глинистыми сланцами, причем линзовидно-пластообразные тела он относит к позднедиагенетическим, а руды кварцево-сульфидных прожилок – к переотложенным в условиях катагенеза. Проведенные патами исследования целого ряда рудопроявлений медно-пирротиновой формации в пределах Абхазии показали, что пирротин-полиметаллическая минерализация имеет явно выраженный элигентический характер. На это указывает приуроченность рудной минерализации к тектонически раздробленным зонам, наличие руд прожилкового типа, где прожилки секут песчаники, диабазы и глинистые сланцы в различных направлениях, в том числе косо по отношению к кливажу, развитие брекчиевидных текстур руд – обломков вмещающих пород, сцепментированных кварц-пирит-пирротин-халькопиритовым материалом, иногда с примесью карбоната, присутствие в брекчиевидных рудах обломков глинистых сланцев с различно ориентированной сланцеватостью отдельных обломков.

Перечисленные факты указывают, что между формированием глинистых сланцев и сингенетических с ними серно-колчеданных руд и медно-пирротиновых оруденений существует значительный разрыв во времени, в течение которого происходили неоднократное складкообразование, развитие кливажа, изменение диабазов и вмещающих пород и дизъюнктивные нарушения.

Участки развития согласных залежей гидротермально-осадочной формации серного колчедана (верхнее течение р. Бзыби) служили своеобразными барьераами для рудоносных растворов, под воздействием которых массивные пиритовые руды замещались пирротином; в межзерновом пространстве последнего располагались минералы наложенной медно-полиметаллической минерализации. Образование пирротина за счет метасоматического замещения пирита подтверждается наличием сильно корродированных агрогратов пирита в массивных медно-пирротиновых рудах. В тех участках зоны Южного склона, где в лейасовых отложениях отсутствуют залежи сингенетических серноколчеданных руд (Чхалтинская и Хецквара-Генцвишская рудоносные зоны) медно-пирротиновые проявления представлены медно-пирротин-полиметаллическим оруденением прожилкового и прожилково-сетчатого (штокверкового) типов. Таким образом, медно-пирротиновая минерализация при наличии серноколчеданного оруденения образует серноколчеданно-медно-пирротиновый комплекс, а при его отсутствии – собственно медно-пирротиновую формацию чистой линии или медно-пирротин-

полиметаллическую сложную формацию.

Рудопроявления медно-пирротиновой формации, судя по исследованию газово-жидких включений в жильном кварце, представляют собой в основном среднетемпературные образования. Газово-жидкие включения в кварце гомогенизируются в интервалах 300–280° и 200–155° (Твалчрелидзе, 1973).

Возраст медно-пирротиновых месторождений Южного склона Большого Кавказа различными исследователями определяется по разному. Г.И. Харашвили (1949), приводивший исследование медно-пирротиновых проявлений Заалазанской Кахети, основываясь на тяготении ряда рудных участков к диоритам и альбититам, допускал генетическую связь медно-пирротиновой минерализации с отмеченными породами, возраст которых определяется как батский. Позднее Г.И. Харашвили (1964), учитывая повсеместную пространственную связь оруденения со среднеюрским вулканизмом, предположил генетическую связь медно-пирротиновых месторождений с концом байосской магматической деятельности или, во всяком случае, с процессами, происходящими не позднее начальной стадии батского гранитообразования.

Г.А. Твалчрелидзе (1961, 1973, совместно с В. Панцулай) медно-пирротиновые месторождения Большого Кавказа относит к доскладчатой (раннегеосинклинальной) стадии киммерийской металлогенической эпохи и датирует их байосом.

Более древним считает медно-пирротиновое проявление бассейна р. Белая (СЗ Кавказ) В.С. Балицкий (1961). Основываясь на находке рудных обломок в пачке аргиллитовых брекчий, условно отнесенных к аалену, он связывает оруденение с предверхнелейасскими тектоническими движениями.

Ю.В. Мельников и В.В. Черницын (1972) на основании находок сульфидных галек в пластах и линзах конгломератов келловайского и байосского возрастов в междуречье Шинчай и Калалчай в Азербайджане приходят к выводу, что значительные массы сульфидов формировались до предкелловайской тектонической фазы.

Следует отметить, что в работе В.С. Балицкого не указан минералогический состав рудных галек. Обнаруженные Ю.В. Мельниковым и В.Б. Черницыным гальки состоят главным образом из пирита и марказита; пирротин, халькопирит, галенит и сфалерит найдены в ничтожном количестве и лишь в искусственных шлихах. На наш взгляд без сравнительного изучения рудных галек, с одной стороны, и руд в коренном залегании, с другой, преждевременно считать рудные гальки продуктами размытия медно-пирротиновых толщ.

По мнению Т.Н. Габашвили (1966), наблюдаемые в медно-пирротиновых месторождениях Абхазии два типа минерализации (серноколчеданная и медно-пирротиновая), соответственно датируются как байосский и батский.

Фактический материал о возрасте медно-пирротиновых оруденений (наличие прожилкового оруденения в диабазах байосского и гранитоидах батского возраста) позволяет с достаточной уверенностью говорить о постсреднеюрском возрасте медно-пирротин-полиметаллической минерализации. Принимая во внимание значительный разрыв во времени между формированием сланцевых толщ, диабазовых даек и гранитоидных интрузий, с одной стороны, и медно-пирротиновых месторождений и рудопроявлений, с другой, а также связь оруденения с разрывными нарушениями, по-видимому, позднеальпийского возраста, образование медно-пирротиновых месторождений и рудопроявлений мы связываем с начальной стадией позднеальпийского орогенного этапа развития. К аналогичным выводам в отношении возраста медно-пирротиновых оруденений Южного склона Большого Кавказа мы пришли раньше, при изучении медно-пирротиновых проявлений Верхней Рачи и Сванетии (Надирадзе, Отхмезури и др., 1968, 1978), а еще раньше – В.Р. Надирадзе (1967).

Свинцово-цинковые месторождения и рудопроявления Абхазии, как отмечено, приурочены в основном к зоне Предгорий. В зоне Южного склона собственно свинцово-цинковые проявления встречаются редко, в виде мелких секущих жил и гнезд в диабазах и диабаз-порфириях и в контактовых участках последних с глинистыми сланцами. Свинцово-цинковое оруденение в зоне Южного склона представляет собой в основном составную часть медно-пирротин-полиметаллической сложной формации. Исключение составляют рудные проявления бассейна р. Кодори, где свинцово-цинковая минерализация наряду с наложением на медно-пирротиновую формацию, образует фон, на котором, в свою очередь, развивается баритовое оруденение.

Собственно свинцово-цинковые рудные проявления зоны Предгорий образуют стратиморфную формацию в карбонатных породах и жильную – в гранитоидах. В этой же зоне встречаются смешанные рудопроявления сложной барит-полиметаллической формации.

Свинцово-цинковая минерализация зоны Южного склона и Предгорий, с точки зрения минерального состава, в основном однотипны, если не принять во внимание резкое увеличение роли халькопирита в наложенной на медно-пирротиновую формацию свинцово-цинковой минерализации.

Наличие, наряду с собственно медно-пирротиновыми, свинцово-цинковыми и баритовыми рудопроявлениями, сложных медно-пирротин-полиметаллических оруденений указывает на взаимную связь этих формаций.

Как показали исследования П.Ф. Сопко (1982), по соотношениям колчеданного, свинцово-цинкового и баритового типов оруденений, значительная часть промышленной концентрации меди,

свинца, цинка и иногда барита относятся к месторождениям колчеданной формации, широко развитой в ряде складчатых зон. Эти же минералы, а также барит, могут накапливаться и в роговицовых жильных месторождениях, недавно развитых в тех же районах, где образуются типичные колчеданные месторождения. Как известно, рудообразующие минералы в колчеданных месторождениях отлагаются стадийно, и на отдельных месторождениях и рудопроявлениях могут проявляться не все стадии минерализации. В зависимости от длительности процесса образования месторождений, тектонического режима, при котором происходил этот процесс и от ряда других факторов, проявления различных стадий могут пространственно совмещаться или иногда встречаться разобщенно (Сопко, 1962). В нашем случае обнаруживается тесная пространственная и временная связь медно-пиротинового и свинцово-цинкового оруденения, с одной, и свинцово-цинкового и баритового, с другой стороны.

Как показали исследования свинцово-цинковых жильных месторождений и рудопроявлений в гранитоидах батского возраста (Отхмерури, 1960), формирование их протекало при низких и средних температурах в условиях малых глубин. Принимая во внимание гигабисальный характер гранитоидных массивов, образование которых происходило под мощным чехлом осадочных и эфузивно-осадочных образований лейаса и байоса, можно заключить, что, несмотря на тесную пространственную связь рудных тел с гранитоидами среднеюрского возраста, между образованием гранитоидов и свинцово-цинкового оруденения – довольно большой разрыв во времени. Скорее всего свинцово-цинковые жильные проявления в гранитоидах постмелозойские. Того же возраста, на наш взгляд, и стратиморфные залежи свинцово-цинковых руд в верхнеюрских доломитизированных известняках, связь которых с разрывными нарушениями с достаточной убедительностью доказана Т.В. Иванцким (1963).

Месторождения и рудопроявления баритовой формации приурочены в основном к зоне Предгорий; в меньшем количестве они зафиксированы в восточной части Южного склона (Кодорская группа баритовых месторождений). Баритовые месторождения и рудопроявления Западной Грузии Г.С. Дзоценидзе (1945) считает киммерийскими и генетически связывает с батским интрузивным комплексом. Г.Л. Твалчрелидзе (1961) баритовое оруденение связывает с двумя металлогеническими эпохами – киммерийской и альпийской. Н.Ф. Шония (1959) процесс баритообразования считает одностадийным и на основании структурных исследований баритовые оруденения относит к постмелозойским образованиям.

На основании аналогичных исследований на Чорском месторождении В.В. Нагирядзе (1968) высказал мнение о постмелозой-

мiocеновом возрасте баритового оруденения. Геологические наблюдения на Диликаурском месторождении барита проводили Е.В. Николайшили (1974) определить верхний возрастной предел баритового оруденения – средний миоцен. Исследования аргонового возраста баритовых месторождений Грузии (Гуниава, Шония и др., 1971) позволяют предположить наличие по крайней мере трех возрастных групп гидротермальных баритовых оруденений – позднеюрской, раннемеловой и неогеновой. Основная масса баритовых месторождений Абхазии, судя по возрастным взаимоотношениям медно-пиротиновой, свинцово-цинковой и баритовой формаций относится, по-видимому, к неогену. Возможно, часть баритовых трещинных жил, приуроченных к порfirитовой свите байоса (там, где свинцово-цинковая минерализация развивается на фоне кварц-карбонатно-баритового оруденения), а также часть баритовых залежей в карбонатных породах позднеюрско-раннемелового возраста.

Из вышеизложенного ясно, что формирование медно-пиротиновых, свинцово-цинковых и баритовых месторождений и рудопроявлений процесс взаимосвязанный, отдельные стадии которого по-разному проявляются в различных участках рассматриваемой территории. Отмеченные рудные формации представляют собой, по-видимому, раннеорогенные образования.

Формирование ртутных месторождений и рудопроявлений, широко распространенных в пределах Северо-Западной Абхазии, совпадает с позднеорогенной стадией альпийского тектогенеза – с общим складчато-блоковым воздыманием горного сооружения Большого Кавказа. Пространственное размещение ртутных месторождений и рудопроявлений контролируется разломами глубинного заложения, вдоль которых осуществляется транспорт ртути содержащих гидротерм из глубинных очагов. Связь ртутного оруденения с глубинными, преимущественно подкоровыми очагами, в настоящее время допускается большинством исследователей (Поярков, 1966; Кузнецков, 1968; Федорчук, 1969 и др.).

Исследователи ртутных месторождений Грузии (Бенделиани, 1938; Чичинадзе, 1945; Тогонидзе, 1957; Твалчрелидзе, 1961; Каляндадзе, 1962; Кекелия, 1964; Букия, Абамелик и др., 1965; Надирадзе, Долидзе и др., 1968; Церцвадзе, 1972) структурой первого порядка, обусловливающей закономерности пространственного размещения ртутных месторождений Большого Кавказа, считают "Главный надвиг" – взброс большой амплитуды кристаллического ядра Большого Кавказа на нижнеюрскую сланцевую серию. К существенно иному выводу пришла Н.Г. Демидова (1964), изучавшая закономерности размещения ртутных месторождений Большого Кавказа. Основываясь на представлениях В.Е. Хаина и др. (1960), Н.Г. Демидова "Главный надвиг" считает активной структурой мелозойского возраста, утратившей свою мобильность к моменту формирования ртутных месторождений. Активными кийновскими

структурами регионального масштаба, контролирующими размещение ртутных месторождений Большого Кавказа. Н.Г. Демидова считает краевые долгоживущие глубинные разломы, ограничивающие с севера и юга Рача-Тианетский и Новороссийский флишевые синклиниории. В Абхазии основной рудоконтролирующей структурой Н.Г. Демидова считает Краснополянско-Кодорский разлом, прослеживающийся, по ее мнению, от верховьев р. Кодори на востоке до бассейна р. Мзыма на западе. Представления Н.Г. Демидовой, в основном убедительные для Рача-Тианетского и Новороссийского флишевых бассейнов, в пределах Абхазии требуют определенных корректировок.

Проведенные в пределах Абхазии комплексные исследования значительно изменили взгляды на характер "Главного надвига" – долгоживущего глубинного нарушения древнего заложения, вдоль которого кристаллическое ядро палеозойского возраста надвинуто на нижнеюрские отложения. В частности, было установлено, что расположенные кулисообразно нарушения, фиксирующиеся на стыке пород нижней юры и палеозоя в пределах Северо-Западной Абхазии, сравнительно молодые, постнижеюрские. Глубинный разлом (система разломов), разделяющий в раннюю юру консолидированную зону Главного хребта от геосинклинали Южного склона, проходил, по-видимому, южнее и в настоящее время фиксируется линейно расположенными зонами смятия, дробления и гидротермального изменения с ртутным оруденением.

В пределах рассматриваемой области геосинклинальный режим после батской фазы складчатости сохранился лишь в западном сегменте зоны Южного склона, на месте остаточного предъюрского геосинклинального трога, где в верхней юре и в мелу накопились субфлишевые отложения. От бассейна р. Псоу, к востоку субфлишевые отложения постепенно сменяются переходными и эпиплатформенными фациями, что указывает на смену геосинклинального режима на эпиконтинентальный. Субфлишевый трог Северо-Западной Абхазии, по-видимому, с востока замыкает Новороссийский флишевый бассейн. Так как отмеченный субфлишевый трог повторяет контуры предъюрской геосинклинали, то границы зоны Главного хребта и геосинклинали Южного склона (скрытый глубинный разлом, трассирующийся в настоящее время линейно расположенными ртутными месторождениями и рудопроявлениями) должны совпадать с северным краем субфлишевого бассейна Северо-Западной Абхазии. В этом отношении представления Н.Г. Демидовой вполне справедливы для западной части Горной Абхазии.

Что касается Центральной и Северо-Восточной Абхазии, палеогеографические и палеофациальные реконструкции позволяют утверждать, что эта область перед поздним мелом являлась областью размыва и в позднем мелу частично покрывалась мелким антиконтинентальным морем. Нет никаких оснований допустить здесь

наличие верхнеюрско-молового флишевого прогиба, якобы соединяющегося с Восточным флишевым бассейном Южного склона Большого Кавказа. Однако зона глубинного разлома Северо-Западной Абхазии, увязывающаяся на западе с северным краем Новороссийского флишевого синклиниория, к востоку кулисообразно сменяется Магана-Клычским разломом и еще восточнее – Гебско-Лагодехским разломом, ограничивающим с севера Рача-Тианетский флишевый синклиниорий.

Зона сочленения складчатой системы Южного склона и кристаллического ядра Большого Кавказа в восточной части Абхазии, в отличие от западной, практически не содержит ртутного оруденения – оно в ничтожном количестве обнаружено в коренном залегании и фиксируется главным образом в виде шлиховых ореолов.

В зоне Предгорий, переходной между геосинклиналью Южного склона и Грузинской глыбой, ртутная минерализация развита сравнительно слабо. Здесь отмечаются лишь шлиховые ореолы и мелкие проявления в коренном залегании (Ахахча, Бетага). Положение зоны Предгорий между двумя существенно различными по истории развития геотектоническими единицами – геосинклиналью Южного склона и Грузинской глыбой – обуславливает наличие здесь скрытых глубинных разломов, контролирующих ртутные рудопроявления.

Таким образом, основные структуры, контролирующие пространственное размещение ртутных месторождений и рудопроявлений рассматриваемой области, – это глубинные разломы, разграничивающие с севера и с юга складчатую систему Южного склона Большого Кавказа от кристаллического ядра Большого Кавказа с одной стороны, и Грузинской глыбой – с другой.

Установление точных возрастных границ проявления ртутной минерализации на Южном склоне Большого Кавказа проблема весьма сложная. О возрасте ртутной минерализации Абхазии нет единого мнения, хотя большинство исследователей считают ее сравнительно молодой – постмелозойской.

Г.А. Твалчрелидзе (1961) месторождения и рудопроявления ртутно-сурьмяно-мышьяковой формации считает постскладчательными образованиями альпийской металлогенической эпохи. К аналогичным выводам пришла Н.Г. Демидова (1964), изучившая ртутные месторождения Наро-Мамисонского рудного поля. З.Я. Церцвадзе (1967), на основании изучения распределения ртути в разновозрастных отложениях в районе развития ртутных оруденений Грузии, пришел к выводу о постверхнеэоценовом возрасте последнего.

Данные, позволяющие в определенной мере судить о возрасте ртутной минерализации Южного склона Большого Кавказа сводятся к следующему: 1) коренные месторождения ртути обнаружены в отложениях различного возраста – от лейкократовых до нижнемеловых (в последних локализуются некоторые ртутные месторожде-

ии и рудопроявления Новороссийской группы на Северо-Западном Кавказе); 2) ртутные рудопроявления Абхазии пространственно связанны с зонами позднеалпийских глубинных разломов; 3) ртутная минерализация Южного склона Большого Кавказа, по-видимому, наиболее поздняя (за исключением, возможно, низкотемпературного мышьякового, реальгар-аурипигментового оруденения). Она замыкает во времени процесс эндогенного рудообразования на Южном склоне Большого Кавказа.

Приуроченность сурьмяно-ртутного оруденения к завершающим стадиям крупных металлогенических эпох палеозойского и мезо-кайнозойского возраста Средиземноморского геосинклинального пояса (Твалчрелидзе, 1964, 1972) указывает, на наш взгляд, на связь формирования ртутных месторождений и рудопроявлений Южного склона Большого Кавказа с позднеалпийским тектогенезом (поздний неоген-антропоген), что подтверждается также приуроченностью ртутных месторождений к позднеалпийским структурам.

### Заключение

Исследования закономерностей образования и размещения эндогенных рудных месторождений и рудопроявлений в тесной связи с геологическим строением и историей развития рассматриваемой области, изучение вещественного состава руд, строения и структурно-морфологических особенностей рудных тел месторождений и проявлений различного типа позволили сделать некоторые выводы.

1. В пределах Абхазии, с точки зрения образования эндогенных рудных формаций различного типа, наиболее продуктивной является альпийская металлогеническая эпоха, которая нами, соответственно альпийскому тектономагматическому циклу, рассматривается как единая и разделяется на раннеалпийский (нижняя, средняя юра), среднеалпийский (верхняя юра-эоцен) и позднеалпийский (олигоцен-антропоген) подциклы. В течение этого цикла в различных геотектонических зонах Абхазии были сформированы соответствующие структурные этажи. Ранне- и среднеалпийский подциклы соответствуют геосинклинальному, а позднеалпийский подцикл – орогенному этапу развития северной части Абхазии.

2. Наиболее ранними рудными образованиями среди месторождений и рудопроявлений альпийского возраста в пределах рассматриваемой области нужно считать стратиморфные залежи массивных серноколчеданных руд гидротермально-осадочного генезиса, приуроченные к ахейской песчано-сланцевой свите тоарского

возраста. Сингенетические залежи серноколчеданных руд сами по себе не представляют промышленной ценности, однако в позднеалпийскую эпоху, в процессе становления медно-пирротинового оруденения, служили, видимо, своеобразным фоном, на который накладывалась промышленная медно-пирротиновая минерализация.

3. Перед среднеалпийским подциклом наблюдается частная инверсия геосинклинали (батская фаза складчатости) и внедрение гранитоидных интрузий как на северной, так и на южной периферии зоны Южного склона. С отмеченными гранитоидными интрузиями генетически связаны скарново-магнетитовые и редкометальные проявления Санчарского и Келасурского массивов.

4. С орогенным этапом развития альпийской складчатой системы Большого Кавказа в пределах Абхазии связана основная масса рудных месторождений и проявлений, среди которых можно выделить раннеорогенные (доверхнесарматские) и позднеорогенные (постсреднесарматские) рудные образования.

5. Медно-пирротиновые месторождения и рудопроявления развиты в основном в восточном сегменте зоны Южного склона в приконтактовой полосе кристаллического ядра Главного хребта со складчатой системой Южного склона; они приурочены к субпараллельным чешуйчатым разрывам общекавказского простирания, сопряженным с Главным надвигом. В зонах разломов медно-пирротиновое оруденение образует штокверковые тела с прожилково-сетчатым оруденением. В верховьях р. Бзыбь медно-пирротиновое оруденение накладывается на серноколчеданные стратиморфные залежи, образуя массивные медно-пирротиновые руды, представляющие промышленный интерес. Свинцово-цинковые и баритовые месторождения и рудопроявления распространены главным образом в зоне Предгорий, в виде жильных и стратиморфных тел, контролируемых дислокационными нарушениями разного порядка. В зоне Южного склона свинцово-цинковые и баритовые проявления встречаются в виде смешанных барит-полиметаллических и медно-пирротин-полиметаллических руд. Возраст медно-пирротиновых руд по ряду признаков определяется позднеалпийским. По соотношению медно-пирротинового оруденения со свинцово-цинковой и баритовой минерализацией возраст последних, видимо, также позднеалпийский.

6. Ртутная минерализация – наиболее поздняя среди эндогенных месторождений и рудопроявлений Абхазии. Она приурочена к периферийным частям западного сегмента зоны Южного склона (восточное замыкание Новороссийского флишевого синклиниория). Ртутная минерализация контролируется скрытыми глубинными разломами, ограничивающими западную часть зоны Южного склона с севера и юга от кристаллического ядра Большого Кавказа и абхазской зоны Грузинской глыбы, соответственно. Формирование

**ртутного оруденения синхронно с постдиорогенной стадией.**

7. В пространственном размещении месторождений и рудо-проявленияй различных эндогенных рудных формаций Абхазии основную роль играет структурный контроль оруденения. Почти все оруденения медно-пирротиновой, свинцово-цинковой, баритовой и ртутной формаций приурочены к дислокационным нарушениям разного порядка. Исключение составляет сингенетическая серноколчеданная формация гидротермально-осадочного происхождения, с четко выраженным стратиграфическим контролем и скарново-магнетитовая и кварц-редкометальная формации, контролируемые батским гранитоидным магматизмом.

8. В пространственном размещении медно-пирротиновых и ртутных оруденений вдоль приконтактовой зоны кристаллического щита Большого Кавказа и складчатой системы Южного склона наблюдается определенная закономерность, выражаяющаяся в предпочтительном развитии ртутной минерализации в западной части отмеченной зоны, а медно-пирротиновой – в восточной. Эта закономерность обусловлена различием истории геологического развития и, соответственно, различным характером дислокационных нарушений первого порядка, ограничивающих зону Южного склона от зоны Главного хребта и контролирующих медно-пирротиновые и ртутные оруденения в Северо-Восточной и Северо-Западной Абхазии.

9. На прилагаемой схеме размещения эндогенных месторождений и проявлений различных рудных формаций на территории Абхазии выделены структурные этажи и формации осадочных и магматических пород, нанесены месторождения и рудопроявления.

## ЛИТЕРАТУРА

Абесадзе Г.Н. О природе "Главного надвига" Большого Кавказа в западной части Абхазии. В кн.: "Вопросы геологии Северо-Западной Абхазии". "Мецниереба", Тбилиси, 1972.

Адамия Ш.А. Доюрские образования Кавказа. Тр. ГИН АН ГССР, нов. сер., вып. 16, "Мецниереба", Тбилиси, 1968.

Адамия Ш.А., Абесадзе Г.Н. Стратиграфия метаморфических образований зоны Главного хребта. В кн.: "Вопросы геологии Северо-Западной Абхазии". "Мецниереба", Тбилиси, 1972.

\* Адамия Ш.А., Абесадзе Г.Н., Бендукидзе Н.С., Беридзе М.А., Вишадзе Б.Г., Джапелидзе Т.В., Дулаури О.З., Кавтарадзе А.А., Карабадзе М.В., Кикодзе Г.С., Отхмезури З.В., Пайчадзе Т.А., Салуквадзе Н.Ш., Тогонидзе М.Г., Тодрия В.А. Структурно-фациальная зональность и история развития. В кн.: "Вопросы геологии Северо-Западной Абхазии". "Мецниереба", Тбилиси, 1972.

Адамия Ш.А., Топчишвили М.В., Беридзе М.А. К стратиграфии нижнеюрских отложений Центральной Абхазии. Сообщения АН ГССР, т. 67, № 2. "Мецниереба", Тбилиси, 1972.

Балицкий В.С. К вопросу о возрасте полиметаллического оруденения на Северо-Западном Кавказе. Тр. Краснодарск. фил. ВНИИ. Геол. сборн., вып. 3, 1961.

Бенделiani A.E. Проявление редкометального оруденения в горах Верхней Рачи. "Разведка недр", № 3-4, 1938.

Беридзе М.А., Адамия Ш.А., Абесадзе Г.Н. Нижняя юра. В кн.: "Вопросы геологии Северо-Западной Абхазии". "Мецниереба", Тбилиси, 1972.

Бетехтин А.Г. Минералогия Белоканского медного месторождения. Тр. Всес. геол.-развед. объединения, вып. 131, 1931.

Букия С.Г., Абамелик Е.М., Твалчрелидзе Г.А. Рудные пояса Абхазии. Тр. КИМСа, вып. У1 (8), сер. полезн. ископ., Тбилиси, 1965.

Вашадзе Б.Г. Тектоническое районирование по типам складчатости. В кн.: "Вопросы геологии Северо-Западной Абхазии". "Мецниереба", Тбилиси, 1972.

Вольфсон Ф.И., Лукин Л.И. Особенности локализации гидротермального оруденения цветных и редких металлов. В кн.: "Особенности структур гидротермальных рудных месторождений в различных структурных этажах и ярусах". "Наука", М., 1968.

Вольфсон Ф.И., Лукин Л.И., Чернышев В.Ф., Корин

- И.З., Милиновский Е.П., Сафонов Ю.Г.**  
Структурные условия локализации гидротермально-го оруденения в различных структурных этажах.  
В кн.: "Проблемы геологии минеральных месторождений, петрологии и минералогии". т. 1, "Наука", М., 1969.
- Гамкрелидзе И.П.** Строение и развитие западной части Южного склона Большого Кавказа и Грузинской глыбы.  
"Геотектоника", № 4, 1969.
- Гамкрелидзе П.Д.** Основные черты тектонического строения Грузии. Тр. ГИН АН ГССР, сер. геол., т. X (ХУ), 1957.
- Гамкрелидзе П.Д.** Некоторые особенности расположения тектонических зон складчатой системы Южного склона Большого Кавказа. Сб. тр. ГИН АН ГССР, Изд-во АН ГССР, Тбилиси, 1959.
- Гамкрелидзе П.Д.** Основные черты тектонического строения Кавказа. "Геотектоника", № 3, 1966.
- Демидова Н.Г.** Геологические закономерности размещения ртутной минерализации на территории Большого Кавказа. В сб.: "Закономерности размещения полезных ископаемых", т. 7, "Наука", М., 1964.
- Джанелидзе Т.В., Адамия Ш.А., Абесадзе Г.Н., Вашадзе Б.Г., Кавтарадзе А.А.** Байос. Порfirитовая свита. В кн.: "Вопросы геологии Северо-Западной Абхазии". "Мецниереба", Тбилиси, 1972.
- Дзоценидзе Г.С.** К вопросу генезиса баритовых месторождений Западной Грузии. Сообщения АН ГССР, т. 6, № 8, 1945.
- Дудаури О.З.** Роль древнего субстрата в формировании средне-юрских гранитоидов Южного склона Большого Кавказа. В кн.: "Материалы петрографического совещания", Баку, 1969.
- Дудаури О.З., Тогонидзе М.Г.** Метаморфические образования зоны Предгорий. В кн.: "Вопросы геологии Северо-Западной Абхазии". "Мецниереба", Тбилиси, 1972.
- Дудаури О.З., Тогонидзе М.Г.** Постпалеозойский магматизм Абхазии и его связь с тектоникой. В кн.: "Вопросы геологии Северо-Западной Абхазии". "Мецниереба", Тбилиси, 1972.
- Дудаури О.З., Кецховели Д.Н., Тогонидзе М.Г., Шенгелиа Д.М.** Тектонический клин палеозойских кристаллических пород в верховьях р. Аргара (Абхазия). Сообщ. АН ГССР, 71, № 1, 1973.
- Думбадзе Г.Д.** Петрология Санчарского интрузива и вмещающих его толщ. Автореферат канд. диссерт., 1969.
- Заридзе Г.М., Татришвили Н.Ф.** Магматизм Грузии и связанные с ним рудообразования. Госгеолтехиздат, 1959.
- Заридзе Г.М.** Петрография магматических и метаморфических пород Грузии. Госгеолтехиздат, 1961.
- Иваницкий Т.В.** Геология, минералогия и geoхимия свинцово-цинковых и полиметаллических месторождений Грузии. Монографии, № 2. Изд-во АН ГССР, Тбилиси, 1963.
- Иваницкий Т.В., Цинцадзе Г.В.** Вюрцит в близповерхностных низкотемпературных свинцово-цинковых рудах. Сб. тр. ГИН АН ГССР, 1959.
- Какабадзе М.В.** Меловая система. В кн.: Вопросы геологии Северо-Западной Абхазии. "Мецниереба", Тбилиси, 1972.
- Каландадзе А.Д.** Закономерности формирования и размещения ртутно-сульфидной минерализации на Кавказе. Госгеолтехиздат. Геол. сб. КИМСа, № 2, М., 1962.
- Карасик М.А., Булкин Г.А., Большаков А.П.** О некоторых связях между минерало-geoхимическими и геологоструктурными особенностями рудных полей сульфидно-рутного комплекса. ДАН СССР, т. 142, № 2, 1962.
- Кекелия С.А.** Условия формирования ртутного оруденения Абхазии (на примере Ахейского месторождения). Тр. КИМСа, вып. У (7). Сер. геолог. Тбилиси, 1964.

- Кекелии С.А.** Главные особенности размещения и формирования ртутных месторождений Большого Кавказа. Тезисы докл. Ш конф. по геол. и геолиз. ископ. Северного Кавказа. Ессентуки, 1968.
- Кекелия С.А., Кавтарадзе А.А.** О структурных условиях локализации ртути в Западной Абхазии. Сообщ. АН ГССР, т. 53, № 1, 1969.
- Кикодзе Г.С., Адамия Ш.А.** Верхний оксфорд (лузитан)-титон. В кн.: "Вопросы геологии Северо-Западной Абхазии". "Мецниереба", Тбилиси, 1972.
- Константинов Р.М.** Изучение эндогенных рудных месторождений различных рудных формаций при крупномасштабных металлогенических исследованиях. В кн.: "Изучение закономерностей размещения минерализации при металлогенических исследованиях рудных районов". "Недра", М., 1965.
- Константинов Р.М.** Формационный анализ рудных месторождений при металлогенических исследованиях. В кн.: "Металлогенический анализ рудоконтролирующих факторов в рудных районах". "Недра", М., 1972.
- Константинов Р.М.** Основы формационного анализа гидротермальных рудных месторождений. "Наука", М., 1973.
- Кузнецов В.А.** Основные проблемы металлогении ртути. В кн.: "Вопросы металлогении ртути". "Наука", М., 1968.
- Миланов Д.Д.** Литология и генезис юрских отложений Большого Кавказа в пределах Азербайджана. Изд-во АН Аз. ССР, Баку, 1969.
- Мольников Ю.В., Черницын В.Б.** Новые данные о возрасте колчеданного оруденения на Юго-Восточном Кавказе. ДАН СССР, т. 203, № 2, 1972.
- Милановский Е.Е., Хайн В.Е.** Геологическое строение Кавказа. Очерки региональной геологии СССР, вып. 8, М., 1963.
- Надирадзе В.Р.** Структурные условия формирования Чордского баритового рудного поля. Автореферат канд. дис-
- сертации, Тбилиси, 1968.
- Надирадзе В.Р.** Металлогения Большого Кавказа в пределах Рачи и Сванетии. Тезисы докл. научн. сессии на тему: Геологическое строение и металлогения Большого Кавказа в пределах Рачи и Сванетии. Тбилиси, 1967.
- Надирадзе В.Р., Алибегашвили Б.А., Каходзе Э.И., Отхмезури З.В.** Условия формирования и закономерности распределения эндогенных рудных формаций Рачи и Сванетии. "Мецниереба", Тбилиси, 1972.
- Николайшили Е.В.** О возможном верхнем возрастном пределе баритового оруденения Западной Грузии. Сообщ. АН ГССР, № 1, 1974.
- Отхмезури З.В.** Некоторые особенности строения Амтхельского рудного поля. В кн.: "Тр. первой Закавказской конф. молодых науч. сотрудников" геол. ин-та АН ГССР, АН Арм. ССР, АН Аз. ССР, Ереван, 1959.
- Отхмезури З.В.** Геологическое строение и вещественный состав руд Амтхельского рудного поля. Автореферат канд. диссерт., 1960.
- Отхмезури З.В.** Геологическое строение Амтхельского свинцово-цинкового рудного поля. Тр. ГИН АН ГССР, минер.-петрограф. серия, т. У. Изд-во АН ГССР, 1961.
- Отхмезури З.В.** Висмутовые минералы в медно-пирротиновых рудах Казбегского района. Сообщения АН ГССР, т. XXX, № 2, 1963.
- Отхмезури З.В.** Дисульфидизация пирротинов в медно-пирротиновых рудах Грузии. Сообщ. АН ГССР, т. 54, № 1, 1969.
- Отхмезури З.В.** Морфологические типы рудных тел ртутных месторождений и рудопроявлений Абхазии. В сб., посвященной 70-летию акад. П.Д. Гамкрелидзе. "Мецниереба", Тбилиси, 1976.

**Отхменури З.В., Кавтарадзе А.А., Адамия Ш.А., Абосадзе Г.Н., Ванадзе Б.Г.** Ртутьное оруденение Абхазии и закономерности его размещения. В кн.: "Вопросы геологии Северо-Западной Абхазии". "Мецниереба", Тбилиси, 1972.

**Пачадзе Т.А., Кикодзе Г.С., Адамия Ш.А.** Аибинская свита. В кн.: "Вопросы геологии Северо-Западной Абхазии". "Мецниереба", Тбилиси, 1972.

**Поярков В.Э.** Ртуть и сурьма. Госгеолтехиздат. М., 1955.

**Поярков В.Э.** О некоторых общих закономерностях распространения ртути. Вестник АН Казахск. ССР, № 2, 1966.

**Рубинштейн М.М.** Аргоновый метод в применении к некоторым вопросам региональной геологии. Тр. ГИН АН ГССР, нов. сер., вып. 11, 1967.

**Рубинштейн М.М., Гогишвили В.В., Гуниава В.Д., Насидзе Г.И., Хуциадзе А.Л.** Результаты определения абсолютного возраста некоторых рудных месторождений Грузии по продуктам оклорудных изменений. Изв. АН СССР, сер. геол. № 5, 1968.

**Салуквадзе Н.Ш.** Палеогеновая система. В кн.: "Вопросы геологии Северо-Западной Абхазии". "Мецниереба", Тбилиси, 1972.

**Синицын Н.М.** О региональных структурах контролирующих ртутно-сурьмяное оруденение Южной Ферганы. ДАН СССР, № 3, 1948.

**Смирнов В.И.** Геология ртутных месторождений Средней Азии. Госгеолиздат, М., 1947.

**Смирнов В.И.** Соотношение осадочного и гидротермального процессов при формировании колчеданных руд в юрских флишоидах Большого Кавказа. ДАН СССР, 177, № 1, 1967.

**Смирнов В.И., Рыженко Л.М.** Некоторые особенности образования и размещения ртутных месторождений. В кн.: "Закономерности размещения полезных ископа-

емых", т. 1, Изд-во АН СССР, 1958.

**Сопко П.Ф.** О соотношениях колчеданного, свинцово-цинкового и баритового типов оруденения. В сб. "Закономерности размещения полезных ископаемых", т. У. Изд-во АН СССР, М., 1962.

**Справочник по тектонической терминологии.** "Недра", М., 1970.

**Твалчрелидзе А.Г.** О соотношении регионального метаморфизма и медно-пирротинового оруденения в нижнеюрских сланцах Горной Абхазии. "Геология рудных месторождений", № 5, 1973.

**Твалчрелидзе Г.А.** Об основных особенностях металлогении Кавказа. Сб. трудов ГИН АН ГССР, 1959.

**Твалчрелидзе Г.А.** Некоторые особенности металлогении Средиземноморского геосинклинального пояса. В кн.: "Закономерности размещения полезных ископаемых", т. УП, "Наука", М., 1964.

**Твалчрелидзе Г.А.** О некоторых закономерностях размещения сурьмяно-ртутных месторождений Средиземноморского складчатого пояса. Бюлл. НТИ, сер. "Методика съемки поисков, разведки и оценки МПИ", № 1, ОНТИ, ВИЭМСа, М., 1967.

**Твалчрелидзе Г.А.** Рудные провинции Мира (Средиземноморский пояс). "Недра", М., 1972.

**Твалчрелидзе Г.А., Панцулая В.В.** Сравнительная характеристика геосинклинальной и постгеосинклинальной металлогении Кавказа. "Сов. геология", № 11, 1973.

**Тогонидзе Г.И.** Рудные месторождения Горной Рачи. Тр. ГПИ, № 8, (56), Изд-во ГПИ, 1957.

**Тогонидзе М.Г.** Петрология Горабского массива. Автореферат канд. диссертации. "Мецниереба", Тбилиси, 1973.

**Федорчук В.П.** О тектоно-металлогенической позиции ртутно-сурьмяных поясов и зон. В сб.: "Тектоника, магматизм и закономерности размещения рудных месторождений", т. 1, Изд-во АН СССР, 1962.

**торождений". "Наука", М., 1984.**

**Федорчук В.П. Околорудные изменения ртутно-сурьмяных месторождений. "Недра", М., 1969.**

**Хали В.Е., Афанасьев С.Л., Бурлин Ю.К., Гофман Е.А.  
Ломизе М.Г., Рихтер В.Г. Новые данные  
по геологии Северо-Западного Кавказа. Тр. Кав-  
казск. экспедиции ВАГТ и МГУ, т. 2, Ставрополь,  
1960.**

**Харашвили Г.И. Минералогия Заалазанского рудного поля  
(Северн. Кахетия, ГССР). Автореферат канд. дис-  
сертации, Тбилиси, 1949.**

**Церивадзе З.Я. Условия формирования и геохимические поис-  
ковые признаки ртутных, мышьяковых и сурьмяных  
месторождений. (Геохимич. исследования на при-  
мере Кавказа). "Недра", М., 1972.**

**Чичинадзе К.М. Металлогения Горной Рачи и Сванетии в  
связи с геологическим строением области. Изд-во  
АН СССР, М.-Л., 1945.**

**Чхотуа Г.Р. Интрузивы Абхазии. В кн.: "Интрузивы Закавка-  
зья". Труды Груз. Гос. геол. управления, вып. П,  
1941.**

**Чхотуа Т.Г., Думбадзе Г.Д., Адамия Ш.А. Метаморфиты  
северо-западной части Главного хребта Большого  
Кавказа (Абхазия). Тезисы докл. II конф. по ге-  
ол. и полезн. ископ. Северного Кавказа, Ессенту-  
ки, 1968.**

**Шония Н.Ф. О возрасте баритового оруденения Западной Гру-  
зии. Сб. трудов ГИН АН ГССР, 1959.**

**ОГЛАВЛЕНИЕ**

**В.Р. НАДИРДЗЕ, Б.А. АЛИБЕГАШВИЛИ,  
Х.А. ТЕДИАШВИЛИ - Условия формирования и  
закономерности размещения рудных месторождений  
Юго-Осетии (Грузинская ССР)**

**5**

<b>ВВЕДЕНИЕ . . . . .</b>	<b>5</b>
<b>ГЕОЛОГИЧЕСКОЕ СТРОЕНИЕ . . . . .</b>	<b>6</b>
Стратиграфия . . . . .	6
Магматические образования . . . . .	13
Тектоника . . . . .	17
История геологического развития . . . . .	22
<b>РУДНЫЕ ФОРМАЦИИ . . . . .</b>	<b>27</b>
Медно-пирротиновая формация . . . . .	27
Свинцово-цинковая низкотемпературная формация . . . . .	32
Барит-полиметаллическая формация . . . . .	52
Барит-кальцитовая формация . . . . .	56
Железо-марганцевая низкотемпературная формация . . . . .	58
Кварцево-ртутно-мышьяковая формация . . . . .	59
Тальк-серпентинитовая формация . . . . .	65
<b>РУДОСЛАГАЮЩИЕ МИНЕРАЛЫ . . . . .</b>	<b>66</b>
<b>УСЛОВИЯ ФОРМИРОВАНИЯ И ЗАКОНОМЕРНОСТИ РА- ПРЕДЕЛЕНИЯ ОРУДЕНЕНИЯ . . . . .</b>	<b>73</b>
<b>ЛИТЕРАТУРА . . . . .</b>	<b>82</b>
<b>З.В. ОТХМЕЗУРИ - Эндогенные рудные формации Абхазии</b>	<b>86</b>
<b>ОСНОВНЫЕ ЧЕРТЫ ГЕОЛОГИЧЕСКОГО СТРОЕНИЯ . . . . .</b>	<b>87</b>
Стратиграфия . . . . .	89
Магматизм . . . . .	91
Тектоника . . . . .	93
История геологического развития . . . . .	97
<b>РУДНЫЕ ФОРМАЦИИ . . . . .</b>	<b>99</b>
Серноколчеданная формация . . . . .	99
Медно-пирротиновая формация . . . . .	102
Свинцово-цинковая жильная формация . . . . .	115
Свинцово-цинковая стратиморфная формация . . . . .	119
Баритовая формация . . . . .	121
Ртутная формация . . . . .	124
<b>УСЛОВИЯ ФОРМИРОВАНИЯ И ЗАКОНОМЕРНОСТИ РАЗМЕ- ЩЕНИЯ ЭНДОГЕННЫХ РУДНЫХ ФОРМАЦИЙ . . . . .</b>	<b>137</b>
<b>ЗАКЛЮЧЕНИЕ . . . . .</b>	<b>148</b>
<b>ЛИТЕРАТУРА . . . . .</b>	<b>150</b>